

П-161
89

MЕТАБОЛИЗМ
РАДИОИЗОТОПОВ
В ЖИВОТНОМ
ОРГАНИЧЕСКИМ

СВЕРДЛОВСК • 1974

АКАДЕМИЯ НАУК СССР · УРАЛЬСКИЙ НАУЧНЫЙ ЦЕНТР

ВЫП. 89. ТРУДЫ ИНСТИТУТА ЭКОЛОГИИ
РАСТЕНИЙ И ЖИВОТНЫХ

МЕТАБОЛИЗМ
РАДИОИЗОТОПОВ
В ЖИВОТНОМ
ОРГАНИЗМЕ

СВЕРДЛОВСК, 1974



УДК 612.015.3:621.85:591.471.3

Метаболизм радиоизотопов в животном организме. Сб. статей.
Свердловск, 1974 (УНЦ АН СССР).

В статьях сборника представлены оригинальные сведения о депонировании радиоактивных металлов в органах, тканях и тканевых компонентах, полученные как в опытах на животных, так и на переживающих органах. Рассмотрены особенности обмена стронция, кальция и других металлов в скелете крыс; обсуждается возможное физико-химическое состояние радиоактивных изотопов в сыворотке крови и моче животных. Рассматривается влияние дозы комплексона и времени введения на его эффективность. Методами математического моделирования проведена оценка максимальной эффективности применяемых хелатов. Обсуждается также возможное влияние на скорость выведения комплексонов ионов железа, цинка и марганца.

Несколько работ посвящено вопросам применения методов пенообразования к изучению физико-химического состояния металлов в жидких средах организма, определения функционального состояния переживающей почки, применения методов случайного поиска для определения параметров математической модели метаболизма радиоизотопов.

Сборник рассчитан на биохимиков, радиобиологов, биофизиков, токсикологов, фармакологов, физиологов.

Ответственные редакторы П. Ф. Солдатенков, В. С. Безель.

© УНЦ АН СССР, 1974

П 80396



1974

АКАДЕМИЯ НАУК СССР · УРАЛЬСКИЙ НАУЧНЫЙ ЦЕНТР
МЕТАБОЛИЗМ РАДИОИЗОТОПОВ В ЖИВОТНОМ ОРГАНИЗМЕ

Н. М. ЛЮВАШЕВСКИЙ, Г. А. МЕНЬШИКОВА, В. Ф. УТКИНА

СООТНОШЕНИЕ СОСТАВНЫХ ЧАСТЕЙ СКЕЛЕТА КРЫС И РАСПРЕДЕЛЕНИЕ В НИХ СТРОНЦИЯ-85 И ИТРИЯ-91

Изучение распределения излучателей в костной ткани необходимо для разработки методов защиты от радиоактивных осколков деления и выведения их из организма, практического определения баланса радиоизотопов в эксперименте, оценки функционального состояния скелета в клинической практике. Имеются литературные данные о динамике веса костей скелета и удельном вкладе их в сорбцию отдельных радионуклидов [1—3], о количестве костного мозга у разных животных [4]. В отдельных работах [5—9] обращается внимание на концентрацию излучателей в кости, в костном мозге и хряще. Однако сведений о распределении остеотропных радиоизлучателей в названных тканях скелета животных и человека нет. В связи с этим были поставлены следующие задачи:

1. Определить весовые соотношения костей и скелетных тканей (костной, хрящевой и костно-мозговой).
2. Изучить количественное распределение стронция-85, иттрия-91 в костях и тканях скелета и сравнить его с распределением кальция-45, иттрия-91 в присутствии изотопного носителя, цезия-137 и фосфора-32.

Материал и методика

Опыты проводились на крысах-самцах четырехмесячного возраста линии «Вистар» стадного разведения со средним весом 254 ± 7 г. Была принята следующая схема опыта. Выделяли скелет, очищали его от мягких тканей и определяли вес различных костей, количество костной ткани, костного мозга в скелете и хрящевой ткани, а также распределение радиоактивных элементов в костях и тканях скелета.

Очищали скелет механически. Тушки крыс автоклавировали, чтобы облегчить отделение скелета от мягких тканей. Режим автоклавирования, достаточный для отделения мягких тканей, не приводил к заметному размягчению хрящевой и костной тканей или изменению их веса и не влиял на содержание излучателя в них. Таким режимом оказалась обработка в автоклаве при давлении в 2 атм в течение 10 мин. Выделяли кости скелета, брали костный мозг из диафиза бедренной и большеберцовой кости, хрящ рукоятки грудины и реберный. Все кости взвешивали и озоляли при $400-500^\circ\text{C}$. Готовили навески по 50 мг. Счет проводили на установках ПСТ-100 «Волна». Вели пересчет на каждый костный орган, на костную, мозговую и хрящевую ткани организма. Количество костной ткани в составе скелета определяли по разнице в степени озоления собственно кости, хряща и костного мозга.

Изменения соотношений частей скелета до и после озоления могут быть записаны системой уравнений

$$SK = K + MT,$$

$$SK' = K' + MT',$$

где SK и SK' — вес скелета до и после озоления, K и K' — вес костной ткани до и после озоления, MT и MT' — вес мягких тканей (костный мозг и хрящ) до и после озоления.

Учитывая, что $K = \lambda_k \cdot K'$, $MT = \lambda_{mt} \cdot M'$, где λ_k и λ_{mt} — коэффициент озоления костей и мягких тканей соответственно, получаем

$$K = \frac{\lambda_k (SK' - SK)}{\lambda_{mt} - \lambda_k}. \quad (3)$$

Для определения коэффициентов озоления костной и мягкой тканей пробы кортикальной кости бедра и плавки мышц озоляли в тех же условиях, что и скелет.

Количество костного мозга определяли с помощью радиометки. Для этого использовали меченный по радиоактивному железу гемоглобин или раствор радиоактивного железа. Гемоглобин отлагается преимущественно в органах, богатых ретикулоэндотелием [10, 11], в том числе в костном мозгу, железо — в костном мозгу и печени [12]. Радиоактивный гемоглобин получали, вводя по 200 мкюри железа-59 на крысу. Через двое суток животных забивали, эритроциты повторно деканттировали в физиологическом растворе, супернатант отсасывали и гемолизировали эритроциты последовательным добавлением небольших порций дистиллированной воды. Полученный гемолизат служил рабочим препаратом гемоглобина — железа-59. Растворы радиогемоглобина и радиожелеза вводили внутривенно в v.dorsalis penis. Крыс забивали через 3 ч после введения. Пробы костного мозга, кортикальной кости и хряща анализировали на радиожелезо. По весу всей костной ткани и удельной активности кости оценивали накопление радиожелеза костной тканью скелета.

Для предварительных расчетов радиоактивность костного мозга получали как разность между активностью всего скелета и костной ткани. Используя удельную активность костного мозга, определяли его вес. Вес хряща высчитывали по разнице между весом скелета и весом кости и костного мозга, затем эти предварительные данные использовали для уточнения расчетов следующим образом. Численное значение активности хряща в целом скелете суммировалось с активностью костной ткани. Разность между активностью всего скелета и этой суммой давала активность костного мозга. Затем получали вес костного мозга и хряща. По этой же методике определяли вес хряща, собственно кости и костного мозга в бедре, большеберцовой кости и позвоночнике.

Для оценки распределения радиоактивных элементов в костях и тканях скелета вводили внутривенно рабочий раствор радионизотопов по 4 мкюри на крысу в объеме 0,25 мл. В каждой группе — по 5—9 крыс. Часть животных забивали через 30 мин после введения излучателя, а другие содержались в обменных клетках 48 ч, после чего их забивали. Радиоактивность проб кортикальной ткани бедра и большеберцовой кости, проб костного мозга из диафизов этих костей и хряща из ребер и рукавки грудины считали репрезентативными для всего скелета. Данные по процентному содержанию костного мозга взяты из предыдущей серии опытов. Вес костной ткани определяли у каждого животного, вес хряща — из разницы между весом всего скелета и весом костного мозга и костной ткани. Накопление излучателей выражали в процентах от введенного количества в кости и ткани, а также в процентах на 1 г сырого веса. Полученные данные подвергались статистической обработке.

Таблица 1
Вес костей и костной ткани в скелете крысы

| Наименование кости | Кости | | | Костная ткань | | |
|---|---------------|-------------------|----------------|---------------|-------------------|----------------|
| | в | % от веса скелета | % от веса тела | в | % от веса скелета | % от веса тела |
| Бедренная | 0,611 ± 0,024 | 4,46 | 0,24 | 0,447 ± 0,011 | 3,26 | 0,17 |
| Большая берцовая + малая берцовая | 0,493 ± 0,024 | 3,60 | 0,19 | 0,36 ± 0,012 | 2,63 | 0,14 |
| Кости стопы | 0,679 ± 0,021 | 4,97 | 0,27 | 0,546 ± 0,032 | 3,99 | 0,22 |
| Плечевая | 0,544 ± 0,020 | 3,98 | 0,21 | 0,405 ± 0,007 | 2,96 | 0,16 |
| Лучевая + локтевая | 0,328 ± 0,009 | 2,40 | 0,13 | 0,297 ± 0,003 | 2,17 | 0,12 |
| Кости кисти | 0,161 ± 0,032 | 1,18 | 0,06 | 0,136 ± 0,008 | 0,99 | 0,05 |
| Позвоночник | 3,125 ± 0,133 | 22,80 | 1,26 | 1,692 ± 0,078 | 12,34 | 0,67 |
| Хвост | 1,684 ± 0,079 | 12,27 | 0,66 | 1,020 ± 0,051 | 7,44 | 0,40 |
| Грудина | 0,179 ± 0,033 | 1,30 | 0,07 | 0,077 ± 0,007 | 0,56 | 0,03 |
| Ребра | 0,579 ± 0,016 | 4,23 | 0,23 | 0,466 ± 0,022 | 3,40 | 0,18 |
| Череп | 1,803 ± 0,074 | 13,10 | 0,71 | 1,277 ± 0,053 | 9,32 | 0,50 |
| Нижняя челюсть | 0,513 ± 0,019 | 3,75 | 0,20 | 0,469 ± 0,013 | 3,42 | 0,19 |
| Лопатки | 0,292 ± 0,014 | 2,13 | 0,12 | 0,225 ± 0,015 | 1,64 | 0,09 |
| Тазовые | 0,918 ± 0,031 | 6,70 | 0,36 | 0,637 ± 0,034 | 4,64 | 0,25 |
| Резцы | 0,385 ± 0,016 | 2,81 | 0,15 | 0,375 ± 0,020 | 2,74 | 0,15 |
| Коренные зубы | 0,148 ± 0,002 | 1,08 | 0,06 | 0,153 ± 0,008 | 1,12 | 0,06 |

Результаты и обсуждение

В табл. 1 представлен вес отдельных костей скелета и количество костной ткани в них. У крыс со средним весом 253,7 г и весом скелета 13,7 г (5,41% от веса тела) позвоночник составляет 22,8% общего веса скелета, хвост — 12,27%, череп — 11,3%. Наибольшее количество костной ткани в позвоночнике — 12,34% от общего веса скелета, в черепе — 9,32% и в хвосте — 7,44%. Другие кости значительно меньше по размерам и содержат в себе меньше костной ткани.

В табл. 2 приведены данные по количеству костного мозга в скелете крыс со средним весом 232 г. Вес костного мозга, определенный при помощи меченого гемоглобина и радиоактивного железа, статистически не различается. Количество костного мозга колеблется от 0,8 до 1,95% от веса тела и 16,1—37,5% от веса скелета. Соотношение других тканей скелета крыс представлено в табл. 3

В табл. 4 приведены данные по распределению иттрия-91 и стронция-85 в отдельных костях скелета и в пробах тканей.

Таблица 2
Костный мозг в скелете крысы

| Радиоактивный агент | Вес крыс, г | Вес скелета, г | Костный мозг | | |
|----------------------------------|-------------|----------------|--------------|----------------|-------------------|
| | | | в | % от веса тела | % от веса скелета |
| Fe ⁵⁹ — гемоглобин | 205 | 10,01 | 2,28 | 1,20 | 22,8 |
| Fe ⁵⁹ — гемоглобин | 180 | 10,33 | 1,70 | 0,98 | 17,1 |
| Fe ⁵⁹ — гемоглобин | 254 | 13,87 | 4,96 | 1,95 | 35,7 |
| Fe ⁵⁹ — гемоглобин | 228 | 11,39 | 1,83 | 0,81 | 16,1 |
| Fe ⁵⁹ Cl ₄ | 280 | 15,10 | 3,16 | 1,13 | 20,90 |
| Fe ⁵⁹ Cl ₄ | 236 | 12,82 | 4,12 | 1,75 | 32,10 |
| Fe ⁵⁹ Cl ₄ | 241 | 12,18 | 3,47 | 1,44 | 28,40 |
| В среднем | 232 ± 12,28 | 12,24 ± 0,70 | 3,08 ± 0,46 | 1,32 ± 0,16 | 24,73 ± 2,84 |

Таблица 3
Соотношение тканей скелета крыс

| Вес хряща, г | Вес скелета, г | Костный мозг | | | | Хрящ | | | |
|--------------------------|----------------------------|------------------|-----------------|------------------|------------|------------------|------------------|------------------|------------------|
| | | % к весу скелета | g | % к весу тела | g | % к весу скелета | g | % к весу скелета | g |
| 279,3 | 16,79 | 3,70 | 22,01 | 1,32 | 11,29 | 67,24 | 4,05 | 1,81 | 10,75 |
| 273,8 | 13,87 | 3,62 | 26,10 | 1,32 | 9,27 | 66,82 | 3,38 | 0,98 | 7,08 |
| 195,3 | 12,12 | 2,55 | 21,31 | 1,32 | 8,34 | 68,79 | 4,27 | 1,20 | 9,90 |
| 186,0 | 11,23 | 2,47 | 21,90 | 1,32 | 8,07 | 71,83 | 4,33 | 0,70 | 6,27 |
| 204,3 | 13,45 | 2,70 | 20,10 | 1,32 | 9,87 | 73,39 | 4,82 | 0,87 | 6,51 |
| 235,6 | 14,92 | 3,12 | 20,89 | 1,32 | 9,67 | 64,83 | 4,10 | 2,13 | 14,28 |
| 241,2 | 13,72 | 3,19 | 23,25 | 1,32 | 9,26 | 67,48 | 3,84 | 1,27 | 9,27 |
| 230,4 | 13,62 | 3,05 | 22,37 | 1,32 | 9,02 | 66,19 | 3,92 | 1,56 | 11,44 |
| 223,0 | 11,09 | 2,95 | 26,58 | 1,32 | 6,77 | 60,98 | 3,03 | 1,38 | 12,43 |
| 232,0 | 12,61 | 3,07 | 24,30 | 1,32 | 8,18 | 61,91 | 3,33 | 1,36 | 10,79 |
| 216,0 | 11,31 | 2,85 | 25,20 | 1,32 | 7,11 | 62,86 | 3,29 | 1,35 | 11,94 |
| 241,0 | 13,85 | 3,49 | 22,95 | 1,32 | 8,72 | 62,95 | 3,62 | 1,65 | 14,10 |
| $230,0 \pm 7,60$ | | $13,22 \pm 0,48$ | $3,06 \pm 0,11$ | $23,08 \pm 0,60$ | $1,32$ | $8,80 \pm 0,35$ | $66,52 \pm 1,06$ | $3,85 \pm 0,14$ | $1,35 \pm 0,11$ |
| | | | | | | | | | $10,39 \pm 0,96$ |
| | | | | | | | | | $0,58 \pm 0,05$ |

Через 30 мин после введения больше всего стронция-85 накапливается в позвоночнике ($11,55 \pm 0,21\%$), в черепе — в 2 раза меньше, еще меньше в остальных органах. Через 48 ч такое отложение радионуклида в основном сохраняется.

Наиболее значительная концентрация радиоизотопа наблюдается через 30 мин в хрящевой ткани — $6,83 \pm 0,83\%$ на 1 г сырого веса, затем в ребрах и грудине ($5,63 \pm 0,41$ и $5,31 \pm 0,32\%$, соответственно). Наименьшая концентрация стронция-85 в костном мозгу ($1,05 \pm 0,31\%$), коренных зубах ($1,21 \pm 0,15\%$), резцах ($1,81 \pm 0,18\%$).

Через 48 ч количество радионуклида в хряще снижается в два раза ($3,34 \pm 0,54\%$). Содержание в костном мозгу уменьшается более чем в 10 раз, возрастает концентрация в резцах, лопатках. В ребрах, грудине и в концах костей сохраняется высокая концентрация. В среднем изменения концентрации радиоизотопа в костях не могут быть названы значительными.

Концентрация иттрия-91 (см. табл. 4) также различается значительно. Наиболее высокая концентрация через 30 мин после введения — в эпифизарно-метафизарных концах трубчатых костей, ребрах, лопатках (от $4,44 \pm 0,65\%$ до $3,09 \pm 0,66\%$); низкая — в костном мозгу и коренных зубах. Через 48 ч высокая концентрация в резцах, ребрах, позвоночни-

Таблица 4
Накопление и распределение иттрия-91 и стронция-85 в отдельных костях скелета

| Наименование кости | на орган | | | | % от введенного количества | | | | Sr 85 | |
|---|--------------|--------------|--------------|--------------|----------------------------|-------------|-------------|-------------|-------|--|
| | Yt 91 | | | | Yt 91 | | | | | |
| | 30 мин | 48 ч | 30 мин | 48 ч | 30 мин | 48 ч | 30 мин | 48 ч | | |
| Бедренная большая берцовая и малая берцовая | 1,20 ± 0,06 | 2,82 ± 0,05 | 2,16 ± 0,13 | 2,84 ± 0,17 | 2,31 ± 0,23 | 4,65 ± 0,60 | 3,31 ± 0,19 | 4,56 ± 0,28 | | |
| Кости стопы | 1,10 ± 0,05 | 2,22 ± 0,06 | 1,58 ± 0,05 | 2,21 ± 0,05 | 2,68 ± 0,71 | 4,80 ± 0,30 | 3,27 ± 0,16 | 3,76 ± 0,69 | | |
| Плечевая + локтевая | 1,77 ± 0,02 | 1,46 ± 0,06 | 1,33 ± 0,13 | 1,02 ± 0,09 | 2,52 ± 0,09 | 2,34 ± 0,08 | 1,87 ± 0,14 | 1,34 ± 0,14 | | |
| Кости кисти | 0,61 ± 0,01 | 2,57 ± 0,06 | 1,82 ± 0,15 | 2,58 ± 0,17 | 2,52 ± 0,42 | 4,70 ± 0,21 | 3,75 ± 0,24 | 4,74 ± 0,39 | | |
| Позвоночник | 0,30 ± 0,02 | 1,23 ± 0,02 | 1,13 ± 0,12 | 1,38 ± 0,11 | 2,10 ± 0,61 | 3,80 ± 0,28 | 3,45 ± 0,14 | 3,50 ± 0,44 | | |
| Хвост | 6,40 ± 0,32 | 12,96 ± 0,53 | 11,60 ± 0,21 | 15,80 ± 0,97 | 2,34 ± 0,53 | 4,78 ± 0,18 | 3,85 ± 0,44 | 3,97 ± 0,37 | | |
| Грудина | 2,45 ± 0,22 | 6,62 ± 0,70 | 3,19 ± 0,51 | 3,42 ± 0,15 | 1,67 ± 0,17 | 3,29 ± 0,18 | 2,40 ± 0,52 | 2,11 ± 0,23 | | |
| Ребра | 0,44 ± 0,03 | 0,90 ± 0,02 | 0,79 ± 0,05 | 0,85 ± 0,04 | 2,63 ± 0,61 | 4,42 ± 0,22 | 3,31 ± 0,32 | 5,57 ± 0,62 | | |
| Череп | 1,55 ± 0,07 | 2,96 ± 0,10 | 3,61 ± 0,27 | 3,20 ± 0,16 | 3,39 ± 0,13 | 4,87 ± 0,21 | 5,63 ± 0,41 | 5,44 ± 0,42 | | |
| Нижняя челюсть | 2,93 ± 0,15 | 6,23 ± 0,15 | 5,70 ± 0,10 | 6,65 ± 0,58 | 1,69 ± 0,27 | 3,41 ± 0,22 | 2,85 ± 0,36 | 3,38 ± 0,40 | | |
| Лопатки | 1,01 ± 0,01 | 2,01 ± 0,06 | 2,27 ± 0,16 | 2,33 ± 0,19 | 2,31 ± 0,13 | 3,92 ± 0,21 | 4,05 ± 0,37 | 4,11 ± 0,50 | | |
| Газовые | 0,79 ± 0,07 | 1,50 ± 0,04 | 1,42 ± 0,15 | 1,98 ± 0,18 | 3,09 ± 0,66 | 4,39 ± 0,26 | 4,74 ± 0,79 | 6,59 ± 1,10 | | |
| Резцы | 1,85 ± 0,02 | 4,03 ± 0,07 | 3,18 ± 0,27 | 4,13 ± 0,21 | 2,44 ± 0,34 | 4,47 ± 0,23 | 3,32 ± 0,31 | 4,02 ± 0,44 | | |
| Коренные зубы | 0,65 ± 0,02 | 2,24 ± 0,12 | 0,68 ± 0,10 | 2,60 ± 0,36 | 1,87 ± 0,32 | 5,42 ± 0,35 | 7,02 ± 0,81 | | | |
| Хрящ | 0,11 ± 0,002 | 0,33 ± 0,03 | 0,13 ± 0,06 | 0,21 ± 0,01 | 0,70 ± 0,01 | 2,16 ± 0,19 | 1,21 ± 0,15 | 1,46 ± 0,14 | | |
| Костный мозг | — | — | — | — | 1,82 ± 0,54 | 0,86 ± 0,06 | 6,83 ± 0,83 | 3,34 ± 0,54 | | |
| Кости костей бедра | — | — | — | — | 0,31 ± 0,19 | 1,23 ± 0,26 | 1,05 ± 0,31 | 0,08 ± 0,02 | | |
| Кортикальная кость большей и малой берцовой | — | — | — | — | — | — | 4,15 ± 0,28 | 5,25 ± 0,71 | | |
| Кости большая кость большей и малой берцовой берцовой | — | — | — | — | — | — | 2,49 ± 0,11 | 3,46 ± 0,46 | | |
| Берцовой | — | — | — | — | — | — | 4,30 ± 0,15 | 5,94 ± 0,65 | | |
| | | | | | 1,64 ± 0,27 | — | 2,78 ± 0,28 | 3,09 ± 0,42 | | |

Таблица 4 (окончание)

| Наименование кости | на органы | | | | | | Sr ⁸⁵ |
|---|-------------|-------------|-------------|-------------|-------------|-------------|------------------|
| | 30 мин | 48 ч | 30 мин | 48 ч | 30 мин | 48 ч | |
| Бедренная берцовая и малая берцовая | 4,64 ± 0,18 | 5,08 ± 0,04 | 3,97 ± 0,32 | 4,80 ± 0,82 | 8,94 ± 0,37 | 8,34 ± 0,39 | 7,18 ± 0,56 |
| Кости стопы | 4,27 ± 0,22 | 3,99 ± 0,11 | 3,47 ± 0,17 | 3,99 ± 0,14 | 10,4 ± 1,02 | 8,62 ± 0,53 | 6,91 ± 0,45 |
| Плечевая + локтевая | 2,97 ± 0,12 | 2,32 ± 0,10 | 2,90 ± 0,21 | 1,81 ± 0,13 | 4,84 ± 0,22 | 4,20 ± 0,18 | 4,06 ± 0,34 |
| Кости кисти | 4,80 ± 0,16 | 4,60 ± 0,10 | 4,38 ± 0,27 | 4,60 ± 0,10 | 9,60 ± 0,42 | 8,41 ± 0,42 | 8,15 ± 0,40 |
| Хвост | 2,35 ± 0,14 | 2,22 ± 0,06 | 2,47 ± 0,21 | 2,43 ± 0,15 | 8,11 ± 0,74 | 6,83 ± 0,38 | 7,52 ± 0,19 |
| Позвоночник | 1,15 ± 0,06 | 7,43 ± 0,07 | 1,20 ± 0,13 | 0,48 ± 0,05 | 6,15 ± 0,40 | 4,88 ± 0,19 | 7,19 ± 0,83 |
| Грудина | 2,51 ± 0,12 | 23,3 ± 0,88 | 25,3 ± 0,22 | 28,1 ± 0,78 | 0,92 ± 0,07 | 8,61 ± 0,32 | 7,54 ± 0,38 |
| Ребра | 0,95 ± 0,08 | 11,8 ± 1,95 | 6,92 ± 0,90 | 6,12 ± 0,85 | 6,63 ± 0,03 | 5,91 ± 0,31 | 5,41 ± 0,88 |
| Череп | 1,69 ± 0,08 | 1,62 ± 0,05 | 1,73 ± 0,05 | 1,50 ± 0,06 | 10,1 ± 0,53 | 7,93 ± 0,44 | 11,2 ± 0,84 |
| Нижняя челюсть | 5,98 ± 0,19 | 5,32 ± 0,16 | 7,86 ± 0,39 | 5,68 ± 0,27 | 13,1 ± 0,54 | 8,76 ± 0,38 | 12,4 ± 0,56 |
| Лопатки | 1,13 ± 0,06 | 11,2 ± 0,29 | 11,4 ± 0,73 | 11,7 ± 0,77 | 0,66 ± 0,05 | 6,12 ± 0,39 | 6,88 ± 0,43 |
| Газовые | 3,92 ± 0,19 | 3,61 ± 0,12 | 4,99 ± 0,45 | 4,10 ± 0,19 | 9,00 ± 0,71 | 7,03 ± 0,37 | 8,88 ± 0,88 |
| Резцы | 3,04 ± 0,21 | 2,70 ± 0,08 | 3,39 ± 0,33 | 3,48 ± 0,20 | 11,9 ± 0,46 | 9,20 ± 0,64 | 10,5 ± 1,44 |
| Коренные зубы | 7,12 ± 0,31 | 7,26 ± 0,21 | 6,95 ± 0,47 | 7,29 ± 0,12 | 9,45 ± 0,20 | 8,04 ± 0,40 | 7,10 ± 0,36 |
| Хрящ | 2,52 ± 0,15 | 4,03 ± 0,23 | 1,48 ± 0,51 | 4,62 ± 0,58 | 7,20 ± 0,30 | 9,72 ± 0,64 | 7,95 ± 0,31 |
| Костный мозг | 0,42 ± 0,03 | 0,62 ± 0,06 | 0,35 ± 0,06 | 0,36 ± 0,18 | — | — | 2,61 ± 0,21 |
| Концы костей бедра | — | — | — | — | — | — | 2,56 ± 0,15 |
| Кортикальная кость бедра | — | — | — | — | — | — | 5,89 ± 0,71 |
| Концы большей и малой берцовой | — | — | — | — | — | — | 3,84 ± 0,64 |
| Кортикальная кость большой и малой берцовой | — | — | — | — | — | — | 9,87 ± 0,96 |
| | | | | | 11,9 ± 0,71 | 1,26 ± 0,26 | 8,91 ± 0,19 |
| | | | | | 12,7 ± 0,56 | — | 6,42 ± 0,49 |
| | | | | | 7,82 ± 0,61 | 3,90 ± 0,34 | 5,38 ± 0,16 |
| | | | | | 17,3 ± 1,16 | 0,89 ± 0,05 | 9,39 ± 0,41 |
| | | | | | 6,33 ± 0,41 | — | 11,0 ± 1,02 |
| | | | | | — | 6,03 ± 0,46 | 5,84 ± 0,60 |

Таблица 5

Распределение стронция-85, кальция-45, иттрия-91 невесомого и с изотопным носителем, фосфора-32, цезия-137 в тканях скелета, % от накопленного в скелете

| Радионизотоп | Костная ткань | | Костный мозг | | Хрящевая ткань | |
|-----------------------|---------------|------------|--------------|--------------|----------------|------------|
| | 30 мин | 48 ч | 30 мин | 48 ч | 30 мин | 48 ч |
| Стронций-85 | 75,0 ± 2,1 | 78,0 ± 2,2 | 5,4 ± 0,9 | 13,1 ± 2,3 | 21,6 ± 2,4 | 8,9 ± 0,9 |
| Кальций-45 | 83,9 ± 2,0 | 94,9 ± 4,6 | 3,8 ± 0,2 | 2,3 ± 0,2 | 12,3 ± 0,9 | 2,8 ± 0,8 |
| Иттрий-91 (невесомый) | 55,7 ± 7,4 | 95,4 ± 0,8 | 35,9 ± 6,2 | 3,5 ± 0,8 | 8,4 ± 1,7 | 1,2 ± 0,1 |
| Иттрий-91 (весомый) | 24,6 ± 3,3 | 39,9 ± 2,8 | 8,67,5 ± 2,3 | 3,57,0 ± 2,1 | 7,9 ± 0,8 | 3,1 ± 0,2 |
| Фосфор-32 | 54,4 ± 7,1 | 49,4 ± 3,8 | 33,2 ± 1,0 | 40,5 ± 0,9 | 12,4 ± 1,1 | 10,1 ± 0,8 |
| Цезий-137 | 18,2 ± 2,2 | 11,0 ± 0,9 | 66,5 ± 2,1 | 76,6 ± 2,6 | 15,3 ± 1,6 | 12,4 ± 1,0 |

ке, трубчатых костях; в три раза она возрастает в коренных зубах, а в хряще, наоборот, уменьшается в два раза и значительно возрастает в костном мозгу.

Таким образом, наибольшее значительное количество обоих радионизотопов накапливается в позвоночнике и черепе, выделяющихся своей массой среди других скелетных органов. Наблюдается много общего в поведении остеотропных элементов, хотя есть и заметные различия. Так, стронций-85 накапливается в начальные сроки хрящом более интенсивно, чем костями, иттрий-91 в хряще накапливается умеренно. Через 48 ч содержание обоих излучателей в хряще снижается в 2 раза. Костный мозг накапливает Sr⁸⁵ в начальные сроки несколько более интенсивно, чем иттрий. Через 48 ч концентрация иттрия в костном мозгу заметно повышается, а стронция — значительно снижается. В коренных зубах концентрация иттрия к 48 ч возрастает в большей степени, чем концентрация стронция. В резцах концентрация обоих изотопов существенно повышается, что может быть связано с постоянным ростом их у грызунов. Через 30 мин в среднем по костям наблюдается несколько более высокая концентрация стронция, чем радиоиттрия. Через 48 ч их концентрации уравниваются.

В табл. 5 представлено распределение остеотропных катионов стронция-85, кальция-45, иттрия-91 (невесомого), троциного к ретикулоэндотелиальной системе коллоидного иттрия-91 с изотопным носителем в количестве 5 мкмоль, катиона цезия-137, локализующегося интрапеллюлярно, и аниона фосфора-32 в тканях скелета. Показано, что через 30 мин после введения изотопов проявляются характерные черты их распределения в тканях скелета. В костной ткани кумулируется больше всего радиокальция, меньше — стронция, фосфора, иттрия (невесомого), еще меньше — иттрия с изотопным носителем и цезия. Через 48 ч резко увеличивается накопление в костной ткани невесомого иттрия, заметно повышается содержание стронция, кальция, иттрия с изотопным носителем и снижается относительное содержание фосфора и цезия.

Такое перераспределение можно связать с происходящим в этот промежуток времени вымыванием Sr, Ca и V из мягких тканей, в том числе из костного мозга и хряща, и фиксацией его в кости. Особенно резко выражено это перемещение у иттрия-91 невесомого. Перемещение фосфора незначительно. Цезий сосредотачивается главным образом в костном мозге, и концентрация его в этой ткани скелета даже увеличивается. В хрящевой ткани через 48 ч наблюдается относительное снижение количества всех изученных изотопов.

Заключение

При разработке методики для определения тканевого состава были сделаны допущения, которые могут стать источником незначительной ошибки и поэтому должны быть обсуждены.

1. Считали, что кортикальная кость озоляется так же, как и другие участки костной ткани, и на этом основании коэффициент озоления выводился из данных, полученных по пробе компактной кости бедра. Известно [13], что содержание [12] золы в компакте несколько выше, чем в губчатой ткани (разница в несколько процентов). Коэффициент озоления мягких тканей скелета, к которым причислены как хрящ, так и костный мозг, определялся по озолению мышц. Экспериментально установлено, что коэффициент озоления хряща составляет 20% от коэффициента озоления мягких тканей и различных участков костного мозга. Тем не менее, поскольку коэффициент озоления мягких тканей составляет 2300% коэффициента озоления кости, разница в коэффициентах озоления мягких тканей и различных участков костной ткани внутри групп может считаться несущественной по сравнению с различиями между группами.

2. Пробы костного мозга и хряща достаточно репрезентативно представляют накопление радионизотопов во всем скелете. Показано, что пробы костного мозга, взятые из днафизов трубчатых костей передних и задних конечностей, по накоплению Cs^{137} или Ca^{45} не отличаются, что может служить основанием для экстраполяции значений радиоактивности, полученных для костного мозга бедра, на весь костный мозг организма. Распределение в разных участках хрящевой ткани не изучали из-за технических затруднений в количественном определении излучателей в эпифизарных и суставных хрящах у крыс. Относительно костной ткани известно, что концентрация радионизотопов в зонах роста может превышать таковую в компактных костях в десятки раз и, следовательно, полученные на основании таких расчетов данные занижены. При сравнительном расчете активности бедра, проведенном указанным методом и путем анализа всего бедра, ошибка не превышала 30%, что дает возможность оценить удельный вклад зон повышенного обмена в общее аккумулирование радионизотопов костью.

3. По нашим данным, единица веса костного мозга, кости и хряща при введении гемоглобин- Fe^{59} накапливает соответственно 100; 0,08; 0,04%, а при введении $Fe^{59}Cl_3$ 100; 0,08; 0%, т. е. можно использовать оба вещества.

Возможен, по-видимому, подбор других, более специфических метяющих различные ткани скелета агентов. Цезий-137 отвергнут нами, так как он накапливается в мягких тканях и костном мозгу в близких концентрациях, поэтому его применение может дать представление лишь о суммарном их содержании. Измерение количества костного мозга методом микроскопического счета отмытых клеточных элементов более трудоемко.

В данной работе подтверждено принятие в радиобиологической литературе [2, 14, 15] и обоснованное в работе [1] мнение, что вес бедра составляет 20-ю часть веса скелета и накопление в нем радионизотопа репрезентативно для всего скелета.

Нами показано, что весовой коэффициент бедра составляет 22,4, коэффициент пересчета для Sr^{85} через 30 мин — 21,4, через 48 ч — 19,6; для Y^{91} через 30 мин — 21,3, через 48 ч — 19,7. Такая близость коэффициентов пересчета по весу и накоплению радиоактивных изотопов может быть объяснена из полученных нами данных по тканевому

составу бедра и всего скелета: в бедре и во всем скелете близкое соотношение костной ткани (67,6 и 66,5%), костного мозга (28,1 и 23,1%) и хряща (5,3 и 10,4%), а также сопоставимые концентрации компактной, губчатой кости и количества формирующейся молодой костной ткани, ростковых зон [15]. Поэтому, несмотря на перераспределение изотопа во времени между костными структурами, хрящом и костным мозгом, существенных изменений коэффициентов пересчета не наблюдается.

ЛИТЕРАТУРА

1. Н. Н. Donaldson. *The rat*. Philadelphia, 1924.
2. В. В. Борисова, Н. А. Запольская. Распределение и биологическое действие радиоактивных изотопов. М., Атомиздат, 1966, 152—161.
3. Л. А. Булдаков, Ю. И. Москалев. Проблемы распределения и экспериментальной оценки допустимых уровней цезия-137, стронция-90, рубидия-106. М., Атомиздат, 1968.
4. П. А. Коржуев. Эволюция, гравитация, невесомость. М., «Наука», 1971.
5. Ю. И. Москалев. Мед. радиология, 1971, 9, 81—94.
6. J. Jowsey, M. Owen and, I. Vaughan. *Brit. exp. path.*, 1953, 34, 6.
7. R. E. Rowland. *Diagnosis and treatment of radioactive poisoning*. Vienna, Intern. atomic energy agency, 1963, 57—68.
8. Д. И. Семенов, Г. Н. Балашова, Н. Д. Борисова. Обмен радионизотопов в животном организме. Труды Ин-та биологии, 1966, вып. 46, 5—12.
9. Д. И. Семенов, Н. Д. Борисова. Сравнительное распределение выдраженного неразделительного раствора осколков урана у собак, кроликов, морских свинок и крыс. Там же, 25—40.
10. Н. Н. Аничков. Учение о ретикуло-эндотелиальной системе. М.—Л., Медгиз, 1930.
11. И. А. Кассирский, Г. А. Алексеев. Клиническая гематология. М., Медгиз, 1970.
12. Г. Хевеши. Радиоактивные индикаторы. М., ИЛ, 1950.
13. G. Bouglae. *The biochemistry and physiology of bone*. N. J. Acad. press., 1956.
14. С. Комар. Радиоактивные изотопы в биологии и в сельском хозяйстве. М., ИЛ, 1967.
15. Д. И. Закутинский, Ю. Д. Парфенов, Л. Н. Селиванова. Справочник по токсикологии радиоактивных изотопов. М., «Медицина», 1962.
16. Н. М. Любашевский, Л. М. Шарыгин, В. И. Степина. Статья в наст. сборнике, стр. 12.

Н. М. ЛЮБАШЕВСКИЙ, Л. М. ШАРЫГИН, В. И. СТЕПИНА

НАТИВНЫЕ ПОВЕРХНОСТИ И СОРБЦИОННАЯ СПОСОБНОСТЬ ЗРЕЛОЙ И ФОРМИРУЮЩЕЙСЯ КОСТНОЙ ТКАНИ

Большинство радиоизотопов, поступающих в организм, прежде всего оседают на нативных поверхностях костей, омываемых кровью [1, 2]. Эти сорбирующие поверхности отличаются не только топографической близостью к кровотоку, но и определенными морфологическими и биохимическими особенностями [3—6]. Именно со стороны нативных поверхностей, выстланных слоем остеобластов и остеокластов, идет ремоделирование кости. Костная ткань здесь недоизвествленна, богата мукополисахаридами и имеет остеонидный характер.

Однако не ясно, насколько значимы эти различия для сорбционной способности кости, насколько четко отграничена нативная поверхность от глубоких слоев кости. Нет данных о площади сорбирующих поверхностей скелета позвоночных и по количественной характеристике сорбционной способности поверхностей различных его участков. Выяснение этих вопросов и составило цель работы.

Методика

1. Изучали площади нативных сорбирующих поверхностей костей. В опытах использованы белые лабораторные крысы «Вистар» стадного разведения в возрасте 10—14 месяцев весом 327 ± 9 г.

Площадь внешней поверхности кости определяли методом реплик из колloidия, который, высыпая на структурах сложного профиля, снимается в виде тонкой пленки, легко поддающейся измерению. Для оценки поверхности внутренних структур из мелких костей изготавливали шлифы, длинные трубчатые кости распиливали вдоль, для контрастирования костной ткани окрашивали их в течение 3—5 мин ализариновым красным и зарисовывали структуры под микроскопом на рисовальном аппарате РА-4 в масштабе, определенном при помощи объективомикрометра.

Для вычисления внутренней поверхности дистальной головки бедра и проксимальной головки большеберцовой кости рассматривали их как полушария с объемом $V = \frac{2}{3} \pi r^3$, где r — радиус шара. Объем шарового слоя с высотой $h=a$

$$V_1 = \frac{1}{6} \pi a^3 + \frac{1}{2} \pi (r_1^2 + r_2^2) a,$$

где a — средняя ширина трабекулы, пренебрежимо малая по сравнению с радиусом шара;
 r_1 и r_2 — радиусы шарового слоя, в данных условиях практически равны r .

Пренебрегая первым слагаемым как величиной относительно малой, получаем формулу шарового слоя:

$$V_1 = \pi r^2 a.$$

Количество таких слоев в объеме полушара равно

$$n = \frac{V}{V_1} = \frac{2r}{3a}.$$

Внутренняя поверхность костных структур головки $S = nS_1$, где S_1 — внутренняя поверхность структур шарового слоя:

$$S_1 = pa,$$

где p — периметр балок. Тогда

$$S = \frac{2}{3} pr.$$

Диафиз трубчатых костей аппроксимирован к цилинду и соответственно вычислена его внутренняя поверхность.

В губчатой кости имеются лишь единичные гаверсовы каналы, поверхность которых, по предварительным расчетам, меньше 0,1% всей поверхности трабекул и может не учитываться. В компактной кости крыс площадь гаверсовых и фолькмановских каналов составляет $790 \text{ mm}^2/\text{г}$ [7]. Суммируя полученные значения площадей, находим величину общей сорбирующей поверхности отдельных костей и всего скелета.

Изучив распределение и форму балок в дистальном эпифизе и диафизе бедра и проксимальном эпифизе и диафизе большеберцовой кости, а также в позвонке и других содержащих спонгиозную ткань участках скелета, принимаем, что форма балок и густота расположения их достаточно близки, и, следовательно, поверхность спонгиозной ткани может быть определена по весу. Плоские кости рассматривали как две параллельные пластиинки, между которыми вставлены трабекулы.

К естественным сорбирующими поверхностям относятся также стени костных канальцев и костных телец (лакун), куда метаболиты диффундируют из паракапиллярной жидкости [6, 8]. Для их оценки относительно тонкие костные шлифы (15—20 мк) известного веса зарисовывали под микроскопом, оценивали взаимное расположение и количество канальцев и лакун. Количество канальцев, прилежащих к одному костному тельцу, сосчитывали при большом увеличении. Для расчета поверхности и объема костных канальцев аппроксимировали их к цилинду, объем и поверхность лакун определяли на масштабных макромоделях, как в работе [9].

Приведенная методика дает сведения о геометрических размерах площади нативных поверхностей.

2. Параллельно определяли истинные сорбционные поверхности. Удельную поверхность образца рассчитывали по низкотемпературной адсорбции азота по методу БЭТ. Площадку, занимаемую одной молекулой азота на поверхности, принимали равной 16,2 Å.

3. Количественные данные по распределению структур в различных костях скелета использовали также для оценки соотношения губчатой и компактной костной тканей в отдельных костях и во всем скелете.

4. Для анализа сорбционных свойств костный материал обезжиривали в смеси эфир-этанола. Для определения сорбционных характе-

ристик нативных поверхностей костную ткань выделяли в виде фрагментов, периостальную и эндостальную поверхности которых тщательно предохраняли от повреждений.

Трабекулы губчатой кости крысы выделяли вместе с костным мозгом, затем с помощью дифференциального центрифугирования в 130% растворе сахара (при 2000 g) костные балки переводили в осадок, свободный от костного мозга, и промывали физиологическим раствором. Навески кости помещали в сосуд с раствором радиоактивного (pH7). Через различные сроки после начала опыта отбирали аликовые пробы по 0,1 мл.

Показателем сорбционной способности костной ткани являлся коэффициент сорбции K , показывающий поток ионов излучателей, проходящий через единицу поверхности костной ткани в единицу времени. Расчет коэффициента сорбции производился по формуле

$$K = \frac{A}{ST},$$

где A — количество кумулированной радиометки (в имп/мин, в %, в отн. ед. или в единицах специфической активности и т. д.);

T — время, мин;

S — площадь нативной поверхности, см^2 .

Однако фрагменты кортикальной кости кроме естественной поверхности имеют поверхности слома с другими сорбционными характеристиками. Расчет коэффициента K нативной поверхности может быть произведен на основании различия в сорбции изотопа крупными и мелкими пластинками с одинаковой площадью нативной поверхности и разной площадью поверхностей сломов при равном весе, что может быть записано соответствующими уравнениями, решив которые, получим:

$$K_{\text{слом}} = \frac{A_{\text{мел}} - A_{\text{кр}}}{(S_{\text{слом,мел}} - S_{\text{слом,кр}}) \cdot T},$$

$$K_{\text{нат}} = \frac{A_{\text{кр}} - S_{\text{слом,кр}} \cdot K_{\text{слом}}}{S_{\text{нат}} \cdot T},$$

где $A_{\text{мел}}$ и $A_{\text{кр}}$ — количество изотопа, сорбированного навеской из мелких и крупных пластинок; $S_{\text{слом,кр}}$, $S_{\text{слом,мел}}$, $S_{\text{нат}}$ — площадь слома крупных и мелких пластинок и площадь нативной поверхности;

$K_{\text{слом}}$ и $K_{\text{нат}}$ — коэффициент сорбции слома и нативной поверхности.

При сравнении сорбционных свойств формирующейся («молодой») трабекулярной кости, сформированных балок и компактной кортикальной кости площадь слома трабекул принималась (на основании микроскопического анализа) равной $1/30$ всей площади, коэффициент сорбции слома трабекул полагали одинаковым с $K_{\text{слом}}$ кортикальной кости. Суммарную площадь навески трабекулярной кости находили расчетным путем, исходя из средней величины балок и их количества. Величину поверхностей костных пластин определяли по площади их проекции на бумаге.

5. Формирующаяся трабекулярная ткань механически отделялась от зрелых костных трабекул. «Молодой» тканью считали трабекулы, непосредственно примыкающие к хрящевой эпифизарной пластинке, с заметными остеоидными участками, иногда с интенсивно окрашивавшимися грубозернистыми вкраплениями и отдельными хрящевыми клетками. Макроскопически эти участки интенсивно окрашивались

Таблица 1
Площадь нативных поверхностей в 1 г кости, см^2

| Поверхность | Лопатка | Череп | Позвоночник | Бедро |
|----------------------|------------------|-------------------|-------------------|------------------|
| Внешняя | 32,50 | 28,24 | 22,18 | 5,75 |
| Внутренняя | 29,82 | 31,31 | 25,71 | 22,74 |
| Суммарная | | | | |
| 1 г костей | $62,32 \pm 2,63$ | $59,55 \pm 3,61$ | $47,89 \pm 1,90$ | $28,49 \pm 2,48$ |
| всей кости | $9,94 \pm 0,83$ | $107,44 \pm 7,48$ | $164,02 \pm 8,69$ | $19,23 \pm 1,96$ |
| Поверхность | Большая берцовая | Малая берцовая | Надколенная | Фаланги |
| Внешняя | 7,66 | 34,06 | 16,80 | 20,00 |
| Внутренняя | 18,51 | 21,45 | 27,15 | 18,00 |
| Суммарная | | | | |
| 1 г костей | $26,17 \pm 1,52$ | $55,51 \pm 2,40$ | $43,95 \pm 7,68$ | $38,00 \pm 4,80$ |
| всей кости | $13,27 \pm 0,6$ | $1,53 \pm 0,21$ | $1,02 \pm 0,17$ | $8,02 \pm 0,61$ |
| | | | | $35,99 \pm 5,03$ |
| | | | | $6,73 \pm 0,78$ |

после прижизненного введения ализаринового красного и выглядели красной полоской с размытым краем, обращенным в сторону диафиза. Подобная картина наблюдалась и на ауторадиограммах костей животных, получивших Ca^{45} внутривенно.

Ауторадиографическая методика применена также для сравнения распределения радиоизотопов в кости *in vivo* и *in vitro* и для выявления распределения кровеносных сосудов в различных участках кости с помощью альбумина- J^{131} , а также эритроцитов, меченых по хрому-51, железу-59. Ауторадиографию и гистоаутографию костей производили на фотопластиниках для ядерных исследований типа МР и МК.

6. Эритроциты, меченные радиожелезом, получали, вводя крысам по 500 мкюри железа-59 внутривенно. Через двое суток гепаринизированную кровь (из расчета 0,1 мл гепарина на крысу) собирали в центрифужные пробирки. Часть оставшихся в организме форменных элементов крови вымывали перфузией кровеносной системы 30 мл физиологического раствора. Эритроциты, меченные по хрому-51, получали *in vitro*. В гепаринизированную кровь крысы вносили радиоизотопы и на 2 ч помещали в терmostat при температуре 37°C.

В результате четырехкратного декантования в физиологическом растворе в надосадочной жидкости оставались лишь следы железа-59 или хрома-51 (возможно, в результате незначительного гемолиза). После тщательного перемешивания взвесь эритроцитов вводили крысам в хвостовую вену или в *v. dorsalis penis*.

Результаты опытов

1. Площади геометрических поверхностей изученных костей крыс на единицу веса ($\text{см}^2/\text{г}$) существенно различаются (табл. 1). Внешняя поверхность 1 г костей закономерно увеличивается с уменьшением размеров кости (коэффициент корреляции 0,74), в то же время вариации площади внутренних поверхностей костей невелики.

В этой же таблице приведены данные об общей геометрической поверхности костей крысы. Рассчитано, что площадь поверхности трубчатых костей составляет $132,8 \text{ см}^2$, плоских костей — $127,3 \text{ см}^2$, богатых спонгиозной тканью позвоночника и грудины — 172 см^2 . Общая площадь поверхности скелета $587,2 \pm 12,5 \text{ см}^2$.

2. Истинная сорбирующая поверхность костей крысы, определенная методом газовой сорбции, составляет $0,8 \text{ м}^2$.

Таблица 2
Зрелая и формирующаяся трабекулярная ткань в костях

| Кости | Вес, г | Трабекулярная кость | | Балки из зоны роста | |
|--|---------|---------------------|------|---------------------|-----|
| | | г | % | г | % |
| Передняя конечность | 1,0342 | 0,1965 | 19,6 | 0,020 | 2,0 |
| Задняя конечность | 3,2072 | 0,6081 | 19,2 | 0,041 | 1,3 |
| в том числе бедро | 0,7308 | 0,2338 | 32,0 | 0,012 | 1,6 |
| Позвоночник | 3,7247 | 2,1236 | 62,1 | 0,096 | 2,8 |
| Череп | 1,8028 | 0,0360 | 2,1 | 0,029 | 1,6 |
| Ребра | 0,6190 | 0,0170 | 2,8 | 0,008 | 1,3 |
| Лопатка | 0,2926 | 0,0088 | 2,8 | 0,001 | 0,3 |
| Грудина | 0,1790 | 0,1214 | 67,6 | 0,005 | 2,7 |
| Тазовые кости | 0,9181 | 0,0275 | 3,1 | 0,001 | 0,1 |
| Челюсть | 0,5130 | 0,0103 | 2,3 | 0,001 | 0,2 |
| Хвост | 1,6844 | 0,0606 | 3,6 | 0,030 | 1,8 |
| Весь скелет (с поправкой на неисследованные кости и хрящи) | 14,6160 | 3,4436 | 24,7 | 0,241 | 1,6 |

3. Показано, что в скелете крысы $27,4 \pm 5,8\%$ веса составляет губчатая кость. Трабекулы из зон роста составляют 1,6% веса скелета, 50% всей губчатой костной ткани организма сосредоточено в позвоночнике.

В табл. 2 представлены данные о количестве трабекулярной ткани в различных частях скелета, а также о количестве молодой формирующейся губчатой кости из зон роста в отдельных костях.

4. Объем костных канальцев в 1 г составляет $5,01 \text{ mm}^3$, поверхность 200 cm^2 ; во всем скелете, соответственно 44 mm^3 и 1764 cm^2 . Объем костных телец $10,8 \text{ mm}^3/\text{г}$, площадь их $46 \text{ cm}^2/\text{г}$, во всем скелете — $95,3 \text{ mm}^3$ и 401 cm^2 , соответственно. Суммарно лакуны и канальцы образуют емкость $16 \text{ mm}^3/\text{г}$ площадью $246 \text{ cm}^2/\text{г}$. Эти показатели близки к данным, полученным на человеческой кости [6].

5. Сорбционная способность изученных участков нативных поверхностей кости представляет собой величину одного порядка. Сорбционный коэффициент кортикальной кости меньше, чем у губчатой, почти в два раза. Губчатая ткань, взятая из зоны роста большеберцовой кости, достоверно активнее сорбирует радиокальций, но различие это не превышает 20%. Спонгиозная ткань из различных костей скелета накапливает излучатель в равной степени.

Динамика коэффициента сорбции во времени показана на рис. 1. Кривая удовлетворительно выпрямляется в логарифмическом масштабе. Путем экстраполяции найдено, что ток радиоактивных ионов кальция-45 в первую минуту инкубации равен $1,1 - 2,0 \cdot 10^{-2}$ отн. ед./ $\text{cm}^2 \cdot \text{мин}$ для поверхности зрелой кости и $3,1 \cdot 10^{-2}$ — для поверхности формирующихся трабекул.

6. На ауторадиограммах, полученных после введения животному меченых эритроцитов и меченого по иоду-131 альбумина, отчетливо заметно повышенное кровенаполнение зон роста надкостницы и участков, прилежащих к суставному хрящу.

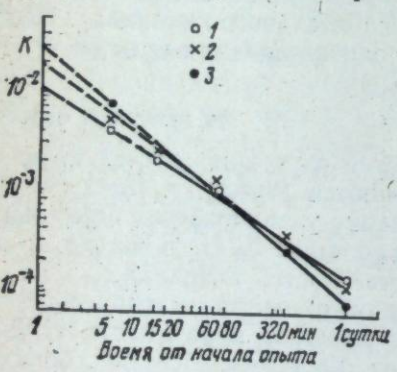


Рис. 1. Динамика коэффициента сорбции K. Штриховые линии — экстраполяция.

1 — кортикальная кость, 2 — зрелые и 3 — формирующиеся трабекулы.

Заключение

Приведены гистометрические данные костных структур, принимающих непосредственное участие в минеральном обмене и обеспечивающих значительное кумулирование радиоизотопов в скелете в первые же минуты поступления их в организм. Такими структурами являются прежде всего нативные поверхности, прилежащие к кровеносным сосудам, затем каналикулы и костные тельца.

Площадь поверхностей скелета, прилежащих к кровотоку, в среднем $50 \text{ cm}^2/\text{г}$ (в разных костях от $26,2$ до $76,9 \text{ cm}^2/\text{г}$), площадь канальцев и лакун — $246 \text{ cm}^2/\text{г}$. В сумме геометрические поверхности составляют около $300 \text{ cm}^2/\text{г}$, что соответствует $0,8 \text{ м}^2$ ($8000 \text{ cm}^2/\text{г}$) истинной сорбирующей поверхности. Известно [2], что поверхность кристаллов минеральной фазы в 1 г кости составляет около 200 м^2 . Сопоставление показывает, что геометрическая поверхность кости может рассматриваться как образование, состоящее из многих «слоев» ($8000 \text{ cm}^2/\text{г} : 300 \text{ cm}^2/\text{г} = 27$) истинных сорбирующих структур, вероятно, кристаллов гидроксилапатита, масса которых равна:

площадь сорбирующих структур ($0,8 \text{ м}^2$)
— площадь кристаллов гидроксилапатита ($200 \text{ м}^2/\text{г}$) = $0,004 \text{ г}$ (на весь скелет — $0,05 \text{ г}$). Доступными для диффундирующих в кость молекул азота, таким образом, оказываются только 0,4% массы минеральных кристаллов. Вероятно, эти количественные взаимоотношения применимы для оценки поведения радиоизотопов кальция, поскольку полностью минерализованная костная ткань непроницаема и для его катионов [10].

Данные по сорбирующими поверхностям костной ткани имеют прямое отношение к трофики. Так, интересным представляется то, что между величиной поверхности и весом костей в конечностях существует прямо пропорциональная зависимость (рис. 2). Для сравнения на график нанесены данные по другим костям скелета, не подчиняющимся, как видно, этой закономерности (обозначены крестиками).

Сорбционные показатели поверхностей кортикальной кости зрелой и формирующейся костной ткани отличаются не более чем в 2—3 раза. Между тем при прижизненном введении кальция-45 накопление его в трабекулярной ткани зон роста на два порядка превышает накопление в других балках губчатой кости и составляет существенную долю всей накапливаемой радиометки, несмотря на то, что масса ростковой трабекулярной кости всего 1,6% костей скелета.

Морфобиохимические особенности собственно костных структур не могут объяснить такое резкое различие в сорбции излучателей *in vivo* и *in vitro*. В этом отношении может оказаться интересным обнаружение густой сосудистой сети под эпифизарной хрящевой пластинкой, выявленной на специальных ауторадиограммах, особенно, если скорость кровотока через нее повышена.

Отдельно должна быть обсуждена возможность экстраполяции сведений, полученных в опытах на заведомо мертвых препаратах кости, особенно численных значений коэффициентов сорбции, на целостный организм с его сложнейшим биохимическим аппаратом обмена костной ткани [11, 12]. Однако обнаружено, что количественные параметры обмена радиокальция в заведомо

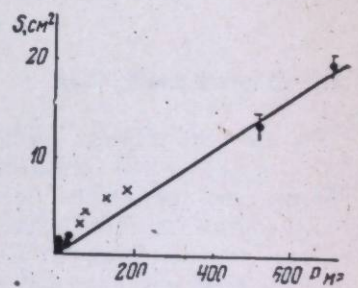


Рис. 2. Зависимость площади поверхности (S) костей задней конечности крысы от их веса (P).

убитой (не фиксирующей метионин-С¹⁴) и в свежевыделенной, накапливающей радиоактивную аминокислоту, кости существенно не отличаются. Поэтому разработка проблемы, включающая структурный и физико-химический подходы, может дать полезные результаты.

ЛИТЕРАТУРА

1. E. C. Mc Lean, A. M. Buday. Radiation, isotopes and bone. N.Y.—L., Acad. press., 1964.
2. Э. Энгстрем, П. Бьернерстед, К. Клемедсон, Э. Нельсон. Кость и радиоактивный стронций. М., Медгиз, 1962.
3. W. S. S. Jee. Assesment of radioactivity in man. Vienna, 1964, 1, 369—393.
4. Н. М. Любашевский. Теоретические вопросы минерального обмена. Труды Ин-та экологии растений и животных, 1970, вып. 68, 111—118.
5. W. Eger, H. Kammegger. Callus Formation. Budapest, 1967, 179—189.
6. R. Cooper, J. Milgram, R. Robinson. J. bone joint surgery, 1966, 48A, 7, 76—92.
7. Н. М. Любашевский. Материалы VI Уральской конференции физиологов, фармакологов и биохимиков (г. Тюмень). Свердловск, Средне-Уральское кн. изд-во, 1969, 269—271.
8. W. Lipp. Acta anatomica, 1954, 20, 2.
9. А. Л. Чижевский. Структурный анализ движущейся крови. М., Изд-во АН СССР, 1959.
10. Н. М. Любашевский. Изучение структурно-биохимических характеристик обменных поверхностей костной ткани в связи с особенностями метаболизма некоторых микро- и макроэлементов. Второй Всесоюзный биохимический съезд, 13 секция. Ташкент, «Фан», 1970, 38—39.
11. Л. И. Слуцкий. Механизмы регенерации костной ткани. М., «Медицина», 1972, 179—189.
12. St. Kortrechger. Callus Formation. Budapest, 1967, 275—300.

ВЫП. 85

АКАДЕМИЯ НАУК СССР · УРАЛЬСКИЙ НАУЧНЫЙ ЦЕНТР
МЕТАБОЛИЗМ РАДИОИЗОТОПОВ В ЖИВОТНОМ ОРГАНИЗМЕ

Н. М. ЛЮБАШЕВСКИЙ

ИЗУЧЕНИЕ ТРАНСМЕМБРАННЫХ ПОТОКОВ ИОНОВ КАЛЬЦИЯ-45, ФОСФОРА-32, ЦЕЗИЯ-137, ИТРИЯ-91 В ОПЫТАХ НА ПЕРЕЖИВАЮЩИХ ТКАНЯХ

Согласно современным представлениям [1, 2], уровень тканевого обмена в значительной мере определяется функционированием биологических мембран. В частности, их проницаемость влияет на судьбу радиоактивных излучателей в организме, зависящую от ряда сопряженных физиологических процессов. На пути изотопа из крови в интерстициальную среду первой такой мембраной является эндотелиальный пласт стенки капилляров. Дальнейший транспорт изотопов связан с мембранами клеточных элементов. Из жидких сред, окружающих кальцинированные ткани, поток ионов включается в их поверхностные структуры.

Данные о количественных взаимоотношениях между потоками ионов через различные мембранные системы могли бы послужить материалом для обсуждения механизмов межклеточного минерального обмена и для обоснования практических мер по детоксикации от радионуклидов.

В настоящей работе сделана попытка определить проницаемость биологических мембран для Ca⁴⁵, Y⁹¹, P³², Cs¹³⁷ *in situ* на переживающей конечности крысы в условиях перфузии. При постановке опытов в таких условиях концентрация радиоизотопа в притекающей жидкости остается постоянной, удается исключить вмешательство сложных процессов циркуляции и перемешивания, неизбежных в целостном организме. Представляется возможным в одном опыте получить сведения о проницаемости капилляров, объеме межклеточного пространства перфузионного органа, о потоках ионов через клеточные мембранные и нативные поверхности скелетных тканей.

Параметры проницаемости мышечных мембран сопоставлялись с данными по проницаемости мембран эритроцитов, полученных в отдельных экспериментах.

Материал и методика

Опыты поставлены на 67 белых лабораторных крысах линии «Вистар» стадного разведения в возрасте 8—11 месяцев, весом 342±12 г.

Перфузию задних конечностей производили по методике, описанной в работах [3—5]. Канюлю вводили в бедренную артерию, наложение жгута заменяли прошиванием мягких тканей в верхней трети бедра. В качестве перфузионной среды использовали 9%-ный раствор сухой человеческой плазмы, в который вносили исследуемые изотопы кальция-45, цезия-137, иттрия-91, фосфора-32. Количество раствора — до 200 мл, объемная скорость перфузата 1 мл/мин. Анализировали отте-

кающий перфузат, аликовтные пробы которого брали после пропускания через конечность 1,0—5,0 мл раствора. Определяли также накопление радиоизотопов в мягких тканях и костях перфузируемой конечности. Радиоактивные растворы в количестве 0,1 мл наносили на алюминиевые тарелочки, разводили водой до полного перемешивания и равномерного распределения по подложке и высушивали. Пробы костной ткани получали озолением ее в муфельной печи при 400—500° С, мягких тканей — после высушивания или озления; 50 мг радиоактивного порошка равномерно распределяли на алюминиевой подложке. Исходным раствором для расчета активности тканей служили препараты, приготовленные из 0,1 мл исходного перфузируемого раствора, разбавленного водой, и 0,5 мл 10%-ной сахарозы (для нивелирования эффекта самопоглощения). Все пробы готовили в двух повторностях. Измерение радиоактивности β-излучателей проводили на установках УМФ и ПСТ-100. Ошибка счета не превышала 5%. Результаты выражали в процентах от концентрации радиоизлучателя в насыщающем растворе и в относительных единицах:

$$1 \text{ отн. ед.} = \frac{\text{накопленный излучатель, имп/мин}}{\text{радиоактивность 1 мл раствора, имп/мин}}$$

Для учета разбавления оттекающего перфузата кровью, вытесненной из кровеносной системы конечности, в отдельных опытах определили степень разведения при помощи взвеси меченых по железу-59 эритроцитов [6], пропускаемых через сосудистую сеть, а также динамику вытеснения крови различными объемами воздуха.

Для изучения поведения изотопов в системе плазма — эритроциты крови, взятую от 2—3 крыс, гепаринизировали из расчета 0,1 мл гепарина на 20 мл плазмы. Клеточные элементы крови осаждали центрифугированием при 2000 g. Плазму отсасывали пипеткой, осадок дважды декантавали, для чего разбавляли его физиологическим раствором до прежнего объема, перемешивали и снова центрифугировали. Супернатант сливал, к осадку эритроцитов доливали до 10 мл чистую негепаринизированную сыворотку, полученную от других крыс. Во взвесь эритроцитов вносили радиоизотоп. Динамику радиоактивности в эритроцитах оценивали на основании анализа 0,1 мл аликовтных проб супернатанта, получаемых на протяжении 5 ч опыта. За исходную (100%) концентрацию принимали активность тщательно перемешанной взвеси, пробу которой брали перед центрифугированием. Осадок составлял 2,1 мл на опыт, из него 0,1 мл — жидкой среды. Тогда радиоактивность 2 мл эритроцитарной массы

$$A = \frac{N - 8n}{N} \cdot 100\%,$$

где A — накопленная эритроцитами активность, %,
 N — суммарная активность 10 мл взвеси,
 n — активность 0,1 мл супернатанта,
 $8n$ — активность всего супернатанта.

Для определения количества изотопа, сорбированного на оболочке и в строме, а также находящегося в цитоплазме, «заряженные» в результате инкубации с радиоизлучателем эритроциты подвергали гемолизу. Для этого через 24 ч инкубации взвесь центрифугировали, супернатант сливал, осадок быстро промывали физиологическим раствором. По 1 мл взвеси эритроцитов в физиологическом растворе при концентрации 1:1 вносили в пробирки. Через 2 мин пробирки центрифугировали, супернатант сливал в отдельную емкость и к осадку вновь добавляли дистиллированную воду. Процедуру повторяли 4 раза.

В контроле вместо дистиллированной воды использовали изотонический раствор хлористого натрия.

Процентное содержание радиоактивности, находящейся в цитоплазме эритроцитов и связанной со стромой, находили по формулам:

$$A = \left(\frac{n}{N} - \frac{n_1}{N_1} \right) \cdot 100\%,$$

$$A_1 = 100\% - A,$$

где N и N_1 — содержание радиоизотопа в опытной и контрольной пробирках;

n и n_1 — радиоактивность, отмытая при гемолизе и физиологическим раствором;

A и A_1 — количество излучателя в цитоплазме и сорбированного на оболочках и в строме.

Полученные данные подвергали статистической обработке.

Результаты опытов и обсуждение

При перфузии исходного раствора с постоянной концентрацией радиоизотопа концентрация излучателя в оттекающем перфузате меняется. На рис. 1 приведены кривые концентраций перфузионных растворов (в % от концентраций исходных растворов) кальция-45, цезия-137, иттрия-91, фосфора-32, корректированные с учетом разведения перфузата вытесняемой из сосудов кровью. Из рисунка видно, что концентрации всех рассмотренных радиоизлучателей достигают постоянной величины. Формы кривых близки, различия наблюдаются по двум показателям: скорость достижения и величина предельного насыщения. Предельное накопление кальция-45 — 99,4 ± 0,2%, иттрия-91 — 98,3 ± 0,7%, фосфора-32 — 96,7 ± 0,7%, цезия-137 — 95,3 ± 0,4%.

Процессы транспорта изотопов, происходящие в перфузионной конечности, могут быть изображены схематично (рис. 2). Перенос ионов из камеры A в камеру B характеризует проницаемость капилляров для изучаемого агента, из камеры B в камеру C_1 — сорбционную способность и проницаемость клеточных мембран и внеклеточных волокнистых структур, в C_2 — сорбционную способность нативных костных поверхностей. Выход кривой на плато означает насыщение камеры B . Если из камеры B изотоп не элиминируется, равновесие в концентрациях между камерами A и B устанавливается на одном уровне, т. е. концентрация в камере B достигает 100%. При утечке изотопа из камеры B равновесие устанавливается, когда отток из нее равен притоку из камеры A . Если емкость камер C_1 и C_2 достаточно велика, то суммарная скоп-

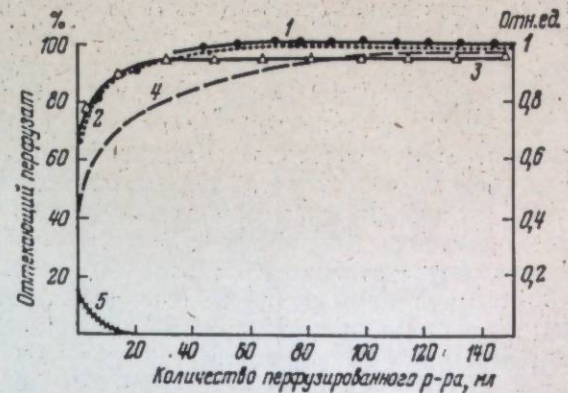


Рис. 1. Динамика концентрации оттекающего перфузата. Предельное насыщение (100%, 1 отн. ед.) — концентрация излучателя в исходном растворе.

1 — Ca⁴⁵, 2 — Y⁹¹, 3 — Cs¹³⁷, 4 — P³², 5 — поправка на разведение.

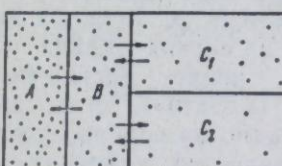


Рис. 2. Схема обмена излучателя в перфузионной конечности.

A — внутрисосудистое и
 B — интерцеллюлярное про-
 C_1 — клеточные
 C_2 — костная
 ткань.

некоторое время относительно постоянной (поскольку обратный ток ионов незначителен). Эта схема легла в основу расчета трансмембранных потоков ионов в перфузированной конечности.

Первые порции перфузата наиболее полно очищаются от излучателя, так как обратный поток ионов за время, близкое к нулевому, практически отсутствует. Количество радиоактивности, проходящей через капиллярную стенку, определяли экстраполировав выпрямленную в полулогарифмическом масштабе кривую насыщения до пересечения с осью абсцисс. Для цезия-137, кальция-45, иттрия-91 и фосфора-32 оно равно соответственно 0,52; 0,46; 0,45 и 0,42 отн. ед/мл.

На начальном этапе обмена насыщение костной ткани может быть принято прямо пропорциональным количеству перфузируемого раствора и равным для радиоактивных цезия — $2,0 \cdot 10^{-4}$, иттрия — $2,6 \cdot 10^{-4}$, фосфора — $1,6 \cdot 10^{-2}$, кальция — $2,4 \cdot 10^{-2}$ отн. ед/мл. Доля перешедшего в мягкие ткани излучателя составляет для цезия 0,520, иттрия 0,447, фосфора 0,404 и кальция 0,436 отн. ед/мл.

Данные по проницаемости капилляров могут быть представлены в расчете на единицу их поверхности. Методом меченых эритроцитов установлено, что в капиллярах конечности содержится примерно 0,2 мл крови. Рассматривая капилляры как цилиндры правильной формы диаметром 10 мк, получили среднюю площадь капиллярных мембран равной $51 \text{ см}^2/\text{г}$, или 1290 см^2 в 25,2 г мягких тканей конечности крысы. В компактной кости площадь капиллярных стенок равна $10,5 \text{ см}^2/\text{г}$, во всех костях конечности приблизительно 43 см^2 [6].

В 1 мл перфузата содержится 1 отн. ед. активности и стабильные ионы в физиологических концентрациях. Считая радиоактивный кальций и фосфор — меткой стабильных ионов, а радиоцезий — меткой стабильного калия, находим:

$$Q_{\text{Ca}^{+}_{\text{м.т}}} = 5,5 \cdot 10^{-5} \text{ м.моль/г.мин} = 1,1 \cdot 10^{-6} \text{ м.моль/см}^2 \cdot \text{мин},$$

$$Q_{\text{Ca}^{+}_{\text{кости}}} = 5,0 \cdot 10^{-5} \text{ м.моль/г.мин} = 5,0 \cdot 10^{-6} \text{ м.моль/см}^2 \cdot \text{мин},$$

$$Q_{\text{K}^{+}_{\text{м.т}}} = 1,2 \cdot 10^{-4} \text{ м.моль/г.мин} = 2,0 \cdot 10^{-6} \text{ м.моль/см}^2 \cdot \text{мин},$$

$$Q_{\text{PO}^{-}_{\text{м.т}}} = 3,9 \cdot 10^{-5} \text{ м.моль/г.мин} = 7,6 \cdot 10^{-7} \text{ м.моль/см}^2 \cdot \text{мин},$$

$$Q_{\text{PO}^{-}_{\text{кости}}} = 1,6 \cdot 10^{-5} \text{ м.моль/г.мин} = 1,6 \cdot 10^{-6} \text{ м.моль/см}^2 \cdot \text{мин},$$

где Q — поток ионов стабильного изотопа через мембрану капилляров: $\text{Ca}^{+}_{\text{м.т}}$ и $\text{Ca}^{+}_{\text{кости}}$ — для кальция в мягких тканях и в кости; $\text{K}^{+}_{\text{м.т}}$ — для стабильного калия в мягких тканях; $\text{PO}^{-}_{\text{м.т}}$ и $\text{PO}^{-}_{\text{кости}}$ — для фосфора в мягких тканях и в кости.

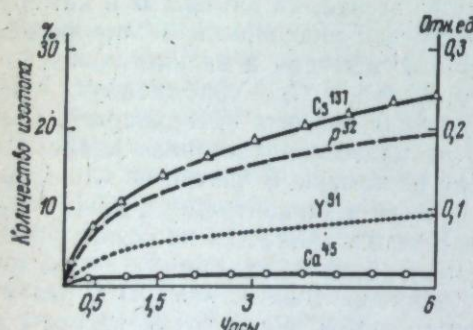


Рис. 3. Динамика накопления радиоизотопов в эритроцитарной взвеси.

странства $23,4 \pm 2,3\%$ веса мягких тканей, на единицу веса клеточной массы — 0,32 мл/г.

Скорость перемещения излучателя в клеточные элементы (после поправки на поглощение костью) равна: для цезия 4,7, для фосфора 3,1, для иттрия 1,7, для кальция 0,36% от находящегося в среде (т. е. 0,32 отн. ед/г·мин); токи ионов: для цезия — $1,5 \cdot 10^{-2}$ отн. ед/г·мин, или $9,3 \cdot 10^{-5} \text{ м.моль/г.мин}$, для кальция — $1,1 \cdot 10^{-3}$ отн. ед/г·мин, или $3,4 \cdot 10^{-6} \text{ м.моль/г.мин}$, для иттрия $5,4 \cdot 10^{-3}$ отн. ед/г·мин.

Клеточная поверхность в 1 г мышечной ткани составляет 650 см^2 (при среднем диаметре мышечного волокна 50 мк). Тогда поток ионов калия (из расчета по цезию-137) через единицу поверхности мембраны равен $1,4 \cdot 10^{-8}$, фосфора — $1,5 \cdot 10^{-9}$, кальция — $5,2 \cdot 10^{-10} \text{ м.моль/см}^2 \cdot \text{мин}$.

В опытах с эритроцитами показана динамика сорбции изучаемых радиоизотопов (рис. 3). Методом гемолиза установлено, что $80,4 \pm 2,0\%$ иттрия-91 локализуется в оболочке и строме эритроцита и $19,6\%$ — в цитоплазме, цезия-137 содержится соответственно $24,1 \pm 1,0$ и $75,1 \pm 1,0$, кальция-45 — $99,0 \pm 0,2$ и $1,0\%$. По литературным данным [17], добиться полного выхода гемоглобина при гемолизе и отмывании дистиллированной водой невозможно: 14—34% его остается в клетке в связанном со стромой состоянии. Однако гемоглобин, по-видимому, не обладает заметными конкурирующими с оболочкой и стромой свойствами. Так, распределение иттрия-91 при инкубации с «тенями» эритроцитов в отсутствии гемоглобина не отличалось заметно от контрольного (без гемоглобина). «Тени» эритроцитов по отношению к иттрию обладают сорбционной способностью, сравнимой с сорбицией живыми клетками ($10,4 \pm 0,5$ и $8,7 \pm 0,2\%$, соответственно).

Заключение

Полученные нами в экспериментах на переживающей перфузируемой конечности и эритроцитах данные по потокам ионов через мембранны капилляров, мышечных волокон и эритроцитов согласуются с литературными данными [1, 8—11].

Механизм обмена ионов и частиц через пласт эндотелиальных клеток сосуда и через мембрану клеток предполагается различным. Считается [12], что транскапиллярный транспорт ионов осуществляется по межклеточным щелям или порам клеточных мембран. В то же время становится общепринятым [13, 14] представление об исключительно пиноцитозном характере обмена крупных частиц.

Сравнивая накопление изотопов мышечными клетками и эритроцитами (см. таблицу), находим, что это величины одного порядка. Вероятно, механизмы сорбции этими клетками одинаковы и данные, полученные на

Потоки радиоактивных ионов в мышечные клетки перфузируемых тканей и в эритроциты

| Изотоп | Мышечные клетки | | Эритроциты | |
|----------------------|---------------------|------------------------------|---------------------|------------------------------|
| | отн. ед/г·мин | отн. ед/см ² ·мин | отн. ед/г·мин | отн. ед/см ² ·мин |
| Цезий-137 | $1,5 \cdot 10^{-2}$ | $2,3 \cdot 10^{-5}$ | $8,0 \cdot 10^{-2}$ | $6,5 \cdot 10^{-6}$ |
| Фосфор-32 | $9,9 \cdot 10^{-3}$ | $1,5 \cdot 10^{-5}$ | $5,2 \cdot 10^{-3}$ | $4,2 \cdot 10^{-7}$ |
| Иттрий-91 | $5,4 \cdot 10^{-3}$ | $8,3 \cdot 10^{-6}$ | $4,7 \cdot 10^{-3}$ | $3,8 \cdot 10^{-7}$ |
| Кальций-45 | $1,1 \cdot 10^{-3}$ | $6,2 \cdot 10^{-6}$ | $3,0 \cdot 10^{-3}$ | $2,4 \cdot 10^{-7}$ |

таком удобном в эксперименте материале, как взвесь эритроцитов, переносимы на мышечную ткань. Тогда становится ясней локализация изучаемых элементов в клетках и некоторые особенности терапевтической реакции мышечной ткани, например, довольно полное выведение непроникающими в клетки комплексонами лантаноидов и актиноидов, если они, подобно иттрию в эритроцитах, локализуются в основном на поверхности клеток.

ЛИТЕРАТУРА

1. T. Z. Csaky. Ann. Rev. phys., 1965, 27, 415—442.
2. Д. Л. Рубинштейн. Общая физиология. М., Медгиз, 1947.
3. J. E. Parrenheim et al. Soto-Rivera. Amer. J. phys., 1952, 3, 471, 1948.
4. Н. М. Любашевский. Исследование начальных этапов отложения остеотропных радионизотопов.— Теоретические вопросы минерального обмена. Труды Ин-та экологии растений и животных, 1970, вып. 68.
5. Н. М. Любашевский. Радиобиология, 1968, 8, 5, 754—755.
6. Н. М. Любашевский. Количественная оценка кровотока в костной ткани в эксперименте. Материалы VI Уральской конференции физиологов, фармакологов и биохимиков в г. Тюмень. Свердловск, 1969, 269—271.
7. П. С. Васильев, Р. А. Рутберг, М. П. Петров. Биокомплексы и их значение. М., «Колос», 1965, 113—124.
8. E. M. Renkin. Amer. J. phys., 1959, 197, 6, 1205—1210.
9. E. J. Harris. Transport and accumulation in biological systems. L., 1960.
10. А. С. Трошин. Проблема клеточной проницаемости. М.—Л., Изд-во АН СССР, 1956.
11. Биофизика мембран, ч. I. Каунас, 1971.
12. J. F. Parrenheim et al. Phys. Rev., 1954, 33, 3, 787—423.
13. В. А. Шехламов. Капилляры. М., «Медицина», 1971.
14. И. А. Овчинин. Материалы по патологии белков крови и нарушению сосудистой проницаемости. Труды Ставропольского мед. института им. Абуали Ибни Сино, 1959, вып. 4.

1.974

АКАДЕМИЯ НАУК СССР · УРАЛЬСКИЙ НАУЧНЫЙ ЦЕНТР
МЕТАБОЛИЗМ РАДИОИЗОТОПОВ В ЖИВОТНОМ ОРГАНІЗМЕ

Н. В. МИКШЕВИЧ

О ФИЗИКО-ХИМИЧЕСКОМ СОСТОЯНИИ ИТТРИЯ-91 В СЫВОРОТКЕ КРОВИ

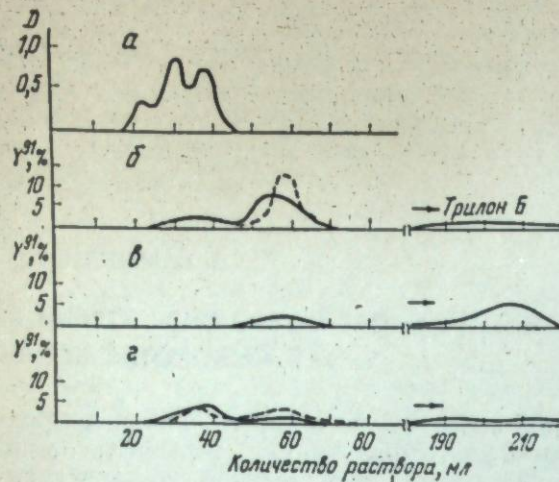
Изучение физико-химического состояния иттрия в крови проводится различными методами (электрофорез, ультрафильтрация, гель-фильтрация и др.) [1—5], выбор которых может в значительной мере влиять на получаемые результаты. Существенное влияние на поведение иттрия в крови может оказывать скорость внутривенной инъекции, определяющая локальную концентрацию вводимого раствора, так как иттрий обладает большой склонностью к гидролизу, а также содержание примесей стабильных легкогидролизующихся элементов во вводимом растворе¹. Однако в работах, посвященных изучению состояния иттрия в крови [1—5], эти вопросы не находят отражения. И только в некоторых [1, 2] указывается, при каких условиях введения радионизотопа в кровь проводилось изучение его состояния.

Настоящая статья посвящена изучению состояния иттрия в сыворотке крови методом гель-фильтрации в зависимости от скорости и количества вводимого металла.

Материал и методика

Белым крысам (самцам) шестимесячного возраста инъектировали в хвостовую вену по 0,2 мл раствора хлорида иттрия-91 без изотопного носителя (вводимый крысе объем содержал ~100 мкюри излучателя и 0,68 мкг Fe, pH 1). Было выбрано два режима введения; быстрый (2—3 сек) и медленный (20—25 сек). Через 4 мин после введения животное декапитировали и кровь центрифугировали в течение 10 мин при 3,5 тыс. об/мин. Полученную таким образом сыворотку носили в количестве 0,2 мл, содержащих ~10⁵ имп/мин, на колонку размером 1,2×50 см, заполненную сепадексом G-200 и промывали три-НCl буфером при pH 7,2. Скорость элюирования составляла 8 мл/час. Элюат собирали фракциями по 1,2 мл, разбавляли (1:2) раствором 0,2 М NaCl. Из этого объема отбирали 0,5 мл на радиометрию, а оставшийся раствор анализировали на белок на спектрофотометре СДФ-2 при λ=280 мк. Баланс по элюату составлял 98—103% от внесенной с сывороткой в колонку радиоактивности. Были также проделаны опыты с введением животным аликвоты (0,2 мл) исходного раствора иттрия-91, разбавленного 1:7 в HCl.

¹ Растворы хлористого иттрия-91, поставляемые Всесоюзным объединением «Изотоп», содержат примеси стабильных элементов, из которых наибольшее влияние на физико-химическое состояние излучателя при pH крови может оказывать железо, количество которого в разных фасовках колеблется, согласно паспортным данным, в пределах 0,1—400 мкг на 1 мк Y⁹¹. Содержание легкогидролизующегося циркония (до-черного продукта Y⁹¹) в растворе не может быть рассчитано, так как в паспорте не указывается время выделения радиониттрия из смеси излучателей.



Элюционные диаграммы сывороточных белков и радиоиттрия на сефадексе G=200 в трис-HCl буфере при pH 7,2 (колонка 1,2×50 см). Пунктирная линия — быстрое, сплошная — медленное введение.

а — оптическая плотность вытекающего элюата при $\lambda = 280$ мкм; б — радиоактивность вытекающего элюата при фракционировании сыворотки от животных, которым вводили ~ 100 мккюри ^{91}Y ; в — активность элюата при промывании 0,2 мл раствора $^{91}\text{YCl}_3$ трис-HCl буфером; г — радиоактивность элюата при фракционировании сыворотки от животных, которым вводили аликвоту исходного раствора (~ 15 мккюри) излучателя.

другой, содержащий незначительное количество металла, появляется только при элюировании колонки 0,025 М раствором трилона Б. Его максимум приходится на те порции элюата, в которых находится практически чистый трилон, что контролировали по водородному показателю собранных фракций. При быстром введении радиоизотопа на элюционной диаграмме отсутствует пик радиоактивности белковосвязанного иттрия. Такая же картина получается и при промывании через колонку 0,2 мл раствора хлорида иттрия-91 (см. рисунок, в).

В опытах с аликвотой исходного раствора радиоиттрия как при быстром, так и при медленном внутривенном введении на элюционной диаграмме проявляются три пика радиоизотопа (см. рисунок, г). Первый соответствует металлу, связанному с белками; второй, имеющий объем выхода, равный свободному объему колонки; третий появляется при использовании в качестве элюата трилона Б. Количество иттрия в первом пике составляло 22% при быстром и 40% при медленном введении.

В статических условиях как стекло, так и сефадекс могут сорбировать иттрий-91 в значительном количестве (см. таблицу).

Как видно из приведенных данных, при различной скорости внутривенного введения и различном количестве вводимого металла его состояние в сыворотке крови неодинаково. По-видимому, основная роль в этом явлении принадлежит процессу гидролиза. С этой точки зрения полученные результаты можно объяснить следующим образом.

Известна большая склонность иттрия к гидролизу. Он может существовать в растворе в виде гидролизованных ионов сложного состава,

в литературе имеются данные по сорбции микроколичества радиоизотопов многовалентных металлов стеклом [6]. Сефадекс также может сорбировать катионы, так как он представляет собой карбоксильный ионообменник емкостью 0,1—0,2 мг·экв/г [7]. Поэтому нами были поставлены опыты по изучению сорбции иттрия-91 стеклом и сефадексом в статических условиях.

Обсуждение результатов эксперимента

В опытах с медленным внутривенным введением (см. рисунок, б) наблюдается пик радиоактивности (содержащий 10—11% иттрия-91 от общего его количества в сыворотке), соответствующий иттрию, связанному с белками, и кроме этого еще два. Один — во фракциях фильтрата, соответствующих полному объему геля, а

| Состав пробы | Колич. ^{91}Y , % |
|---|----------------------------|
| 0,1н HCl (раствор сравнения) | 0 |
| Трис-НCl буфер pH 7,2 | 8,2 |
| Трис-НCl буфер pH 7,2+100 мг сефадекса G-10 | 10,7 |
| Трис-НCl буфер pH 7,2+500 мг сефадекса G-10 | 24,4 |

Примечание. Объем раствора 25 мл, количество сыворотки 0,2 мл.

причем глубина гидролиза растет с увеличением концентрации металла в растворе [8]. Есть также указания на то, что при низких концентрациях металла возможно образование коллоидов в условиях, когда величина произведения растворимости, определенная для обычных концентраций, не достигается [9]. Так, в работе [10] показано для трехвалентного церия, что при физиологическом pH и концентрации церия 10^{-10} моля образуются коллоидные агрегаты, хотя из справочных [11] данных известно, что произведение растворимости для гидроокиси церия в области умеренных концентраций равно 10^{-20} . Если оценить концентрацию иттрия во вводимом растворе исходя из его удельной активности 0,5 мк/мл, то она будет порядка $0,1 \cdot 10^{-6}$ моля.

Таким образом, при физиологическом pH в наших условиях может идти процесс гидролиза. Глубина этого процесса будет зависеть от скорости введения раствора в русло крови и количества инъецируемого металла, так как они определяют локальную концентрацию радиоиттрия. При быстром введении металл гидролизуется сильнее (при прочих равных условиях), чем при медленном, так как разбавление вводимого раствора в первом случае будет меньшим. Увеличение концентрации раствора также приводит к повышению степени гидролиза. Соответственно этому количество иттрия-91, связанного с белками, увеличивается при снижении концентрации рабочего раствора и скорости введения (см. рисунок, б, г), так как образование комплексов иттрий—белок происходит при взаимодействии белковой молекулы с ионной формой металла. Судя по полученной нами элюционной кривой сывороточных белков крысы (см. рисунок, а), хорошо совпадающей с данными по человеческой сыворотке [12], основную роль в связывании иттрия играет альбумин. Заметной радиоактивности в зоне первых двух белковых пиков обнаружено не было. Иттрий, выходящий с фракциями, соответствующими свободному объему колонки, может находиться в свободном (возможно, гидролизованном) состоянии, так как промывание трис-HCl буфером контрольного раствора $^{91}\text{YCl}_3$ при pH 7,2 дает пик радиоактивности в том же объеме (см. рисунок, в). Не исключено также нахождение металла в виде низкомолекулярных комплексов с полипептидами и аминокислотами [1]. Элюируемая трилоном Б доля излучателя связана с материалом колонки. Возможно, при этом происходит частичный распад комплекса металл — белок вследствие конкуренции за иттрий стекла и сефадекса.

Таким образом, в сыворотке крови устанавливается сложное динамическое равновесие между различными формами металла (связанный с белками, низкомолекулярными соединениями и свободный), на котором существенно сказываются условия введения (скорость, весовая доза) радиоизотопа в русло крови.

Метод гель-фильтрации также частично нарушает истинное равновесие из-за взаимодействия материала колонки с радиоизотопом.

Выводы

Показано, что доля металла в комплексе существенно зависит от концентрации и скорости инъектирования в кровяное русло раствора радионитрия (чем выше концентрация раствора и скорость его введения, тем меньше доля металло-белковых комплексов), что объясняется наложением процессов гидролиза ионов иттрия при рН крови на комплексообразование. Сефадекс и стекло частично нарушают равновесие между различными формами иттрия в сыворотке крови вследствие конкуренции с их стороны за ионы металла.

ЛИТЕРАТУРА

1. Ekman, E. Valmet, B. Aberg. Intern. J. Appl. Rad. and Isotopes, 1961, 12, 32.
2. F. Gensicke. Strahlentherapie, 1962, 118, 3, 369.
3. Л. М. Разбитная, В. С. Балабуха. Химическая защита организма от ионизирующих излучений. М., Атомиздат, 1970, 117.
4. С. М. Пучкова. Радиоактивные изотопы и организм. М., «Медицина», 1969, 223.
5. Н. М. Любащевский. Радиобиология, 1968, 8, вып. 5, 754.
6. И. Е. Старик. Основы радиохимии. Л., «Наука», 1969.
7. Г. Детерман. Гель-хроматография. М., «Мир», 1970.
8. G. Biedermann, L. Ciavatta. Arkiv kemi, 1964, 22, 3—4, 253.
9. G. K. Schweitzer, H. E. Scott. J. Amer. Chem. Soc., 1955, 77, 2753.
10. A. Aeberhardt. Rapp. CEA, 1961, № 1856.
11. Ю. Ю. Лурье. Справочник по аналитической химии. М., «Химия», 1965.
12. P. Flodin, J. Killander. Biochim. biophys. acta., 1962, 63, 3, 403, oct. 8.

1974

АКАДЕМИЯ НАУК СССР · УРАЛЬСКИЙ НАУЧНЫЙ ЦЕНТР
МЕТАБОЛИЗМ РАДИОИЗОТОПОВ В ЖИВОТНОМ ОРГАНИЗМЕ

Л. А. СОКОВ

О ПРОЦЕССАХ, ОБУСЛОВЛЯЮЩИХ ПРЕИМУЩЕСТВЕННОЕ ВЫВЕДЕНИЕ СТРОНЦИЯ ПО СРАВНЕНИЮ С КАЛЬЦИЕМ ЧЕРЕЗ ПОЧКИ

Природа преимущественного выведения стронция по сравнению с кальцием через почки до конца не выяснена. Неизвестно, какую роль в этом процессе играет величина фильтрационного заряда изотопов в клубочках почек. Одни исследователи [1] причиной непропорционального выведения стронция и кальция считают различное связывание этих ионов белками сыворотки крови. Другие [2] указывают, что величина связывания стронция и кальция белками сыворотки одинакова, и, следовательно, фильтрационный заряд радиоизотопов также одинаков. Принято считать, что причина преимущественного выделения стронция через почки — неодинаковая реабсорбция.

Однако простое сопоставление величин реабсорбции стронция и кальция и количества этих элементов, выделенных с мочой, показывает [2], что причина не только в этом.

Найдено [3], что стронций может поступать в просвет канальцев почек из перитубулярной жидкости и далее в мочу за счет диффузии. Роль секреции и диффузии в выведении стронция и кальция через почки остается неясной.

Целью настоящей работы является выяснение роли фильтрации, реабсорбции, секреции и диффузии в преимущественном выведении стронция по сравнению с кальцием через почки.

Материал и методика

Радиоизотопы стронций-90 и кальций-45 вводили взрослым крысам раздельно в индикаторных дозах в 1 мл физиологического раствора внутривенно. Кальций-45 вводили со стабильным носителем по 0,2 мг на животное. Через определенные интервалы времени после инъекции собирали мочу, измеряли объем. Одновременно производили отбор проб крови из хвоста в той же группе крыс.

Кровь, полученную при забое другой группы животных, центрифугировали, отделяли плазму. В части плазмы определяли ультрафильтруемость стронция-90 и кальция-45 методом дialиза [4].

Парциальные функции почек определяли у интактных животных по инсулину через 16—18 ч после введения радиоактивных изотопов, после водной нагрузки. При расчетах использовали общепринятые формулы. Радиометрию образцов плазмы крови и мочи проводили в стандартных геометрических условиях относительным методом на установке Б-4 со счетчиком Т-25-БФЛ.

Результаты и обсуждение

При измерении уровня ультрафильтруемости стронция и кальция в плазме крови установлено, что количество этих изотопов (в % от содержания в целой плазме), способное профильтроваться в клубочках почек, незначительно изменяется в суточной динамике. Так, расчет общесуточного фильтрационного заряда для стронция и кальция (проведенный с учетом клиренса инулина) показал, что за сутки в клубочках почек профильтровывается в среднем 160% изотопов от введенного количества, причем стронция несколько больше, чем кальция (на 10—15%).

Найденные величины (см. таблицу) мочетока, фильтрации жидкой части плазмы и ее последующей реабсорбции в двух сериях опытов (Ca^{45} и Sr^{90}) соответствуют нормальным физиологическим величинам [5—7].

Различия в фильтрационном заряде стронция и кальция незначительны и не могут существенно повлиять на величину выделения их с мочой. Аналогичные данные получены и для реабсорбции ионов. Если за 100 принять количество фильтруемого кальция и стронция, а количество реабсорбированного радионизотопа обозначить как R , то $100 - R$ представляет собой количество изотопа, выделяемого с мочой.

Сопоставление величин $100 - R_{\text{Sr}} = 1$ и $100 - R_{\text{Ca}} = 0,2$ показывает, что небольшие различия в реабсорбции этих ионов могут иметь большое значение в преимущественном выделении стронция через почки ($\frac{1}{0,2} = 5,0$). На рис. 1 представлено отношение P почасового и кумулятивного выделения стронция и кальция с мочой в течение суток. Почасовое выделение стронция и кальция в течение суток непостоянно. Так, если за первый час кальция выведено вдвое меньше, чем стронция, то в последующем его выделяется уже в 15—18 раз меньше. Если рассматривать P по общему выделению радионизотопов с мочой за сутки, то характер изменения P аналогичен почасовому. Однако величина этого отношения нарастает менее интенсивно и равна к концу суток 7,5. Из этого следует, что P при выведении кальция и стронция через почки формируется в динамике. Если P по кумулятивному выделению обозначить как основной показатель, то отношение почасового выделения стронция и кальция является «скрытым».

Если принять, что величина реабсорбции стронция и кальция при выведении их в кровоток в индикаторных количествах будет относительно постоянна, то изменение величины P может быть обусловлено активностью секреторно-диффузионных процессов, меняющихся с течением времени. Следовательно, зная величины выделенных стронция и кальция за счет фильтрационно-реабсорбционных процессов в общем выделении можно вычислить вклад секреторно-диффузионных процессов в общее выделение стронция и кальция через почки и оценить роль этих процессов в преимущественном выделении стронция перед кальцием.

Полученные величины степени очистки сыворотки крови от стронция и кальция почками (рис. 2) становятся постоянными лишь с 4—5-го

Парциальные функции почек (на 16—18-й час после поступления изотопов)

| Изотоп | Мочеток, мл·мин/кг | Фильтра- ция плазмы, мл·мин/кг | Реабсорбция, % от про- фильтрован- ного | Фильтрация изотопов | Выделение изотопов с мочой | Реабсорбция изотопа, % к профильт- рованному | | |
|------------------|-----------------------|---|--|------------------------|-------------------------------|---|-----------------|--|
| | | | | | | | % от введенного | |
| Ca^{45} | $0,15 \pm 0,06$ | $6,8 \pm 2,5$ | $97,2 \pm 0,5$ | $0,06 \pm 0,02$ | $0,00013 \pm 0,00001$ | $99,8 \pm 0,06$ | | |
| Sr^{90} | $0,12 \pm 0,03$ | $9,0 \pm 1,2$ | $98,2 \pm 1,2$ | $0,09 \pm 0,02$ | $0,00053 \pm 0,00010$ | $99,0 \pm 0,12$ | | |

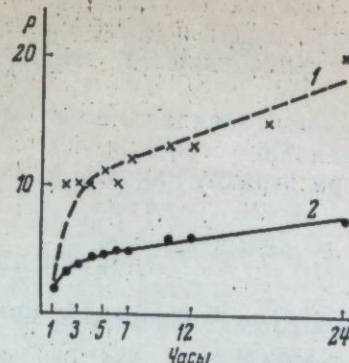


Рис. 1. Отношение выделений стронция-90 и кальция-45 с мочой в динамике за сутки.
Выделение: 1 — почасовое, 2 — кумулятивное.

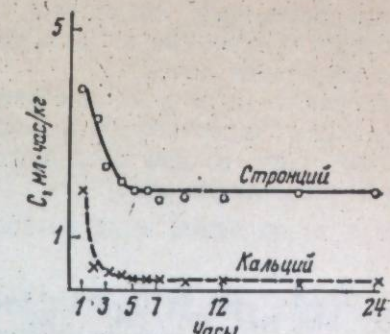


Рис. 2. Клиренсы (C) радионизотопов при выведении через почки (данные представлены с ошибкой не более 20%).

часа наблюдения, в то время как с 1-го по 4—5-й час клиренсы C радионизотопов интенсивно уменьшаются. Приняв стабильную часть клиренса за единицу, можно высчитать кратность изменения клиренсов за отрезок 1—5 ч. Интенсивное изменение клиренса обусловлено, по-видимому, добавочными процессами выделения — секреторно-диффузионными. Используя коэффициенты почасового выделения изотопов с мочой, можно определить количество стронция и кальция, выделенных с помощью секреции — диффузии (в % к введенному за сутки):

$$\frac{U_1}{U} \cdot 100,$$

где U_1 — количество радионизотопа, выделенное с мочой с помощью дополнительных механизмов экскреции;

U — общее выделение радионизотопов с мочой за сутки.

Для Sr^{90} эта величина равна 25%, для Ca^{45} — 46%. Таким образом, значительная часть стронция и кальция выводится из организма с помощью дополнительных механизмов, по-видимому, секреторно-диффузионных, причем кальция выводится в 2 раза больше, чем стронция. Действие секреторно-диффузионных процессов (см. рис. 2) наиболее выражено в течение первых часов и очень незначительно в последующие (см. рис. 1).

Количество выделенного стронция и кальция с помощью секреторно-диффузионных процессов за период с 5-го по 24-й ч вычислить данным способом невозможно, так как величина выделенных с мочой стронция и кальция этими процессами за данный период незначительна и не превышает ошибки определения клиренса.

Различный вклад секреторно-диффузионных процессов в общее выделение стронция и кальция с мочой, а также видимая «ограниченность» и изменчивость действия этих дополнительных процессов приводят к изменению соотношения в динамике количеств выделенных стронция и кальция.

Таким образом, преимущественное выделение стронция перед кальцием может быть обусловлено следующими факторами:

а) неодинаковой связью радионизотопов с белками сыворотки крови и, следовательно, различной величиной фильтрационного заряда стронция и кальция в клубочках почек;

б) различной интенсивностью реабсорбции их в канальцах почек;
в) неодинаковым значением секреторно-диффузионных процессов при переносе стронция и кальция из перитубулярной жидкости в просвет канальцев почек.

Если различия в величине фильтрационного заряда не имеют решающего значения в преимущественном выделении стронция по сравнению с кальцием, то два последних фактора играют, как видно, значительно более важную роль.

ЛИТЕРАТУРА

1. C. R. Creger, M. N. A. Ansary, L. B. Colvin, J. R. Couch. Proc. Soc. Exp. Biol. Med., 1967, 124, 3, 799.
2. R. J. Della-Rosa, F. A. Smith, S. M. Stannar. Int. J. Rad. Biol., 1961, 3, 6, 557.
3. J. Vostal, J. Heller. Ceskol. fysiol., 1966, 15, 3, 178.
4. С. М. Пучкова. Об исследовании днанализа с ультрафильтрацией и колоночного разделения на сепадексах для оценки связи белков с минеральными элементами. Мат-лы конференции. Уфа, 1966, 320.
5. F. Berglund. Scand. J. Clin. and Lab. Lubest., Suppl. 14, 1962, 64, 12.
6. F. Berglund. Acta Phys. Scand., 1965, 64, 3, 238.
7. M. F. A. Bonet, G. Pehling. Rev. Soc. Argent. Biol., 1963, 30, 5—8, 240.

1974

АКАДЕМИЯ НАУК СССР · УРАЛЬСКИЙ НАУЧНЫЙ ЦЕНТР
МЕТАБОЛИЗМ РАДИОИЗОТОПОВ В ЖИВОТНОМ ОРГАНИЗМЕ

3. В. ДУБРОВИНА, В. А. ОТЛЫГИН, П. М. МАЛКИН, Л. А. СОКОВ

О ДИНАМИКЕ РАСПРЕДЕЛЕНИЯ ЦЕЗИЯ-137 ПО ОТНОШЕНИЮ К КАЛИЮ В РАЗЛИЧНЫХ ОРГАНАХ И СИСТЕМАХ

При изучении механизмов обмена радиоактивного цезия в организме одним из ключевых вопросов является его связь с калием. Известно, что при равновесии между рационом и организмом отношение Cs^{137}/K в целом организме в 2,5—3 раза выше, чем в рационе, т. е. наблюдается усиленная концентрация радиоцезия по сравнению с калием. Поскольку основная масса регистрируемого прижизненно цезия-137 находится в мышечной ткани, можно предположить, что отмеченное выше относится в основном к этой ткани. Но для более полного познания закономерностей обмена цезия в организме необходимы сведения о накоплении цезия по отношению к калию в других органах и системах, с другим составом тканевых белков, с другими скоростями обмена.

Определение динамики распределения цезия по отношению к калию в отдельных органах и системах и сопоставление коэффициентов концентрации цезия и калия в клеточной массе различных органов составило цель нашей работы.

Методика

Было поставлено два опыта. Первый проведен на 94 белых крысях (самцы), весом от 200 до 290 г (в среднем 242 ± 2 г). В течение всего эксперимента животные получали нормальный виварийный рацион, в который вносили раствор $Cs^{137} Cl$ из расчета 2 мкюори на крысу в сутки.

В течение опыта многократно определяли содержание цезия-137 в различных органах и тканях. Забой животных, по 5—6 особей, производили через 1, 3, 5, 10, 15, 20, 25, 30, 40, 50, 60, 75 и 90 дней после начала эксперимента. За сутки до забоя по шесть крыс помещали в обменные клетки для сбора выделений. При забое отбирали различные органы и ткани, плазму из крови получали обычным путем.

Содержание Cs^{137} в золе проб определяли относительным методом на счетчиках типа БФЛ-Т-25 (эффективность счета составляла 14%, статистическая ошибка измерения была в пределах 1—5%), содержание калия¹ в пробах — на пламенном фотометре ФПФ-58, ошибка $\pm 7\%$.

Условия второго эксперимента были аналогичны условиям первого, только крыс умерщвляли на 50, 100, 120 и 150-е сутки после введения радиоцезия.

Результаты

Анализ суточных порций рационов крыс на содержание в них Cs^{137} показал, что коэффициент вариации величины суточного поступления этого радиоизотопа равнялся 20%, т. е. был невелик. Корм животные поедали полностью.

¹ Содержание калия в пробах определяли В. М. Лебедев и И. Г. Водовозова.

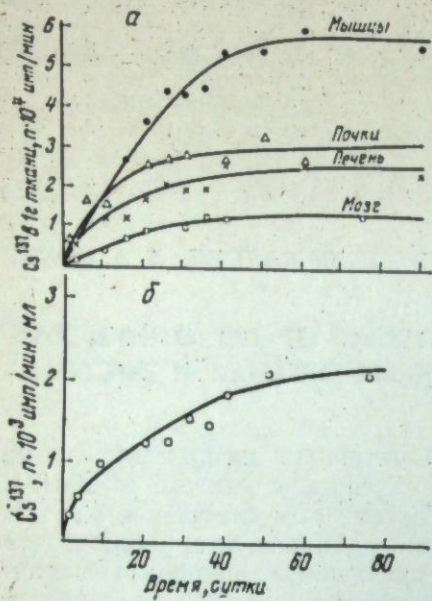


Рис. 1. Концентрация Cs^{137} в тканях (а) и плазме крови (б) крыс при длительном поступлении его с пищей.

показателю и степени b , изменение концентрации радиоцезия в почках и печени относительно первоначальной концентрации при $t=1$ равно относительной скорости увеличения его концентрации в плазме и значительно ниже скорости прироста содержания цезия в мышцах или мозговой ткани. Это свидетельствует о высокой скорости обмена цезия в печени и почках, что подтверждается и при анализе соотношения Cs^{137}/K в системе ткань — плазма (рис. 2).

В печени и почках уже к концу первых суток (а возможно, и раньше) устанавливается постоянное соотношение между содержанием цезия и калия в ткани и в жидкой части плазмы, в то время как в мозгу и мышцах — после 15—20-х суток.

В табл. 2 приведено среднее значение $\frac{Cs^{137}/K \text{ ткань}}{Cs^{137}/K \text{ плазма}}$ за период от 20-х до 90-х суток (I опыт) и от 100-х до 150-х (II опыт).

Как видно, для всех органов отмечается усиленная концентрация цезия по сравнению с калием из плазмы, однако неодинаковая для различных тканей. Интересным представляется найденное соотношение для мозга: если учесть, что в церебро-спинальной жидкости содержание калия примерно в два раза ниже, чем в плазме [5], то соотношение $\frac{Cs^{137}/\text{К мозг}}{Cs^{137}/\text{К мозг}}$ оказывается также равным 2—3.

Соотношение Cs^{137}/K в системе моча — плазма, рав-

ное единице, свидетельствует об одинаковой скорости выделения обоих элементов из плазмы крови через почки в условиях равновесия.

По концентрации Cs^{137} в период от 50-х до 90-х суток все исследованные ткани можно расположить в следующий ряд: мышцы > почки > печень > кость > мозг > эритроциты > плазма. Этот ряд соответствует приведенному в работах [1, 4].

В табл. 1 приведены параметры степеней функции, описывающей с высоким коэффициентом корреляции накопление радиоактивного цезия в тканях за период от 1 до 40 суток.

Из табл. 1 видно, что сначала ($t=1$ сутки) скорость включения цезия-137 была максимальна для печени и почек, минимальна — для мозга. В последующий период, судя по-

где единице, свидетельствует об одинаковой скорости выделения обоих элементов из плазмы крови через почки в условиях равновесия.

Целесообразно оценить коэффициент концентрации цезия (K_{cesia}) в воде клеток различных тканей по сравнению с его содержанием в жидкой части плазмы.

Расчет произведен по формуле

$$K_{cesia} = \frac{Cs_{in \text{ уд}}}{Cs_{ex \text{ уд}}} = \frac{[Cs_{opr} - (Cs_{pl} V_{ex})]}{V_{in} \cdot Cs_{pl}},$$

где $Cs_{in \text{ уд}}$ и $Cs_{ex \text{ уд}}$ — содержание цезия в 1 мл внеклеточной и внутриклеточной воды, соответственно;

Cs_{opr} и Cs_{pl} — содержание Cs^{137} в 1 г ткани и 1 мл жидкой части плазмы (составляющей 93% от веса плазмы);

V_{ex} и V_{in} — количество внеклеточной и внутриклеточной жидкости в 1 г ткани и в 1 мл, соответственно.

Принцип подобного расчета использован Ф. Б. Штрабом [6].

Количество внеклеточной и внутриклеточной жидкости в тканях определено следующим образом. Предварительно на группе крыс аналогичного веса было найдено общее содержание воды в каждой ткани (V_e) при высушивании образцов до постоянного веса. Размер внеклеточного пространства (в % к весу ткани — V_{in}) взят из работы [7].

Тогда $V_{ex} = V_e \cdot V_{in}$ и $V_{in} = V_e \cdot V_{ex}$.

Аналогичным путем определены коэффициенты концентрации калия (табл. 3). Из таблицы видно, что коэффициенты концентрации цезия, как и калия, в воде клеток различных органов далеко не одинаковы. По величине K цезия исследованные ткани можно разделить на следующие группы: мышцы бедренные, почки, семенники и кожа (40—50), печень и сердечная мышца (25—30) и мозг (12—14).

Следует отметить однозначность результатов отношения K калия и цезия: для большинства исследованных органов (печени, почек, кожи, семенников) оно равно 1,9—2,2, для мышечной ткани 2,7—3,3.

Это позволяет предположить, что причина различия цезия и калия при включении их в клеточную фазу одинакова для большинства тканей и несколько отлична для мышечной ткани. Возможно, в мышцах

| Ткань | Среднее значение $\frac{Cs^{137}/K \text{ ткань}}{Cs^{137}/K \text{ плазма}}$ | |
|------------------------------------|---|---------|
| | I опыт | II опыт |
| Мышцы бедра | 3,15 | 3,20 |
| Печень | 2,26 | 1,74 |
| Почки | 2,60 | 1,90 |
| Мозг | 1,02 | 1,50 |
| Сердечная мышца | — | 3,14 |
| $Cs^{137}/K \text{ моча — плазма}$ | 1,05 | — |

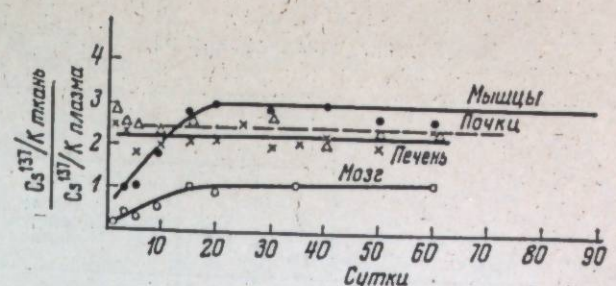


Рис. 2. Отношение $\frac{Cs^{137}/K \text{ ткань}}{Cs^{137}/K \text{ плазма}}$ в тканях при длительном поступлении с пищей.

Таблица 3

Коэффициент концентрации калия и цезия-137 в водной клеточной фазе различных тканей на период равновесия

| Ткань | Колич. воды, % к весу органа | | Колич. калия, мг на 1 г ткани всего в том числе внеклеточного | K_K | K_K цезия $\frac{K_K \text{ цезия}}{K_K \text{ калия}}$ |
|---------------------------|------------------------------|----------|---|-------|--|
| | V_{Σ} | V_{ex} | | | |
| Мышца бедра | 74,5 | 12,5 | 2,98 | 0,034 | 17,6 47,5 (56*) 2,7 |
| Мышца сердечная | 78,5 | 31,5 | 1,20 | 0,085 | 8,8 29,3 3,3 |
| Печень | 71,0 | 20,0 | 1,91 | 0,054 | 13,5 25,0 (24*) 1,9 |
| Почки | 74,5 | 43,5 | 2,08 | 0,117 | 32,0 50,0 2,2 |
| Мозг | 79,0 | 27,5 | 1,30 | 0,073 | 8,9 12,3 (14*) 1,5 |
| Кожа | 57,0 | 43,5 | 0,93 | 0,117 | 22,0 46,3 2,1 |
| Семениники | 52,0 | 28,0 | 1,75 | 0,070 | 26,6 49,6 1,9 |

* По данным II опыта.

существует еще и дополнительный фактор, обуславливающий повышенную дискриминацию калия по сравнению с цезием при их отложении в клеточной массе. Одним из таких факторов может быть специфический белок мышечной ткани — актомиозин [8].

Полученные данные свидетельствуют о полной аналогии в распределении цезия и калия по отдельным органам и системам с постоянно большим коэффициентом фиксации первого элемента по сравнению со вторым. Следует ожидать их конкурентных отношений при включении в клеточную массу, при условии, конечно, ограниченной обменной емкости структур, ответственных за это включение.

Учитывая очень быстрое установление равновесия между содержанием радиоцезия в плазме и в некоторых тканях (например, в печени и почках), можно сделать вывод о том, что в этих тканях нет фракций с малой скоростью обмена, во всяком случае их вклад в общее содержание цезия в этих органах очень незначителен. Поэтому приведенные в ряде работ величины медленнообменных фракций и эффективный период полувыведения Cs^{137} из этих фракций для печени или почек отражают, по-видимому, только условия обмена мышечной ткани, с которой эти органы быстро приходят в равновесие через плазму. Отсюда следует сделать вывод о трудности определения истинной скорости обмена в таких тканях в условиях *in vivo*, если основная масса радиоизотопа содержится в другой ткани с меньшей скоростью обмена.

ЛИТЕРАТУРА

- Л. А. Булдаков, Ю. И. Москалев. Проблемы распределения и экспериментальной оценки допустимых уровней Cs^{137} , Sr^{90} , Ru^{106} . М., Атомиздат, 1968.
- J. Ballou, R. Thompson R. Health. Physics, 1958, 85, 1.
- R. Wasserman, C. Comar. Rad. Res., 1961, 15, 1, 70.
- J. Furchner, G. Tratton, C. Richmond. Proc. Soc. Exp. Biol., 1964, 116, 2, 375.
- В. М. Боголюбов. Патогенез и клиника водно-электролитных расстройств. М., Медгиз, 1968.
- Ф. Б. Штрауб. Биохимия. Будапешт, Изд-во АН Венгрия, 1965.
- J. Mappagut, W. Bale. Amer. J. Phys., 1941, 132, 1, 215.
- В. А. Твердислов. Молекулярная биофизика. М., «Наука», 1965, 104.

А. В. БАЖЕНОВ, Г. А. МЕНЬШИКОВА

ЗАВИСИМОСТЬ ВЕЛИЧИНЫ ВЫВЕДЕНИЯ ИТТРИЯ-91 ИЗ ОРГАНИЗМА ОТ ДОЗЫ И СРОКА ПРИМЕНЕНИЯ Са-ЭДТА

В настоящее время накоплен большой экспериментальный материал по выяснению закономерностей поведения инкорпорированных радиоизотопов. Для ускорения выведения инкорпорированных металлов применяли комплексы. Впервые комплексон ЭДТА для выведения из организма иттрия и плутония использовали А. З. Кач и И. П. Трегубенко. Имеющиеся в литературе данные по эффективности этого комплексона относятся к начальному периоду инкорпорации изотопов — в течение первых двух недель. Данные по применению ЭДТА на поздних стадиях инкорпорации радиоиттрия отсутствуют.

Целью нашей работы было изучение зависимости величины выведения иттрия-91 из организма от разных доз комплексона Са-ЭДТА, применяемых однократно в более поздние сроки (несколько месяцев) после его инкорпорации. Постановка таких экспериментов дает нам возможность, во-первых, судить о максимально доступной дозе радиоиттрия в зависимости от дозы комплексона, во-вторых, определить оптимальную дозу комплексона для выведения иттрия-91 из организма в зависимости от сроков его применения и, в-третьих, о содержании излучателя в организме можно судить по количеству радиоактивности, выведенной Са-ЭДТА с мочой.

Материал и методика

Опыт проводили на 88 белых лабораторных крысах-самцах пятимесячного возраста. Животных разделили на 5 групп (I—V) по срокам введения им комплексона: на 3, 8, 32, 64 и 128-е сутки. В I—III группах было по 16, в IV—V по 20 крыс. Группы разбили на 4 подгруппы. Каждой подгруппе вводили определенные дозы комплексона.

Раствор хлорида иттрия-91 без носителя (pH 2) в объеме 0,4 мл, что соответствовало 40 мкюри на крысу, инъецировали в отпрепарированную хвостовую вену. Кальциевую соль ЭДТА (pH 7) в объеме 1 мл вводили внутрибрюшинно всем группам животных однократно по 10, 50, 100 и 200 мкгмолей на 3, 8, 32, 64 и 128-е сутки.

Подопытных животных забивали в разные сроки, предварительно высаживая их в обменные клетки за 4 дня до забоя (I группу животных высадили сразу же после введения радиоиттрия).

Измерение кратных образцов тканей и кала, а также упаренных образцов мочи проводили на полуавтоматическом аппарате «Тесла». После внесения поправок на самопоглощение в образцах содержание излучателя в тканях и выделениях выражали в процентах от введенного количества иттрия-91. Полученные данные по каждой группе живот-

Таблица 1
Содержание иттрия-91 в суточных порциях мочи крыс,
% от введенного излучателя

| Группа | Дни опыта | Доза Са-ЭДТА, мкгмоль | | | |
|--------|-----------|-----------------------|-------------|-------------|-------------|
| | | 10 | 50 | 100 | 200 |
| I | 1-й | 10,30±0,94 | 10,05±2,246 | 10,66±1,032 | 10,67±1,765 |
| | 2-й | 1,14±0,079 | 1,63±0,105 | 1,22±0,112 | 1,154±0,092 |
| | 3-й* | 1,62±0,0935 | 2,55±0,145 | 2,706±0,145 | 2,717±0,102 |
| | 4-й | 0,52±0,058 | 0,69±0,055 | 0,795±0,043 | 0,905±0,046 |
| II | 6-й | 0,095±0,005 | 0,081±0,007 | 0,071±0,008 | 0,091±0,026 |
| | 7-й | 0,104±0,014 | 0,094±0,005 | 0,089±0,015 | 0,101±0,008 |
| | 8-й* | 1,034±0,125 | 1,52±0,116 | 1,475±0,07 | 2,077±0,134 |
| | 9-й | 0,252±0,025 | 0,271±0,033 | 0,418±0,046 | 0,466±0,034 |
| III | 30-й | 0,032±0,006 | 0,028±0,002 | 0,025±0,003 | 0,031±0,005 |
| | 31-й | 0,049±0,004 | 0,033±0,002 | 0,030±0,005 | 0,036±0,001 |
| | 32-й* | 0,864±0,065 | 0,912±0,033 | 1,179±0,167 | 1,635±0,154 |
| | 33-й | 0,163±0,026 | 0,199±0,027 | 0,252±0,032 | 0,385±0,007 |
| IV | 62-й | 0,02±0,002 | 0,02±0,004 | 0,02±0,001 | 0,016±0,002 |
| | 63-й | 0,023±0,004 | 0,024±0,001 | 0,025±0,002 | 0,020±0,018 |
| | 64-й* | 0,445±0,031 | 0,673±0,077 | 0,932±0,103 | 1,156±0,198 |
| | 65-й | 0,094±0,006 | 0,144±0,022 | 0,196±0,019 | 0,267±0,051 |
| V | 126-й | 0,021±0,007 | 0,021±0,007 | 0,018±0,001 | 0,021±0,002 |
| | 127-й | 0,022±0,002 | 0,025±0,001 | 0,022±0,002 | 0,024±0,001 |
| | 128-й* | 0,265±0,041 | 0,502±0,068 | 0,608±0,055 | 0,641±0,046 |
| | 129-й | 0,061±0,010 | 0,119±0,017 | 0,106±0,028 | 0,177±0,025 |

* Инъекция комплексона.

ных подвергали статистической обработке — вычисляли средние величины и стандартное отклонение, характеризующее дисперсию опытных данных.

Результаты и обсуждение

Анализ данных табл. 1 показывает, что естественное выделение невесомого иттрия-91 с мочой в первый день составляет в среднем 10,4% и резко снижается на второй день (до 1,3%). В дальнейшем содержание излучателя в моче (6—7-й день) падает до 0,1%, что согласуется с ранее полученнымными данными [1—7]. В более поздние сроки, начиная с 30-го и по 127-й день, экскреция металла с мочой колеблется в небольших пределах и составляет

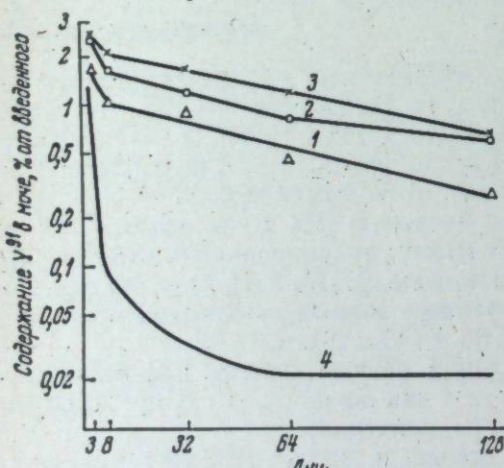


Рис. 1. Сравнение эффективности доз Са-ЭДТА в выведении иттрия-91 с мочой. Доза комплексона, мкгмоль: 1 — 10, 2 — 50—100, 3 — 200 и 4 — контроль.

Таблица 2
Содержание иттрия-91 в суточных порциях кала крыс,
% от введенного излучателя

| Группа | Дни опыта | Доза Са-ЭДТА, мкгмоль | | | |
|--------|-----------|-----------------------|--------------|-------------|-------------|
| | | 10 | 50 | 100 | 200 |
| I | 1-й | 0,60±0,274 | 1,16±0,381 | 1,538±0,351 | 1,784±0,585 |
| | 2-й | 1,62±0,329 | 0,68±0,080 | 0,902±0,359 | 0,850±0,114 |
| | 3-й* | 0,62±0,226 | 0,502±0,212 | 0,582±0,167 | 0,489±0,186 |
| | 4-й | 0,36±0,037 | 0,351±0,052 | 0,337±0,041 | 0,281±0,074 |
| II | 6-й | 0,227±0,052 | 0,275±0,032 | 0,171±0,026 | 0,302±0,036 |
| | 7-й | 0,154±0,055 | 0,205±0,036 | 0,156±0,019 | 0,166±0,044 |
| | 8-й* | 0,176±0,027 | 0,09±0,024 | 0,113±0,020 | 0,142±0,006 |
| | 9-й | 0,156±0,046 | 0,272±0,051 | 0,243±0,082 | 0,163±0,089 |
| III | 30-й | 0,023±0,007 | 0,041±0,009 | 0,031±0,008 | 0,051±0,008 |
| | 31-й | 0,072±0,017 | 0,05±0,010 | 0,067±0,014 | 0,044±0,012 |
| | 32-й* | 0,038±0,004 | 0,047±0,003 | 0,041±0,005 | 0,054±0,016 |
| | 33-й | 0,052±0,009 | 0,042±0,004 | 0,094±0,027 | 0,054±0,016 |
| IV | 62-й | 0,055±0,036 | 0,055±0,015 | 0,089±0,026 | 0,089±0,025 |
| | 63-й | 0,176±0,024 | 0,145±0,010 | 0,091±0,032 | 0,078±0,021 |
| | 64-й* | 0,053±0,007 | 0,074±0,017 | 0,054±0,020 | 0,098±0,016 |
| | 65-й | 0,069±0,002 | 0,075±0,021 | 0,097±0,019 | 0,107±0,009 |
| V | 126-й | 0,011±0,004 | 0,019±0,005 | 0,011±0,005 | 0,011±0,005 |
| | 127-й | 0,007±0,001 | 0,012±0,0001 | 0,021±0,004 | 0,017±0,004 |
| | 128-й* | 0,016±0,004 | 0,016±0,005 | 0,027±0,008 | 0,014±0,005 |
| | 129-й | 0,015±0,003 | 0,022±0,008 | 0,026±0,005 | 0,022±0,005 |

* Инъекция комплексона.

0,019—0,037%. Изменения интенсивности выделения иттрия-91 с мочой в зависимости от дозы комплексона представлены на рис. 1. Дозы Са-ЭДТА 50 и 100 мкгмоль из-за отсутствия достоверных различий между ними на протяжении всех сроков их применения представлены суммарной кривой. Как видно из рисунка, дозы комплексона резко повышают выделение иттрия с мочой; естественное выделение иттрия с мочой (см. рис. 1, 4) вплоть до 64-го дня снижается более резко, чем выделение излучателя комплексоном Са-ЭДТА. Отсюда можно сделать вывод, что доступная для выведения комплексоном доля излучателя, находящегося в организме, уменьшается медленнее, чем для естественных механизмов мобилизации радиоиттрия.

Если теперь сопоставить эффективность разных доз Са-ЭДТА отдельно для каждого срока опыта, станут заметными некоторые закономерности в ходе кривых.

Таблица 3
Содержание иттрия-91 во всем организме и скелете крысы по срокам,
% от введенного излучателя

| День | Весь организм | Скелет |
|-------|---------------|------------|
| 3-й | 84,05±0,84 | 59,20±2,09 |
| 8-й | 77,74±0,82 | 60,92±1,25 |
| 32-й | 69,49±1,61 | 58,85±1,71 |
| 64-й | 68,94±1,14 | 59,30±1,55 |
| 128-й | 70,57±0,48 | 59,85±1,37 |

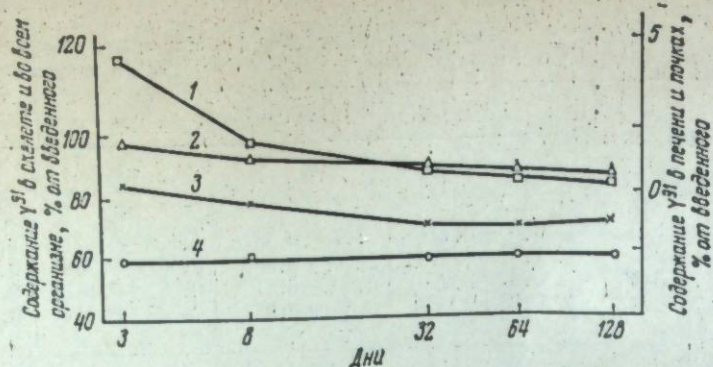


Рис. 2. Изменение во времени содержания иттрия-91 в тканях и органах крыс.
1 — печень, 2 — почки, 3 — весь организм ко дню введения комплексона, 4 — скелет.

Так, на 3-й день опыта наблюдается быстрый начальный рост эффективности комплексона для всех доз. Ход кривых для этих доз одинаковый, хотя и имеются значимые различия между 10 и 200 мкгмолями Са-ЭДТА ($p=0,007$). Поскольку достоверной разницы между кривыми 2 и 3 нет, практически можно применять в этот период 100 мкгмоль. С отдалением срока применения комплексона зависимость эффективности от его дозы описывается параллельными прямыми до 64-го дня, т. е. в пределах малых доз нарастание эффективности идет медленно и одинаково для всех доз, но значительно ускоряется при больших дозах. Четко заметно это лишь с 8-х по 64-е сутки.

По-видимому, в ранние сроки опыта излучатель фиксирован в тканях не оченьочно, поэтому уже в пределах малых доз быстро нарастает эффективность комплексона. Это можно рассмотреть и с иной точки зрения: в ранние сроки значительная доза депонированного в тканях излучателя легко доступна для комплексона, поэтому уже в пределах от 10 до 100 мкгмолов достигается максимум эффективности ЭДТА; на поздних стадиях опыта, когда оставшийся в тканях излучатель уже фиксированочно, т. е. легко доступная для комплексона доля его незначительна, заметного выведения иттрия-91 удается добиться лишь большими дозами комплексона.

Содержание иттрия в кале (табл. 2) в первые двое суток меньше (1,27—1,01%), чем в моче, но затем, начиная с 6-го дня, превышает количество иттрия, выделяемого с мочой (0,036—0,224 и 0,036—0,1%, соответственно). Ни одна из испытуемых доз комплексона не дала повышения содержания иттрия в кале по сравнению с естественным выделением его до применения комплексона.

Выяснив закономерности выведения иттрия в зависимости от срока и дозы применения комплексона, рассмотрим естественное поведение излучателя в организме. Подопытных животных мы забивали в разные сроки, а это позволяет получить данные о естественном содержании инкорпорированного иттрия в организме на протяжении длительного времени. Для этого к сумме содержания иттрия во всех тканях и органах в день забоя мы прибавили количество иттрия, выведенного с мочой и калом в «комплексонный» и «послекомплексонный» дни (табл. 3).

Естественное выведение иттрия из организма со временем уменьшается с 84 до 69,5% (рис. 2, 3). Снижение хорошо выражено до 32-го дня, на более поздних сроках, когда естественное выделение с мочой и калом незначительно, содержание иттрия в организме почти не изменяется и держится примерно на одном уровне до 128-го дня (69%). Действие разных доз комплексона не изменяет количества инкорпорированного иттрия и в скелете (см. рис. 2, 4). Содержание металла на протяжении всех сроков, как это было установлено и раньше [1, 4, 6], не изменяется, а комплексон эффективен в течение всего эксперимента. Интересно выяснить, в какой степени доступен для комплексона радиоиттрий, депонированный в разных тканях.

Попытка определения доступности иттрия из мягких тканей не дала положительного результата. Содержание иттрия в печени и почках уменьшается быстро (рис. 2, кривые 1 и 2) и не зависит от дозы. Однако, как видно из приведенных данных, общий эффект однократной инъекции комплексона, т. е. выведенное им количество радиоиттрия из организма, составляет малую величину. Поэтому если бы к моменту инъекции комплексона в тот или иной временной срок эксперимента мы забивали контрольных крыс, нам не удалось бы заметить статистически достоверного снижения содержания излучателя в отдельно взятом органе. Для установления преимущественной мобилизации радиоиттрия комплексоном из той или иной ткани необходимы эксперименты с многократным ежедневным применением комплексона [8, 9].

Методом количественной диагностики показано, что выводимая комплексоном доля содержащегося в организме токсического металла должна зависеть, в частности, от времени применения комплексона после отравления токсическим металлом и от дозы комплексона. В ранние сроки после отравления (рис. 3) наблюдается довольно резкое падение выводимой доли металла в зависимости от момента применения комплексона. В дальнейшем (после 8-х суток) снижение его эффективности идет по экспоненциальному закону. Разница в выводимой доле от находящегося в организме металла составляет около 2,3 при изменении дозы комплексона от 10 до 200 мкгмолов. Отсюда следует, что без учета применяемой в терапии, а параллельно и для диагностики дозы комплексона мы можем допустить ошибку в расчете дозы более чем в два раза. В пределах изученного срока (до 128-го дня) выводимая доля изменяется в четыре раза для максимальной дозы комплексона и более чем в пять раз — для минимальной. Поэтому надо строго учитывать, через какой срок после отравления проводится количественная диагностика.

Выводы

1. Выделение радиоактивного иттрия из организма происходит наиболее интенсивно в течение первых суток после его внутреннего введения (с мочой 10,4%, с калом 1,3%). В последующие дни интенсивность выделения, в особенности через почки, резко снижается и уже с 6-го дня преобладает экскреция с калом. Уменьшение содержания иттрия в организме происходит за счет мобилизации его из мягких тканей, в то время как содержание в скелете остается постоянным в течение всего опыта (128 дней).

2. Инъекция комплексона Са-ЭДТА повышает выделение излучателя с мочой. Чем поз-

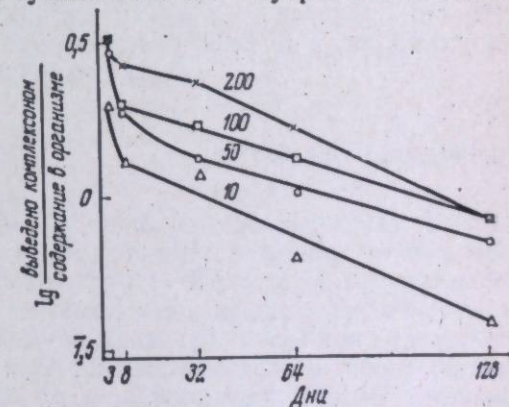


Рис. 3. Доступность иттрия-91 для разных доз Са-ЭДТА (цифры на кривых) во времени.

же он применяется, тем ниже его эффективность. Существует явная зависимость эффективности комплексона от его дозы, которая сохраняется на протяжении всего опыта.

3. Доступная для Ca-ЭДТА доля иттрия, находящегося в организме, уменьшается медленнее, чем для естественных механизмов мобилизации. Это наблюдается для всех испытанных доз и на протяжении всех сроков эксперимента.

4. Установленная зависимость изменения доступности иттрия-91 для разных доз комплексона с учетом времени применения позволяет определить содержание излучателя в организме по количеству выведенной Ca-ЭДТА радиоактивности с мочой, что может лежать в основу количественной диагностики отравления.

ЛИТЕРАТУРА

1. Д. И. Семенов. Труды Ин-та биологии Урал. фил. АН СССР, 1957, вып. 9, 4—19.
2. Д. И. Семенов, И. П. Трегубенко. Там же, 20—58.
3. Д. И. Семенов, И. П. Трегубенко. Комплексоны. Свердловск, 1958, 75—78.
4. Д. И. Семенов, И. П. Трегубенко. Там же, 89—96.
5. Д. И. Семенов, И. П. Трегубенко. Теоретические вопросы минерального обмена. М., «Наука», 1966, 64—73.
6. И. П. Трегубенко, В. Г. Яшунский, Д. И. Семенов. Биохимия, 1961, 26, 1, 177—187.
7. И. П. Трегубенко, Д. И. Семенов. Теоретические вопросы минерального обмена. М., «Наука», 1966, 74—83.
8. И. П. Трегубенко. Труды Ин-та биологии Урал. фил. АН СССР, 1967, вып. 13, 48—56.
9. И. П. Трегубенко, Д. И. Семенов, Е. И. Сухачева, Г. А. Меньшикова, М. Н. Белова. Теоретические вопросы минерального обмена. Труды Ин-та экологии растений и животных Урал. фил. АН СССР, 1970, вып. 68, 95—103.

1974

АКАДЕМИЯ НАУК СССР · УРАЛЬСКИЙ НАУЧНЫЙ ЦЕНТР
МЕТАБОЛИЗМ РАДИОИЗОТОПОВ В ЖИВОТНОМ ОРГАНИЗМЕ

Е. И. СУХАЧЕВА, С. С. ЛЕКОХМАХЕР, Т. П. АРХИПОВА

УРОВЕНЬ РАСПАДА КОМПЛЕКСА Y-ЭДТА В ОРГАНИЗМЕ В ЗАВИСИМОСТИ ОТ ВВОДИМОЙ ДОЗЫ

Полиаминополикарбоновые кислоты в водных растворах образуют прочные комплексы с рядом металлов, однако в условиях организма эти соединения в большей или меньшей степени распадаются. Даже при избытке ЭДТА наблюдается распад комплексов иттрия, цинка, марганца и железа [1—3] в результате конкуренции эндогенных металлов за комплексон, биокомплексонов и активных поверхностей — за радионуклид [1—5]. Взаимоотношения внутренней среды организма и комплексных соединений все еще изучены недостаточно, а между тем выяснение условий распада хелатных соединений в организме имеет существенное значение как с точки зрения повышения эффективности комплексонов и направленного синтеза специфических комплексообразователей, так и для выяснения некоторых вопросов минерального обмена.

Один из путей решения этой задачи — изучение степени распада комплексов в организме в зависимости от инкорпорируемой весовой дозы. По данным работы [6], через 24 ч после внутривенного введения крысам Y⁸⁸-ЭДТА в дозах 1 и 100 мкгмолов в организме остается 35 и 15% излучателя, соответственно, что указывает на более высокий уровень распада низкой дозы комплекса. Распределение оставшейся в организме доли излучателя также подчиняется дозовой зависимости. Авторы не приводят данных по выделению иттрия через почки. Между тем изучение уровня выбывания комплексных соединений с мочой позволило бы получить дополнительную информацию о скорости и величине распада хелатных соединений в организме.

Целью наших исследований являлось изучение динамики выделения и степени распада комплексного соединения Y⁹¹-ЭДТА в широком диапазоне инкорпорируемых доз в организме крыс.

Методика исследований

Опыты проводили на самках белых крыс (вес 232,3±4,3 г). Растворы комплекса Y-ЭДТА, меченого по иттрию-91, готовили с 10%-ным избытком комплексона в соотношении 1:1,1. Хелаты инъецировали в v. jugularis в дозах от 10⁻⁵ до 250 мкгмолов на крысу в объеме 0,4 мл при pH≈7,4. Для усиления диуреза крысам до инъекции комплекса подкожно вводили по 5 мл 0,9%-ного раствора NaCl, а после инъекции — по 5 мл дистиллированной воды перорально. После введения комплекса крыс катетеризировали, порции мочи отбирали через каждые 30 мин в течение 4 ч, затем животных помещали в обменные клет-

Содержание иттрия-91 в органах и выделениях крыс
через 24 ч после внутривенного введения комплекса $\text{Y}^{91}\text{-ЭДТА}$, % баланса

| Органы и выделения | Y^{91} навесочный | Дозы комплекса, мкгмоль на крысу | | | |
|--------------------------|----------------------------|----------------------------------|----------------|----------------|----------------|
| | | 0,00001 | 0,001 | 0,01 | 0,1 |
| Печень . . . | 7,895 ± 0,926 | 56,736 ± 2,275 | 9,986 ± 1,294 | 2,448 ± 0,071 | 1,969 ± 0,161 |
| Почки . . . | 4,113 ± 0,159 | 3,447 ± 0,253 | 2,739 ± 0,719 | 1,365 ± 0,165 | 1,303 ± 0,247 |
| Селезенка . . . | 0,176 ± 0,026 | 1,399 ± 0,201 | 0,274 ± 0,040 | 0,062 ± 0,007 | 0,030 ± 0,005 |
| Скелет . . . | 51,907 ± 1,221 | 18,961 ± 1,143 | 13,166 ± 2,080 | 9,445 ± 0,478 | 9,040 ± 1,394 |
| Мягкие ткани тушки . . . | 19,602 ± 0,765 | 10,595 ± 0,979 | 10,141 ± 1,320 | 5,701 ± 0,373 | 5,103 ± 0,428 |
| Кровь . . . | 0,182 ± 0,006 | 0,235 ± 0,022 | 0,143 ± 0,037 | 0,073 ± 0,017 | 0,065 ± 0,007 |
| Моча . . . | 15,026 ± 0,413 | 8,543 ± 1,123 | 63,169 ± 2,558 | 80,026 ± 1,041 | 81,772 ± 1,599 |
| Кал . . . | 1,594 ± 0,153 | 0,334 ± 0,047 | 0,659 ± 0,252 | 0,804 ± 0,123 | 0,604 ± 0,078 |

Примечание. В каждой группе 5–8 крыс; баланс составляет 99,57 ± 1,18%.

ки и через 24 ч их забивали под эфирным наркозом. Пробы крови брали из хвостовых вен в разные сроки после инъекции.

Подготовку проб для определения содержания излучателя в выделениях и тканях животных проводили по методике, принятой в лаборатории. Результаты выражали в процентах от введенной дозы иттрия-91 после внесения поправки на самопоглощение в толщине слоя навески.

Результаты и обсуждение

Результаты опытов показывают, что распад комплекса $\text{Y}^{91}\text{-ЭДТА}$ в организме крыс зависит от введенной дозы хелата, причем степень расщепления его значительно возрастает с уменьшением дозы (см. таблицу). После инъекции комплекса в количестве 10^{-5} мкгмоль на крысу в организме задерживается свыше 90% от введенного излучателя, а выделение с мочой составляло всего 8,5%. Характер распределения оставшейся в организме доли иттрия-91 приближается к ретикуло-эндотелиальному, поскольку около 57% радиоактивного иттрия депонировалось в печени, 1,4% в селезенке и лишь 18,9% в скелете. При повышении дозы инъецируемого комплекса до 10^{-31} мкгмоль на крысу резко возрастает уровень выделения комплекса через почки (63%) и значительно снижается депонирование в печени и селезенке. Дальнейшее увеличение вводимой дозы комплекса с 0,1 до 250 мкгмоль лишь незначительно влияет на величину выделения $\text{Y}^{91}\text{-ЭДТА}$ с мочой (81,78–87,67%), но характер распределения иттрия-91, оставшегося в организме, существенно изменяется. Наблюдается дальнейшее снижение отложения излучателя в органах ретикуло-эндотелиальной системы и костной ткани с возрастанием от дозы к дозе накопления в мягких тканях тушки с 5,1% при дозе в 0,1 мкгмоль до 11,2%. Абсолютное накопление иттрия, выраженное в микрограмм-молях на всю ткань или орган, с увеличением дозы резко возрастает (рис. 1). При этом не было установлено превышения емкости какого-либо органа или ткани, что ясно видно из характеристики кривых.

Анализ данных по динамике выделения комплекса через почки позволил установить, что выделение низких доз $\text{Y}^{91}\text{-ЭДТА}$ (до 0,1 мкгмоль) подчиняется сложной экспоненциальной зависимости (рис. 2), описывающейся уравнением $A_t = A_1 e^{-\lambda_1 t} - A_2 e^{-\lambda_2 t}$, где A_t — процент активности, выделившейся через почки за время t .

| мкгмоль на крысу | | | | | |
|------------------|----------------|----------------|----------------|----------------|----------------|
| 1,0 | 10,0 | 25,0 | 50,0 | 100,0 | 250 |
| 1,053 ± 0,051 | 0,671 ± 0,060 | 0,788 ± 0,041 | 0,992 ± 0,223 | 1,113 ± 0,186 | 0,916 ± 0,052 |
| 2,062 ± 0,288 | 1,105 ± 0,096 | 0,868 ± 0,067 | 0,758 ± 0,225 | 0,750 ± 0,083 | 0,583 ± 0,039 |
| 0,028 ± 0,001 | 0,034 ± 0,003 | 0,027 ± 0,003 | 0,046 ± 0,007 | 0,036 ± 0,005 | 0,065 ± 0,012 |
| 7,180 ± 0,666 | 2,437 ± 0,152 | 1,644 ± 0,121 | 1,315 ± 0,279 | 2,493 ± 0,136 | 1,667 ± 0,197 |
| 6,173 ± 0,449 | 10,591 ± 1,058 | 11,894 ± 0,631 | 10,516 ± 0,401 | 11,171 ± 0,116 | 8,107 ± 0,322 |
| 0,030 ± 0,001 | 0,033 ± 0,004 | 0,029 ± 0,012 | 0,010 ± 0,002 | 0,018 ± 0,002 | 0,023 ± 0,002 |
| 82,555 ± 0,947 | 84,891 ± 1,170 | 83,485 ± 2,831 | 86,026 ± 0,440 | 83,649 ± 1,612 | 87,655 ± 0,651 |
| 0,992 ± 0,291 | 0,273 ± 0,083 | 1,056 ± 0,292 | 0,419 ± 0,232 | 0,671 ± 0,108 | 0,785 ± 0,456 |

Динамика выделения через почки комплекса в пределах доз 0,1–100 мкгмоль за 4 ч после инъекции подчиняется экспоненциальной зависимости, которая может быть описана уравнением прямой (рис. 2, б). Регрессионный анализ данных в пределах этих доз выявил недостоверность различий как средних значений, характеризующих выделение за каждые 30 мин, так и углов наклона прямых ($p=0,44$ и $0,09$ соответственно). Динамика выделения $\text{Y}^{91}\text{-ЭДТА}$ с мочой при дозе в 250 мкгмоль

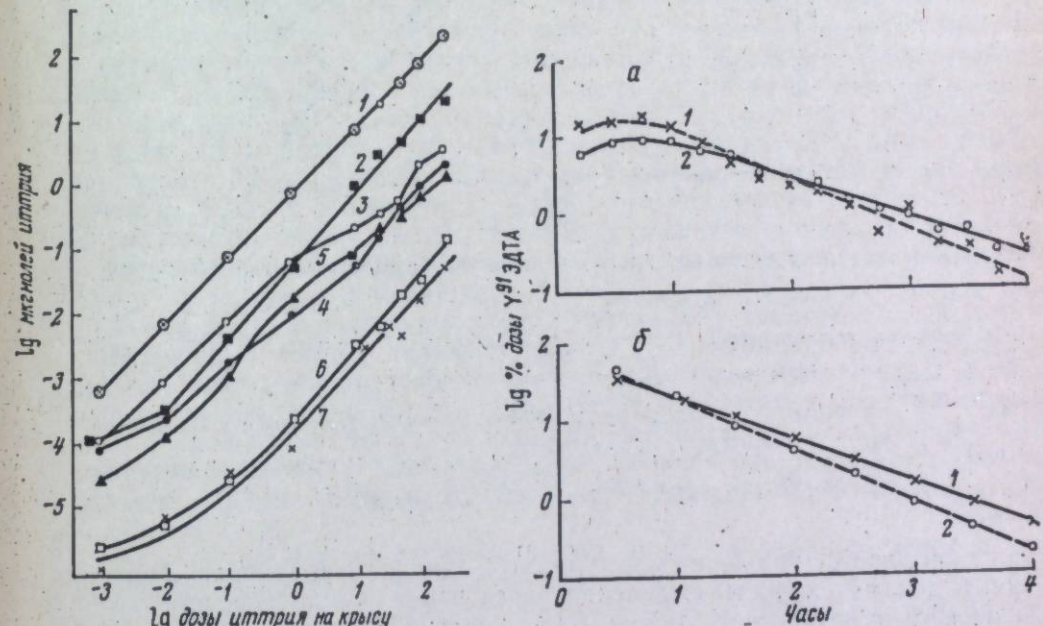


Рис. 1. Содержание иттрия в тканях и выделениях через 24 ч после внутривенного введения возрастающих доз $\text{Y}^{91}\text{-ЭДТА}$:

1 — моча, 2 — мягкие ткани тушки, 3 — скелет, 4 — печень, 5 — почки, 6 — селезенка, 7 — кровь.

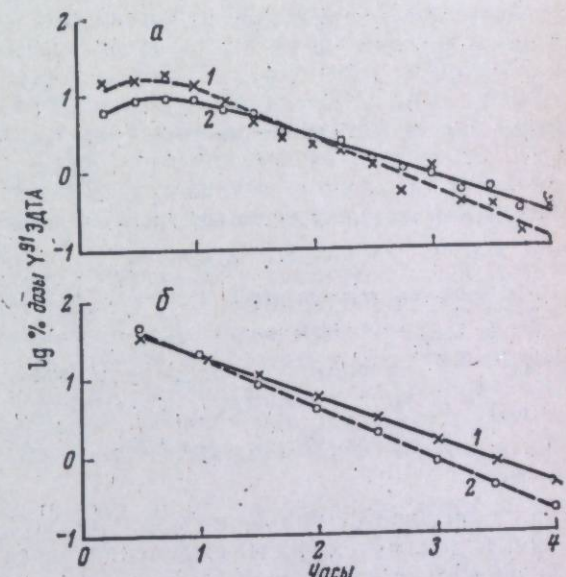


Рис. 2. Динамика выделения $\text{Y}^{91}\text{-ЭДТА}$ с мочой после внутривенной инъекции комплекса:

$$a: 1 - 0,01 \text{ мкгмоль}, A_t = 58,96e^{-1,482t} - 70,03e^{-3,625t}, T_{1/2} = 28,4 \text{ и } 11,4 \text{ мин}; 2 - 0,001 \text{ мкгмоль}, A_t = 29,91e^{-1,182t} - 36,98e^{-3,126t}, T_{1/2} = 35,1 \text{ и } 13,3 \text{ мин};$$

$$b: 1 - 0,1 - 100 \text{ мкгмоль}, A_t = 78,1e^{-1,33t}, T_{1/2} = 31,2 \text{ мин}; 2 - 250 \text{ мкгмоль}, A_t = 97,0e^{-1,562t}, T_{1/2} = 26,5 \text{ мин}.$$

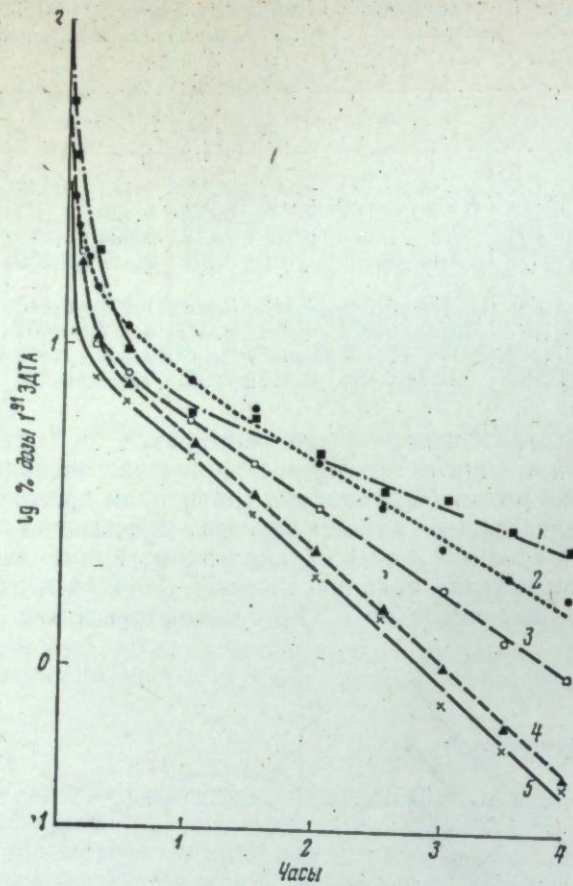


Рис. 3. Клиренс крови после внутривенной инъекции возрастающих доз $\text{Y}^{91}\text{-ЭДТА}$.
Дозы, мкгмоль: 1 — 0.00001, $A_t = 51.79e^{-17.8t} + 39.15e^{-5.809t} + 9.068e^{-0.344t}$, $T_{1/2} = 2.3$; 7,2 мин; 2,01 час, соответственно; 2 — 0,001, $A_t = 78.80e^{-21.65t} + 8.32e^{-3.322t} + 12.88e^{-0.525t}$, $T_{1/2} = 1.9$; 12,5 мин; 1,32 ч, соответственно; 3 — 0,01 — 0,1, $A_t = 87.02e^{-22.84t} + 1.44e^{-0.779t} + 10.81e^{-0.651t}$, $T_{1/2} = 1.8$; 53,3 и 63,8 мин, соответственно; 4 — 1,0 — 100, $A_t = 85.33e^{-24.84t} + 2.94e^{-1.876t} + 11.73e^{-0.785t}$, $T_{1/2} = 1.8$; 21,1; 52,9 мин, соответственно; 5 — 250, $A_t = 91.20e^{-34.197t} + 5.531e^{-1.009t} + 4.70e^{-0.59t}$, $T_{1/2} = 1.2$; 41,2; 77 мин, соответственно.

также описывается уравнением для прямой, однако по сравнению с более низкими дозами скорость выделения через почки комплекса при этой дозе несколько возрастает. Найдены достоверные различия как в величине средних временных значений выделения ($p=0,0002$), так и в углах наклона прямых ($p=0,0002$).

Суточное выделение иттрия с мочой в пределах доз от 0,1 до 250 мкгмоль, выраженное в весовых количествах, возрастает прямо пропорционально введенной дозе хелата (см. рис. 1). Клиренс крови для всех изученных доз в течение первых 4 ч после инъекции комплексов удовлетворительно описывается трехэкспоненциальным уравнением (рис. 3). Содержание $\text{Y}^{91}\text{-ЭДТА}$ в крови при $t=0$ определяли экстраполяцией из точек 5 и 15 мин после инъекции. Основная фракция излучателя (81—91%) выбывает из крови с $T_{1/2}=1,1\text{--}1,8$ мин, что можно объяснить разведением его в межтканевой жидкости. Вторая фракция, составляющая 1,35—5,53% от введенной дозы излучателя, выбывает

значительно медленнее ($T_{1/2}=21,1\text{--}53,3$ мин) и самая медленная фракция (4,7—11,13%), характеризующая относительно прочную фиксацию излучателя в крови, имеет период полуыведения от 53 до 77 мин. Как видно из этих данных, клиренс крови изменяется в зависимости от дозы инъецированного комплекса. Наиболее быстро происходит очищение крови при дозе в 250 мкгмоль, что совпадает с данными по выбыванию $\text{Y}^{91}\text{-ЭДТА}$ через почки. С уменьшением дозы вводимого комплекса замедляется клиренс крови.

Заключение

Проведенные исследования показали, что степень распада хелатного соединения $\text{Y}^{91}\text{-ЭДТА}$, характер распределения оставшейся в организме доли излучателя, а также динамика выбывания иттрия-91 из крови и через почки определяются дозой инъецированного комплекса. В наибольшей степени подвергается расщеплению комплекс $\text{Y}^{91}\text{-ЭДТА}$ в дозе 10^{-5} мкгмоль на крысу. Характер распределения оставшейся в организме доли излучателя приближается к ретикуло-эндотелиальному, поскольку отмечается повышение накопления радионизотопа в печени и селезенке и снижение — в скелете. Однако трудно представить, чтобы количество металла в $9 \cdot 10^{-6}$ мкгмоль, освобождающееся при распаде комплекса, распределялось в организме аналогично 10 мкгмолям иттрия при внутривенном введении [1, 2]. Это требует экспериментального изучения.

С увеличением дозы инкорпорируемого комплекса возрастает уровень выделения его с мочой и снижается, соответственно, отложение в органах и тканях, а также изменяется и характер распределения излучателя. Отложение излучателя в печени и селезенке снижается, что указывает на то, что распад комплекса происходит в организме не сразу после инъекции, а постепенно, иначе трудно объяснить, почему при дозе в 50 или 100 мкгмоль, распадающихся за сутки в организме почти на 20% (что в переводе на весовые количества составляет 10 и 20 мкгмоль на крысу соответственно), отложение в органах ретикуло-эндотелиальной системы не возрастает, а, наоборот, падает по сравнению с более низкими дозами.

Более того, снижение отложения иттрия-91 в скелете и возрастание накопления в мягких тканях туши с увеличением дозы инкорпорируемого комплекса дает возможность сделать еще одно предположение о том, что освобождающийся при распаде комплекса металл находится не в ионной форме (в этом случае наблюдалось бы повышенное отложение излучателя в костной ткани), а, возможно, в виде каких-то мелкодисперсных комплексов, обеспечивающих перенос катионов и в мягкие ткани туши.

Анализ данных по выбыванию иттрия-91 из крови и через почки позволяет сделать вывод о том, что с увеличением инкорпорируемой дозы комплекса возрастает скорость очищения крови от излучателя и выбывания $\text{Y}^{91}\text{-ЭДТА}$ с мочой.

ЛИТЕРАТУРА

1. Д. И. Семенов. Сборник работ лаборатории биофизики. Труды Ин-та биологии Урал. фил. АН СССР, 1957, вып. 9, стр. 4—19.
2. Д. И. Семенов, И. П. Трегубенко. Комплексы. Свердловск, 1958, 75—88. (Урал. фил. АН СССР).
3. Е. И. Сухачева. Влияние катионов цинка, марганца и железа на выделение ЭДТА через почки. Статья в настоящем сборнике, стр. 57.
4. С. С. Лекохмажер, Е. И. Сухачева. Вопросы радиационной медицины. Свердловск, 1970, 16—17.
5. Н. М. Любашевский. Синтез, изучение свойств и применение детоксирующих соединений. Свердловск, 1971, 118—120.
6. V. Wolf, A. Seidel, M. Vladá z. Atomkernenergie, 1970, 15, 141—146.

Б. В. ПОПОВ, В. С. БЕЗЕЛЬ

МАТЕМАТИЧЕСКАЯ МОДЕЛЬ ДЕЙСТВИЯ КОМПЛЕКСОНА

Актуальной задачей комплексонотерапии является изучение механизма действия комплексонов на инкорпорированные токсические металлы. Значительные трудности в ее решении связаны со сложностью взаимоотношений, в которые вступает комплексон в живом организме, и с нестационарностью этих процессов. Кроме того, сами токсические металлы «содержатся в тканях организма в разных состояниях, неодинаково доступных для комплексона. Причем доступность эта может быть как гистологического (микролокализация), так и физико-химического порядка» [1].

Определенный вклад в решение данной проблемы могут внести методы математического моделирования, позволяя выделить из сложной картины наиболее существенные моменты и оценить степень влияния каждого из них на изучаемый процесс. В настоящей работе сделана попытка создать математическую модель действия комплексона, учитывающую динамику изменения концентраций комплексона и токсического металла в условиях живого организма. Для этого использованы принципы построения и анализа многокамерных моделей [2, 3].

Построение модели

Будем считать, что инкорпорированный токсический металл находится в организме в двух формах: одна (x_1) выводится из организма за счет естественных механизмов экскреции, а другая (x_2) — лишь путем перехода в первую форму. Назовем их лабильной и депонированной формами. Не связывая эти формы с конкретным физико-химическим состоянием и местом локализации металла, их можно представить в виде отдельных камер, связанных между собой (рис. 1). Построенная таким образом двухкамерная модель процессов естественного обмена токсического металла в организме описывается системой обыкновенных дифференциальных уравнений с постоянными коэффициентами:

$$\begin{aligned} \dot{x}_1 &= -(K_{12} + K_{13})x_1 + K_{21}x_2, \\ \dot{x}_2 &= -K_{12}x_1 - K_{21}x_2, \\ \dot{x}_3 &= -K_{13}x_1, \end{aligned} \quad (1)$$

где \dot{x}_1 , \dot{x}_2 и \dot{x}_3 — концентрации (в отн. ед.) токсического металла в лабильной и депонированной формах и в системе выведения, соответственно (точка над переменной обозначает производную по времени);

K_{ij} — коммуникационные константы скорости перехода вещества из i -й камеры в j -ю ($\frac{1}{\text{сутки}}$).

Поскольку комплексон проникает прежде всего в жидкости организма [4], можно предположить его действие на ту часть инкорпорированного металла, которая выводится из организма естественным образом, т. е. на металл в лабильной форме. Подобных взглядов придерживаются и другие исследователи [5]. Следовательно, доступный комплексону металл включает в себя и излучатель, выводящийся естественным образом.

Если теперь принять, что доступной для комплексона является только лабильная форма, то можно считать, что комплексон реагирует лишь с металлом камеры x_1 . Предположив, кроме того, что комплексон не влияет на коммуникационные константы, его действие на инкорпорированный токсический металл можно представить четырехкамерной математической моделью (рис. 2), т. е. добавить еще две камеры, обозначающие связанный с металлом и свободный комплексон. Концентрация вещества в них x_4 и x_5 , соответственно.

Будем считать, что скорость образования комплекса металл — комплексон пропорциональна произведению концентраций металла (x_1) и комплексона (x_5) на коэффициент пропорциональности k :

$$\dot{x}_4 = kx_1x_5. \quad (2)$$

Процесс образования комплекса в условиях живого организма зависит от ряда факторов: константы скорости химической реакции (K), константы устойчивости комплекса ($K_{уст}$), дозы комплексона (D_k), конкуренции за комплексон со стороны эндогенных металлов (ЭМ) и т. д.:

$$k = f(K, K_{уст}, D_k, ЭМ, \dots). \quad (3)$$

Следовательно, данный коэффициент является некоторой обобщенной характеристикой рассматриваемого процесса.

Система уравнений, описывающая модель, в которой учтено изменение концентраций как токсического металла, так и комплексона, имеет следующий вид:

$$\begin{aligned} \dot{x}_1 &= -(K_{12} + K_{13})x_1 + K_{21}x_2 - kx_1x_5, \\ \dot{x}_2 &= -K_{12}x_1 - K_{21}x_2, \\ \dot{x}_3 &= -K_{13}x_1 + K_{43}x_4, \\ \dot{x}_4 &= -K_{43}x_4 + kx_1x_5, \\ \dot{x}_5 &= -K_{53}x_5 - kx_1x_5. \end{aligned} \quad (4)$$

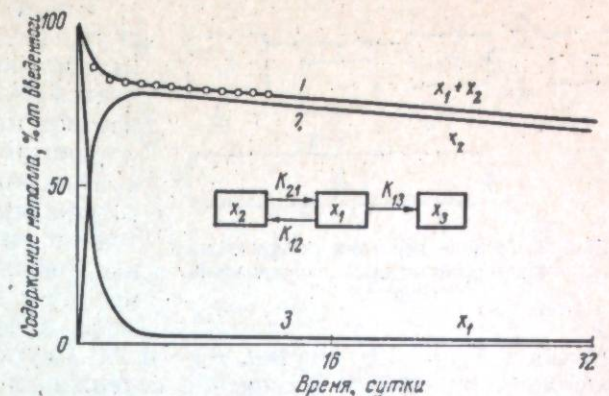


Рис. 1. Модель метаболизма токсического металла.
1 — экспериментальные данные [5]; 2, 3 — расчетные кривые.

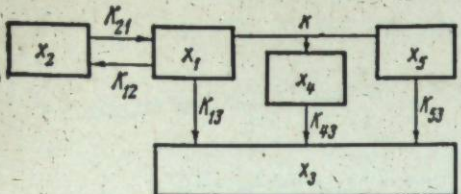


Рис. 2. Модель действия комплексона на инкорпорированный токсический металл.

констант: $K_{13}=1,127$ 1/сутки, $K_{31}=0,030$ 1/сутки, $K_{12}=0,248$ 1/сутки, что позволило рассчитать изменение содержания радиоактивного металла в камерах x_1 и x_2 (см. рис. 1). Примем константу скорости выведения комплекса металл-комплексон равной константе скорости выведения самого комплексона. Комплексоны ЭДТА и ДТПА имеют период полувыведения $T_{1/2} \approx 1$ час [4], поэтому $K_{43}=K_{53}=16,6$ 1/сутки. Неопределенным остается лишь коэффициент k .

При одинаковых условиях проведения эксперимента в фиксированном типе металла и комплексона коэффициент k , как это следует из выражения (3), будет являться функцией только дозы комплексона, т. е. $k=f(D_k)$. Поэтому, задавая различные значения этого коэффициента, можно получить набор решений системы (4) при различных дозах комплексона. Интегрирование системы производилось на ЭЦВМ с использованием усовершенствованного метода Эйлера.

Анализ модели

Важнейшей характеристикой комплексона является его эффективность. Поскольку не существует общепринятого определения этого понятия, то в данной работе под эффективностью действия комплексона E_k будем понимать количество токсического металла, выведенное в течение суток после применения комплексона. Построенная модель позволяет рассчитать зависимость эффективности от дозы: $E_k=f(D_k)$ (рис. 3) и от срока применения комплексона: $E_k=f(t)$ (рис. 4). Дозовая зависимость носит нелинейный характер и имеет тенденцию к насыщению, что позволяет оценить предельное значение эффективности E_{\max} при условии $k \rightarrow \infty$. В этом случае комплексон выведет всю доступную часть металла x_1 и весь металл, перешедший в течение суток из депонированной части в доступную:

$$E_{\max} = x_1(t) + \int_t^{t+1} K_{21}x_2(\tau) d\tau. \quad (5)$$

Оба слагаемых равенства (5) определяются исключительно процессами метаболизма токсического металла. Сле-

довательно, кривая $E_{\max}(t)$ служит предельной оценкой эффективности для любого комплексона.

На рис. 4 приведена также кривая содержания металла в камере x_1 к моменту инъекции комплексона. Оказалось, что суточное выведение металла под действием комплексона может превышать величину доступной части. Это превышение обеспечивается металлом, переходящим по естественным коммуникациям из депонированной части (x_2) в доступную (x_1) в период действия комплексона. На рис. 4 нанесены также экспериментальные точки, соответствующие суточному выведению радиоиттерия после внутривенной инъекции комплексонов Са-ЭДТА и Са-ДТПА в дозе 100 и 200 мкгмолей, приведенные в работах [5—7]. Наблюдаемое в опыте уменьшение эффективности действия комплексонов удовлетворительно согласуется с ходом расчетных кривых, а эффективность Са-ДТПА оказывается близкой к предельной.

Чтобы установить, какую роль играет изменение периода полувыведения комплексона из организма, обратимся к рис. 5. На нем изображены графики изменения содержания токсического металла в доступной части (x_1) под влиянием инъекции комплексона. Кривые рис. 5, а соответствуют различным значениям коэффициента k , т. е. различным дозам, при постоянном периоде полувыведения, а кривые рис. 5, б — различным периодам полувыведения при неизмененном значении коэффициента k , т. е. при постоянной дозе.

Из сопоставления их видно, что несмотря на некоторое различие в форме кривых, замедление выведения комплексона из организма оказывает на эффективность препарата такое же действие, как и увеличение дозы.

В заключение следует отметить, что математическая модель, позволяя объяснить некоторые особенности действия комплексона, все же не охватывает их полностью, в частности модель не описывает эффект последействия.

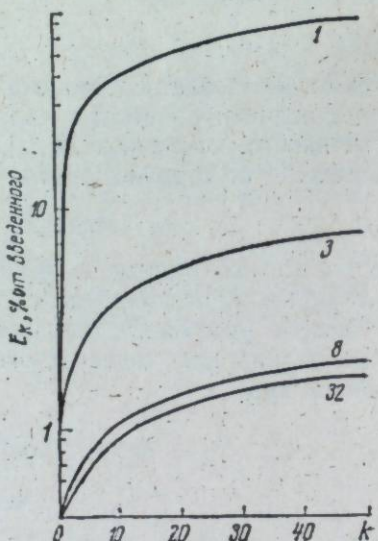


Рис. 3. Зависимость эффективности комплексона E_k от дозы. Цифры у кривых — срок введения комплексона (сутки).

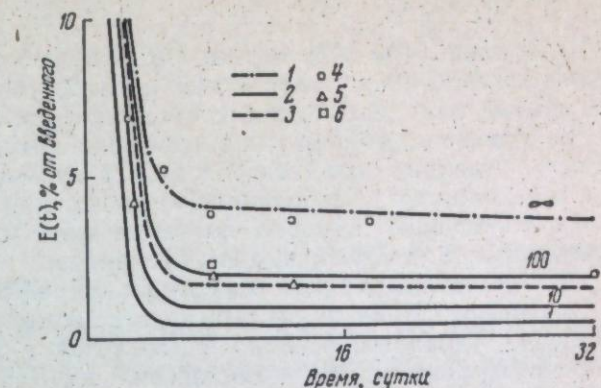


Рис. 4. Зависимость эффективности комплексона E_k от срока его применения.

1 — кривая максимальной эффективности E_{\max} ; 2 — расчетные кривые при разных значениях k (цифры на кривых); 3 — кривая содержания металла в камере x_1 к моменту инъекции комплексона; 4—6 — экспериментальные точки из работ [5—7]; 4 — 200 мкгмоль Са-ЭДТА [5], 5 — 200 мкгмоль Са-ЭДТА [6], 6 — 100 мкгмоль Са-ЭДТА [7].

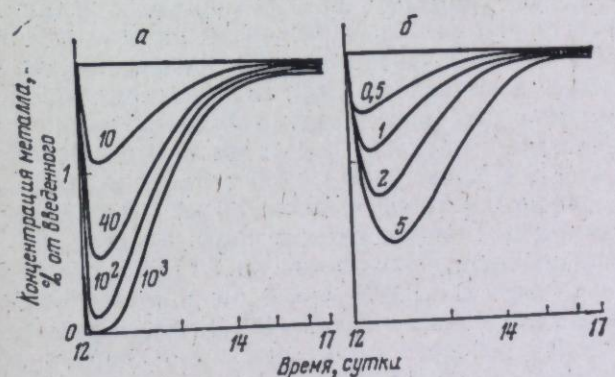


Рис. 5. Изменение содержания металла в камере x_1 под действием комплексона.
а — $T_{1/2} = \text{const}$ (14), цифры у кривых — значение коэффициента k (отн. ед.); б — $k = \text{const}$ (10), цифры у кривых — периоды полувыведения, ч.

Выводы

1. Рассмотрена математическая модель действия комплексона на инкорпорированный токсический металл, учитывающая изменение концентраций комплексона и токсического металла в животном организме.

2. Показано, что суточное выведение токсического металла под влиянием инъекции комплексона может превышать величину доступной доли металла из-за пополнения ее из депонированной части.

3. Увеличение периода полуыведения комплексона из организма эквивалентно увеличению дозы препарата.

4. Рассчитана кривая максимальной эффективности комплексонов.

5. Наблюдаемое в экспериментах изменение эффективности комплексона удовлетворительно согласуется с ходом расчетных кривых, причем эффективность комплексона Са-ДТПА оказалась близкой к максимальной.

ЛИТЕРАТУРА

1. И. П. Трегубенко, Д. И. Семенов, Е. И. Сухачева, Г. А. Мельшикова, М. Н. Белова. Теоретические вопросы минерального обмена. Труды Ин-та экологии растений и животных Урал. фил. АН СССР, 1970, вып. 68, 87.
2. Д. П. Осанов, И. А. Лихтарев, Г. Б. Родзиневский. Дозиметрия инкорпорированных радиоактивных веществ. М., Атомиздат, 1970.
3. C. W. Sheppard. Basic principles of tracer method. N.Y.—London, 1962.
4. A. Catsch. Dekorporierung radioaktiver und stabiller Metallionen. München, 1968.
5. И. П. Трегубенко, Д. И. Семенов, Г. А. Мельшикова, М. Н. Белова. Теоретические вопросы минерального обмена. Труды Ин-та экологии растений и животных Урал. фил. АН СССР, 1970, вып. 68, 95.
6. Д. И. Семенов, И. П. Трегубенко. Теоретические вопросы минерального обмена. М., «Наука», 1966, 64.
7. И. П. Трегубенко, В. Г. Яшунский, Д. И. Семенов. Биохимия, 1961, 20, 1, 177.

1974

АКАДЕМИЯ НАУК СССР - УРАЛЬСКИЙ НАУЧНЫЙ ЦЕНТР
МЕТАБОЛИЗМ РАДИОИЗОТОПОВ В ЖИВОТНОМ ОРГАНИЗМЕ

Т. П. АРХИПОВА, Е. И. СУХАЧЕВА

ПОПЫТКА УСКОРЕНИЯ ВЫВЕДЕНИЯ ИТРИЯ-91 ИЗ ОРГАНИЗМА ПУТЕМ КОМБИНИРОВАННОГО ПРИМЕНЕНИЯ ЭДТА И ДИУРЕТИКОВ

При исследовании влияния ряда диуретиков (ДОКСА, гидрокортизон, фонурит, новурит и осмотический диурез) на выделение цезия-134 из организма установлено, что самостоятельно ни один из препаратов не оказывает заметного влияния на поведение излучателя, а при сочетании осмотического диуреза, гидрокортизона и фонуриста выведение радиоцезия с мочой заметно повышается¹. Однако введение диуретиков совместно с комплексонами через несколько минут после инкорпорации иттрия-91, церия-144 и плутония-239 не только не повышает эффективности комплексонов, но и снижает выделение излучателей по сравнению с действием одного ЭДТА². Влияние диуретиков на динамику выделения радиометаллов и хелатов из организма ранее не изучалось. С этой целью мы исследовали влияние диуретиков на динамику выделения иттрия-91 Са-С¹⁴ ЭДТА, а также комбинированное воздействие их с ЭДТА на выведение иттрия-91 из организма.

Материал и методика

Опыты проводили на белых лабораторных крысах-самках (средний вес 275±5,3 г), которые в течение 18 ч до начала и во время опыта не получали воды и пищи.

В первой и второй сериях опытов изучали влияние диуретиков (новурита и дегидратина) на динамику выделения Y⁹¹Cl₃ и Ca-C¹⁴ ЭДТА. Меченный комплексон (20 мкмоль) или иттрий-91 (3 мкк) инъецировали в отпрепарированную хвостовую вену через 2 ч после введения новурита или дегидратина, так как в предварительных экспериментах установлено, что более высокий диурез у крыс под влиянием дегидратина и новурита наблюдается в этот срок. Новурит инъецировали внутримышечно по 1,75 мг на крысу в 0,5 мл 0,9% NaCl, а 0,4 мг дегидратина вводили перорально в 0,5 мл физиологического раствора.

В третьей серии опытов изучали комбинированное воздействие диуретиков и ЭДТА на динамику выделения радиоитрия. Крысам внутривенно вводили по 3 мкк Y⁹¹Cl₃, а через 2—3 мин также внутривенно инъецировали по 20 мкмоль Ca-C¹⁴ ЭДТА. Дозы и методика введения диуретиков были идентичны с первой серией опытов. Сразу же после инъекции в мочевой пузырь крысы вставляли металлический катетер и

¹ Ю. Ф. Коваль, В. М. Кондрашев. Радиобиология, 1969, т. 9, вып. 1, стр. 94.

² И. П. Трегубенко, Д. И. Семенов. Обмен радиоизотопов в животном организме. Труды Ин-та биологии Урал. фил. АН СССР, 1966, вып. 46, стр. 147.

Таблица 1

Распределение иттрия-91 в организме крыс под влиянием диуретиков через 24 ч после внутривенного введения, % баланса

| Ткани и выделения | Контроль | Новурит | Дегидратин |
|-------------------------------|----------------|--|----------------|
| | | за 2 ч до внутривенного введения иттрия-91 | |
| Печень | 18,016 ± 0,705 | 19,178 ± 1,830 | 13,790 ± 0,576 |
| Почки | 7,087 ± 2,081 | 6,676 ± 2,659 | 4,808 ± 0,944 |
| Селезенка | 0,195 ± 0,039 | 0,131 ± 0,023 | 0,315 ± 0,060 |
| Скелет | 34,793 ± 1,223 | 40,886 ± 1,790 | 41,020 ± 2,433 |
| Мягкие ткани | 31,119 ± 1,282 | 20,542 ± 1,258 | 26,662 ± 1,177 |
| Кал | 2,092 ± 1,028 | 1,085 ± 0,722 | 0,864 ± 0,182 |
| Моча (кумулятивное выделение) | | | |
| за 1 ч | 0,489 ± 0,068 | 2,357 ± 1,067 | 2,535 ± 0,200 |
| 2 ч | 2,528 ± 0,667 | 5,945 ± 1,659 | 4,958 ± 0,382 |
| 3 ч | 4,105 ± 0,969 | 8,085 ± 1,929 | 6,170 ± 0,544 |
| 4 ч | 5,118 ± 1,004 | 9,184 ± 2,016 | 7,111 ± 0,710 |
| 5 ч | 5,791 ± 1,076 | 9,917 ± 2,058 | 7,732 ± 0,835 |
| 24 ч | 6,698 ± 0,537 | 11,502 ± 2,145 | 12,540 ± 0,291 |

Примечание. В каждой группе 3 крысы; баланс составлял 104,27 ± 4,39%.

крысу укрепляли в специальном станке. Отбор порций мочи проводили через каждые 15 мин в течение 5 ч, после чего крыс помещали в обменные клетки и через 24 ч забивали. Подготовку проб для определения содержания радиоактивности в органах и тканях проводили по принятой в лаборатории методике.

Порции мочи, собранные через каждые 15 мин, доводили до определенного объема и пробу в 1 мл наносили на стандартные алюминиевые тарелочки.

Определение радиоактивности в пробах проводили на торцевом счетчике Т-25 БФЛ на установке «Волна». Содержание излучателя с учетом поправки на самопоглощение выражали в процентах от введенного количества радиоактивности.

Результаты и обсуждение

Как видно из полученных данных (табл. 1), новурит лишь незначительно влияет на распределение и выделение радиоактивного иттрия в организме. Наблюдалось снижение отложения иттрия-91 в остатке туши ($p=0,004$) и повышенное содержание излучателя в скелете ($p=0,05$). Некоторое увеличение уровня выделения радиониметалла с мочой во все сроки и изменения в величинах депонирования его в других органах были статистически неразличимы по сравнению с контролем.

Выделение иттрия-91 под влиянием дегидратина несколько ускоряется в первые два часа после инъекции излучателя (см. табл. 1), в последующие сроки уровень экскреции радиониметалла не отличается от контрольного. Суммарное выбывание радиониметалла у крыс на фоне дегидратина за сутки в два раза превышает показатели контроля ($p=0,00085$), по-видимому, в результате снижения реабсорбции излучателя в почечных канальцах. В соответствии с этим достоверно снижается отложение радиониметала в печени и мягких тканях, а в остальных органах остается на уровне контроля.

Полученные данные по исследованию влияния диуретиков на динамику выбывания Ca-C^{14} ЭДТА из организма свидетельствуют о том,

Таблица 2

Динамика выделения Ca-C^{14} ЭДТА из организма крыс* под влиянием диуретиков через почки, % от введенной дозы

| Пробы мочи через | 1** | 2 | 3 | P | | |
|----------------------|----------------|----------------|----------------|--------|--------|-------|
| | | | | 1 и 2 | 1 и 3 | 2 и 3 |
| 15 мин | 6,860 ± 2,990 | 18,307 ± 2,894 | 13,218 ± 6,625 | 0,075 | 0,62 | 0,47 |
| 30 мин | 8,560 ± 4,660 | 27,430 ± 2,124 | 19,650 ± 5,785 | 0,007 | 0,34 | 0,26 |
| 45 мин | 8,719 ± 1,100 | 14,828 ± 1,128 | 23,550 ± 4,411 | 0,005 | 0,02 | 0,055 |
| 1 ч | 14,601 ± 8,060 | 9,726 ± 1,248 | 13,763 ± 3,065 | 0,52 | 0,96 | 0,22 |
| 1 ч 15 мин | 12,153 ± 4,459 | 7,249 ± 1,048 | 9,056 ± 2,134 | 0,20 | 0,52 | 0,46 |
| 1 ч 30 мин | 11,733 ± 3,398 | 4,817 ± 0,708 | 4,085 ± 0,854 | 0,15 | 0,055 | 0,59 |
| 1 ч 45 мин | 9,741 ± 1,128 | 5,273 ± 1,334 | 3,476 ± 0,868 | 0,15 | 0,003 | 0,30 |
| 2 ч | 9,376 ± 1,260 | 2,734 ± 0,987 | 2,649 ± 0,608 | 0,003 | 0,0027 | 0,94 |
| 2 ч 15 мин | 7,163 ± 0,670 | 1,834 ± 0,530 | 1,254 ± 0,176 | 0,0005 | 0,0002 | 0,45 |
| 2 ч 30 мин | 3,696 ± 1,176 | 1,095 ± 0,203 | 1,661 ± 0,620 | 0,045 | 0,18 | 0,38 |
| 2 ч 45 мин | 3,555 ± 0,768 | 0,754 ± 0,283 | 0,965 ± 0,355 | 0,014 | 0,024 | 0,67 |
| 3 ч | 2,280 ± 0,231 | 0,371 ± 0,058 | 0,643 ± 0,261 | 0,0002 | 0,0027 | 0,35 |
| 3 ч 30 мин | 3,743 ± 0,875 | 0,643 ± 0,211 | 0,924 ± 0,355 | 0,005 | 0,025 | 0,47 |
| 4 ч | 2,096 ± 0,338 | 0,314 ± 0,091 | 0,500 ± 0,169 | 0,0008 | 0,005 | 0,32 |
| 24 ч | 5,978 ± 0,768 | 1,552 ± 0,142 | 1,712 ± 0,171 | 0,0003 | 0,001 | 0,91 |

* В каждой группе 3 крысы

** 1 — Ca-C^{14} ЭДТА, 2 — новурит + Ca-C^{14} ЭДТА, 3 — дегидратин + Ca-C^{14} ЭДТА.

что выведение комплексона через почки на фоне диуретических препаратов ускоряется (табл. 2, рис. 1). Различия между контрольными и опытными группами крыс в уровне выделения Ca-C^{14} ЭДТА наиболее резко выражены в первые 45 мин после инъекции. За этот срок у контрольных крыс выделилось всего 24,1%, а на фоне новурита и дегидратина — 60,6 и 56,4%, соответственно. В последующие сроки скорость и величина выделения комплексона на фоне новурита и дегидратина значительно снижаются и с 45 мин до 2 ч из организма выводится всего 29,3 и 33,0%, соответственно, в то время как у контрольных животных в этот промежуток времени заметно возрастает уровень экскреции хелата (57,6%), в результате чего к 4-му часу происходит выравнивание кумулятивного выделения ЭДТА (93,76; 95,39 и 92,81% соответственно). Некоторое ускорение выделения комплексона в течение первого часа и повышенное Y^{91} за сутки на фоне диуретиков позволяло ожидать повышения эффективности ЭДТА в выведении Y^{91} в

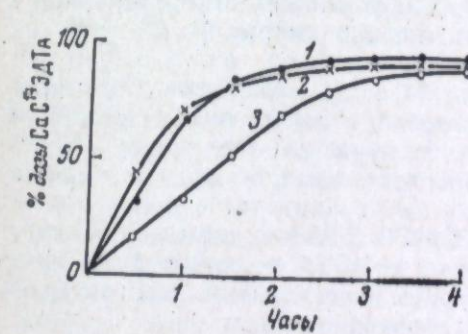


Рис. 1. Кумулятивное выделение Ca-C^{14} ЭДТА под влиянием новурита и дегидратина.

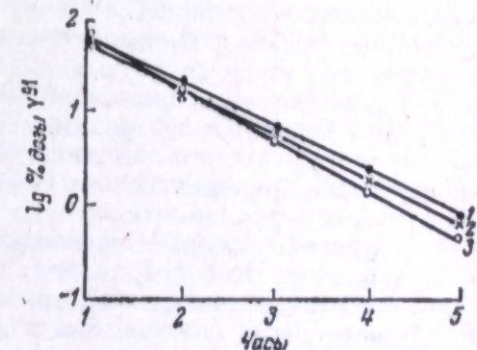


Рис. 2. Динамика выделения иттрия-91 при воздействии ЭДТА и диуретиков. 1 — $\text{Y}^{91} + \text{Ca-ЭДТА}$ и дегидратин, 2 — $\text{Y}^{91} + \text{Ca-ЭДТА}$ и новурит, 3 — $\text{Y}^{91} + \text{Ca-ЭДТА}$.

Таблица 3

Распределение иттрия-91 в организме крыс под влиянием комбинированного воздействия диуретиков и Са-С¹⁴ ЭДТА через 24 ч после внутривенного введения, % баланса

1974

АКАДЕМИЯ НАУК СССР · УРАЛЬСКИЙ НАУЧНЫЙ ЦЕНТР
МЕТАБОЛИЗМ РАДИОИЗОТОПОВ В ЖИВОТНОМ ОРГАНІЗМЕ

| Ткани и выделения | Контроль | Новурит | Дегидратин |
|-------------------------------|--------------|----------------------------------|--------------|
| | | за 2 ч до внутривенного введения | |
| Печень | 3,845±0,843 | 3,990±0,934 | 3,273±0,415 |
| Почки | 2,015±0,220 | 2,740±0,631 | 1,391±0,475 |
| Селезенка | 0,060±0,012 | 0,057±0,024 | 0,140±0,035 |
| Скелет | 8,250±0,770 | 10,120±0,702 | 9,173±0,132 |
| Мягкие ткани | 4,610±0,870 | 4,201±0,750 | 4,825±1,027 |
| Кал | 0,418±0,087 | 0,930±0,413 | 0,656±0,238 |
| Моча (кумулятивное выделение) | | | |
| за 1 ч | 51,509±6,370 | 41,099±5,843 | 47,717±5,124 |
| 2 ч | 72,905±3,496 | 67,292±1,313 | 67,965±4,605 |
| 3 ч | 77,633±2,541 | 73,805±0,598 | 76,196±2,547 |
| 4 ч | 79,272±2,310 | 75,709±0,739 | 78,907±2,051 |
| 5 ч | 79,816±2,251 | 76,440±0,790 | 79,495±1,948 |
| 24 ч | 80,803±2,156 | 79,613±0,908 | 80,541±2,057 |

Примечание. В каждой группе 3 крысы; баланс 101,421±1,233%.

течение первого часа при комбинированном применении его с дегидратином и новуритом.

Однако выделение радиометалла через почки не только не ускорялось, а, наоборот, несколько замедлялось по сравнению с контролем (табл. 3), особенно заметным было отставание выделения иттрия-91 при комбинированном применении новурита и ЭДТА. Суммарное же выделение иттрия-91 за сутки выравнивалось и составляло в среднем 80% во всех вариантах опыта. Регрессионный анализ динамики выделения радиоактивного иттрия под влиянием Са-С¹⁴ ЭДТА и при комбинированном воздействии комплексона и диуретиков выявил отсутствие различий показателей, характеризующих этот процесс (рис. 2). Распределение излучателя по органам и тканям, а также выделение его через кишечник не имело существенных различий во всех группах крыс (см. табл. 3).

Выводы

1. Изучали влияние диуретиков (новурита и дегидратина) на динамику выделения иттрия-91 и Са-С¹⁴ ЭДТА, а также комбинированное воздействие ЭДТА и диуретиков на экскрецию иттрия-91 с мочой из организма.

2. Величина выделения иттрия-91 за 24 ч при воздействии дегидратина увеличивается в два раза по сравнению с контролем и снижается отложение излучателя в печени и тушке. Новурит заметно влиял на уровень выделения радиоактивного иттрия из организма, но повышал накопление излучателя в скелете.

3. Диуретики ускоряют выделение Са-С¹⁴ ЭДТА в первые два часа после инъекции, однако при сочетании их с ЭДТА тормозят выделение иттрия-91, поэтому использование новурита и дегидратина для повышения эффективности комплексона нецелесообразно.

Е. И. СУХАЧЕВА

ВЛИЯНИЕ КАТИОНОВ ЦИНКА, МАРГАНЦА И ЖЕЛЕЗА НА ВЫДЕЛЕНИЕ ЭДТА ЧЕРЕЗ ПОЧКИ

Не только длительное применение комплексонов в повышенных дозах для лечения отравлений токсическими и радиоактивными металлами приводит к развитию нефротических поражений почек [1—6], но и однократное введение высоких доз хелатов снижает активность некоторых почечных ферментов и вызывает более или менее выраженные гистологические изменения канальцев почек [7—9]. Более того, однократные инъекции терапевтических доз ЭДТА вызывают резкое и длительное нарушение выделительной функции почек [10]. Наблюдаемые после инъекций комплексонов увеличение выделения с мочой цинка, марганца, кобальта, железа, меди и кадмия [11, 12], подавление активности почечных ферментов [7—9], а также повышение чувствительности капилляров к адреналину [13, 14] позволили сделать вывод о том, что механизм токсического действия хелатов заключается в связывании и удалении из организма функционально важных катионов [1, 2, 4, 5].

Предварительное введение в молекулу комплексона катионов цинка, кобальта и марганца значительно снижает токсичность ЭДТА и ДТПА [3, 4]. Однако известно, что комплексные соединения в зависимости от константы устойчивости в большей или меньшей степени распадаются в организме [15, 16], что должно привести к освобождению соответствующего катиона металла, а это может, в свою очередь, вызвать нарушение функций, особенно при значительных дозировках комплексона.

Поскольку с точки зрения терапии отравлений, т. е. ускорения выведения из организма токсических металлов и излучателей, важно подобрать такие условия, при которых выделение через почки образовавшегося комплекса было бы максимальным, мы и поставили перед собой задачу подобрать такие соотношения между комплексоном и вводимым в его молекулу физиологически важным катионом, при которых в наименьшей степени нарушился бы гомеостаз ответственных за нормальную функцию почек эндогенных катионов. Другими словами, подобрать такие условия, в которых выделение образовавшегося комплекса излучателя с хелатом через почки было бы максимальным. К решению этого вопроса можно было бы подойти разными путями: варьируя дозу мечёного комплекса, в котором соотношение металл — комплексон сохранялось бы всегда 1 : 1, варьируя количество металла, добавляемого к фиксированной дозе комплексона, и, наконец, предварительно вводя определенные дозы интересующего нас металла перед инъекцией комплексона. Исследованиями [17] показано отсутствие за-

влияния уровня выделения комплексона с мочой от вида закомплексованного иона (иттрий, цинк, кальций) и дозы хелата, поэтому нами изучались два последних варианта.

Методика исследований

Опыты проводили на самках белых лабораторных крыс линии «Вистар» (средний вес $310,3 \pm 28,1$ г). В первом варианте опытов животным внутривенно вводили комплексные соединения ЭДТА с цинком, марганцем и железом, меченные их радиоактивными изотопами. Доза комплексона составляла 20 мкгмолей, а количество металла в комплексе варьировало от 0,001 до 10 мкгмоль на крысу. Животных содержали в обменных клетках, через 24 ч их забивали под эфирным наркозом. Суточное выделение комплекса с мочой и содержание излучателей в тканях и кале определяли по общепринятой методике. Подсчет радиоактивности проб тканей и выделений проводили на установке «Волна» с сцинтилляционным датчиком УСД-1.

Во втором варианте комплекс железо-ЭДТА, меченный по радиоактивному изотопу, при соотношении металл — комплексон 0,55 : 20; 1,4 : 20 и 10 : 20 мкгмоль на крысу вводили в v. jugularis, крыс катетеризовали, фиксировали в специальных станках и отбирали почевые порции мочи в течение 4 ч, после чего их перемещали в обменные клетки и через 24 ч забивали. Для усиления диуреза животным за 30 мин до инъекции комплексов подкожно вводили по 5 мл 0,9%-ного раствора хлористого натрия и после инъекции — по 5 мл дистиллированной воды перорально. Содержание железа-59 в тканях и выделениях определяли как и в первом варианте опытов.

При изучении влияния предварительного введения растворимых солей железа (FeSO_4 и FeCl_3) на динамику выделения через почки ЭДТА, меченого по углероду-14 (в кальциевой форме), крысам в v. jugularis, вводили раствор железа, содержащий 0,034 мкгмоль, а через 2–3 мин — в эту же вену инъцировали по 20 мкгмоль комплексона в объеме 0,4 мл при pH 7,4. Отбирали порции мочи через каждые 30 мин в течение 4 ч, после чего крыс помещали в обменные клетки. Порции мочи разбавляли до определенного объема, пробы по 1 мл наносили на взвешенные стандартные тарелочки и высушивали под инфракрасной лампой до постоянного веса. Определение радиоактивности образцов мочи проводили торцевым счетчиком типа Т-25 БФЛ на установке «Волна». Результаты выражали в процентах от введенной дозы углерода-14 после внесения поправки на самопоглощение в слое на-вески.

Результаты исследований

Как показали эксперименты (табл. 1, рис. 1), выделение Zn^{65} -ЭДТА через почки мало зависит от изменения соотношений металл — комплексон. Лишь после инъекции комплекса с содержанием в нем стабильно-го цинка в 1 мкгмоль наблюдалось повышенное выделение комплекса через почки (78,15%; $p=0,002$). Одновременно достоверно снижалось отложение цинка-65 в почках и скелете. При дальнейшем повышении содержания металла во вводимом комплексе выделение цинка-65 через почки несколько уменьшается, вместе с тем намечается тенденция к повышению захвата излучателя тканями.

Выделение Mn^{54} -ЭДТА с мочой и отложение его в органах и тканях при соотношениях металл — комплексон 0,004 : 20; 0,1 : 20 и 1 : 20 стати-

стически не различимы ($p=0,07$ —0,74), лишь при соотношении 5 : 20 заметно возрастало выделение марганца-54 через почки до 55,36% и с калом — до 13,17% (табл. 2). Соответственно этому снижалась и величина депонирования излучателя тканями ($p=0,007$ —0,0002). Особенно заметно снижение отложения, по сравнению с более низкими дозами, в печени и почках, причем эта тенденция сохранялась и при повышении дозы марганца в комплексе до 10 мкгмоль, хотя выделение излучателя с мочой несколько уменьшилось.

Поведение радиоактивного железа в организме после инъекции комплекса Fe^{59} -ЭДТА с различными соотношениями металла — комплексон имело существенные отличия, заключающиеся прежде всего в строгой зависимости уровня выделения Fe^{59} -ЭДТА через почки от дозы металла в комплексе (табл. 3). С ростом содержания железа в инъцируемом комплексе значительно повышается и экскреция железа-59 с мочой (с 61,75% при соотношении 0,55 : 20 до 78,16% при соотношении 10 : 20). Параллельно этому снижается величина отложения излучателя во всех органах и тканях. Исключение представляют лишь почки и печень, в которых захват радиоактивного железа с увеличением дозы металла в комплексе заметно возрастает ($p=0,0002$ и 0,008, соответственно).

Полученные данные позволили установить, что экскреция комплексов Zn^{65} -ЭДТА, Mn^{54} -ЭДТА и, особенно, Fe^{59} -ЭДТА через почки в большей или меньшей степени изменяется в зависимости от содержания стабильного изотопа во вводимом растворе хелата. Причем для каждого металла оптимальное соотношение металла — комплексон, при котором наблюдается наиболее высокий уровень выделения излучателя с мочой, имеет разное количественное выражение. Так, для цинка-65 это соотношение равно 1 : 20, для марганца-54 5 : 20, а для железа-59 установлено прямо пропорциональное возрастание выделения излучателя с мочой с увеличением дозы металла во вводимом комплексе.

Исходя из этих данных, можно было бы предположить, что величина отложения излучателя в почках при оптимальных соотношениях металла — комплексон будет определять то количество металла, которое требуется для предотвращения токсического действия комплексонов. Однако, как видно из рис. 1, отложение излучателя в почках в зависимости от соотношения металла — комплексон не подчиняется какой-либо одной закономерности. На основании этих данных трудно сказать, какой из излученных металлов ответственен за нарушение функций почек, однако сопоставление количества выделившегося излучателя с мочой с введенной дозой металла в комплексе позволяет сделать некоторые предположения. Так, наиболее высокий уровень выделения цинка-65 с мочой был при соотношении 1 : 20, а для марганца-54 5 : 20. Отнести повышенное выделение излучателей с мочой за счет большого избытка ЭДТА, защищающего закомплексованный металл от

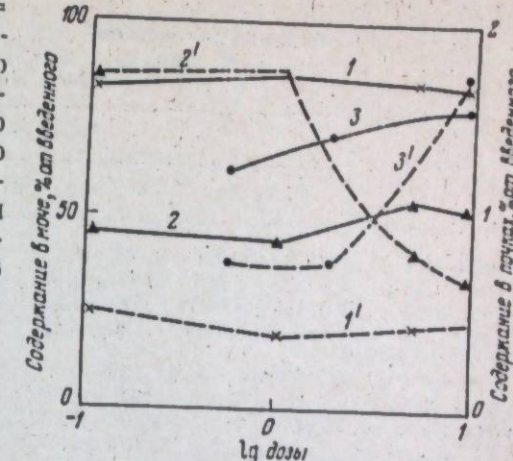


Рис. 1. Зависимость уровня выделения комплексов Mn^{54} -ЭДТА, Zn^{65} -ЭДТА и Fe^{59} -ЭДТА через почки от соотношения металла — комплексон в инъцируемом растворе.
1—3 — содержание в моче: 1 — Zn^{65} , 2 — Mn^{54} , 3 — Fe^{59} ; 1'—3' — содержание в почках, то же.

Таблица 1
Влияние соотношений металл — комплексон в комплексе Zn^{65} -ЭДТА
на отложение в тканях и выделение из организма цинка-65
через 24 ч после внутривенной инъекции, % баланса

| Органы и выделения | Соотношение металл — комплексон | | | | |
|----------------------------|---------------------------------|----------------|----------------|----------------|----------------|
| | 0,008:20 | 0,1:20 | 1:20 | 5:20 | 10:20 |
| Печень | 2,534 ± 0,239 | 1,989 ± 0,142 | 1,491 ± 0,272 | 1,639 ± 0,074 | 1,838 ± 0,089 |
| Почки | 0,572 ± 0,053 | 0,498 ± 0,027 | 0,402 ± 0,017 | 0,458 ± 0,014 | 0,469 ± 0,034 |
| Селезенка | 0,177 ± 0,006 | 0,118 ± 0,015 | 0,123 ± 0,001 | 0,118 ± 0,012 | 0,113 ± 0,008 |
| Скелет | 1,628 ± 0,146 | 1,780 ± 0,187 | 1,240 ± 0,105 | 0,944 ± 0,098 | 1,156 ± 0,100 |
| Мягкие ткани тушки | 13,935 ± 1,402 | 11,739 ± 0,975 | 9,017 ± 0,392 | 11,002 ± 0,541 | 11,168 ± 0,234 |
| Кровь | 0,625 ± 0,076 | 0,370 ± 0,046 | 0,352 ± 0,076 | 0,241 ± 0,066 | 0,784 ± 0,047 |
| Моча | 80,076 ± 2,016 | 83,976 ± 0,485 | 87,152 ± 0,526 | 85,445 ± 0,839 | 84,118 ± 0,603 |
| Кал | 1,078 ± 0,278 | 1,071 ± 0,323 | 0,576 ± 0,135 | 0,847 ± 0,487 | 1,138 ± 0,556 |

Примечание. В каждой группе 5 крыс; баланс составляет $101,034 \pm 1,156\%$.

Таблица 2
Влияние соотношений металл — комплексон в комплексе Mn^{54} -ЭДТА
на отложение в тканях и выделение из организма марганца-54
через 24 ч после внутривенной инъекции, % баланса

| Органы и выделения | Соотношение металл — комплексон | | | | |
|----------------------------|---------------------------------|----------------|----------------|----------------|----------------|
| | 0,004:20 | 0,1:20 | 1:20 | 5:20 | 10:20 |
| Печень | 10,364 ± 0,546 | 10,133 ± 0,616 | 9,085 ± 0,305 | 5,183 ± 0,343 | 4,582 ± 0,358 |
| Почки | 1,857 ± 0,074 | 1,732 ± 0,049 | 1,777 ± 0,080 | 0,822 ± 0,034 | 0,691 ± 0,045 |
| Селезенка | 0,248 ± 0,026 | 0,237 ± 0,014 | 0,157 ± 0,012 | 0,070 ± 0,007 | 0,054 ± 0,011 |
| Скелет | 2,680 ± 0,054 | 2,284 ± 0,191 | 2,408 ± 0,086 | 1,376 ± 0,210 | 1,412 ± 0,295 |
| Мягкие ткани тушки | 36,706 ± 1,388 | 35,254 ± 1,669 | 33,715 ± 2,114 | 24,034 ± 1,245 | 29,281 ± 2,025 |
| Кровь | 0,131 ± 0,012 | 0,043 ± 0,013 | 0,048 ± 0,015 | 0,052 ± 0,009 | 0,066 ± 0,019 |
| Моча | 43,362 ± 1,285 | 46,175 ± 1,873 | 44,349 ± 2,464 | 55,345 ± 1,840 | 53,035 ± 1,584 |
| Кал | 4,784 ± 0,854 | 4,185 ± 1,015 | 8,508 ± 1,645 | 13,169 ± 2,254 | 10,948 ± 2,224 |

Примечание. В каждой группе 5 крыс; баланс составляет $104,053 \pm 1,693\%$.

Таблица 3
Влияние соотношений металл — комплексон в комплексе Fe^{59} -ЭДТА
на отложение в тканях и выделение из организма железа-59
через 24 ч после внутривенной инъекции, % баланса

| Органы и выделения | Соотношение металл — комплексон | | |
|----------------------------|---------------------------------|----------------|----------------|
| | 0,65:20 | 1,4:20 | 10:20 |
| Печень | 8,143 ± 1,002 | 5,241 ± 0,467 | 7,678 ± 0,518 |
| Почки | 0,750 ± 0,108 | 0,771 ± 0,057 | 1,779 ± 0,127 |
| Селезенка | 0,455 ± 0,026 | 0,331 ± 0,027 | 0,201 ± 0,074 |
| Скелет | 5,700 ± 0,583 | 6,288 ± 0,606 | 2,876 ± 0,239 |
| Мягкие ткани тушки | 22,139 ± 3,657 | 16,344 ± 0,457 | 8,975 ± 1,036 |
| Кал | 1,065 ± 0,351 | 0,412 ± 0,073 | 0,199 ± 0,061 |
| Моча | 61,748 ± 4,664 | 70,613 ± 1,154 | 78,292 ± 1,400 |

Примечание. В каждой группе по 5 крыс; баланс составляет $99,391 \pm 1,40\%$.

конкуренции эндогенных металлов за комплексон нельзя, поскольку при большем избытке хелата с мочой выделялось меньше радиометалла. Следовательно, дело здесь не столько в размере избытка комплексона, сколько в ускорении выбывания комплексона через почки, обусловленном предотвращением связывания эндогенных цинка и марганца в почках.

В отношении комплексов Fe^{59} -ЭДТА выявлена несколько иная зависимость. Для выяснения этой зависимости были проведены опыты на катетеризованных крысах. Эксперименты показали, что с увеличением дозы железа в инъецируемом комплексе возрастает скорость выделения Fe^{59} -ЭДТА с мочой (рис. 2) в течение первого часа после инъекции, в последующие сроки различия в скорости выведения постепенно сглаживаются и к 4-му часу количество выделившегося комплекса становится одинаковым. Эти данные свидетельствуют о том, что добавление к вводимому комплексу определенных количеств железа значительно увеличивает уровень выделения Fe^{59} -ЭДТА через почки в течение первых двух часов за счет ускорения выбывания его из организма, причем наиболее эффективной в этом отношении оказалась доза железа в 10 мкгмоля.

Казалось бы, полученные данные дают возможность предупредить нарушение функций почек путем добавления к инъецируемым растворам комплексонов катионов железа в соотношении 1:2, однако при введении высоких доз хелатов это неприемлемо, поскольку освободившееся при распаде комплекса количество железа может оказаться токсическим действием на функции организма. Поэтому нами было испытано влияние предварительного введения малых доз $FeSO_4$ или $FeCl_3$ (0,034 мкгмоля на крысу) на динамику выделения ЭДТА, меченого по углероду-14. Скорость и величина выбывания ЭДТА с мочой на фоне железа значительно возрастают по сравнению с контролем. Если в течение первого часа Ca -ЭДТА выделилось из организма 54,81%, а в течение двух часов 81,72%, то на фоне двухвалентного железа 75,7 и 91,5%, соответственно. Выделение ЭДТА после предварительного введения трехвалентного железа было несколько меньшим, чем двухвалентного — 68,92 и 90,41% за первый и второй часы. К четвертому часу количество выделившегося комплексона во всех вариантах опыта составляло 96% от введенной дозы углерода-14. Показатели экспоненциальных кривых динамики выделения ЭДТА на фоне предварительного введения железа достоверно отличаются от кривых контроля

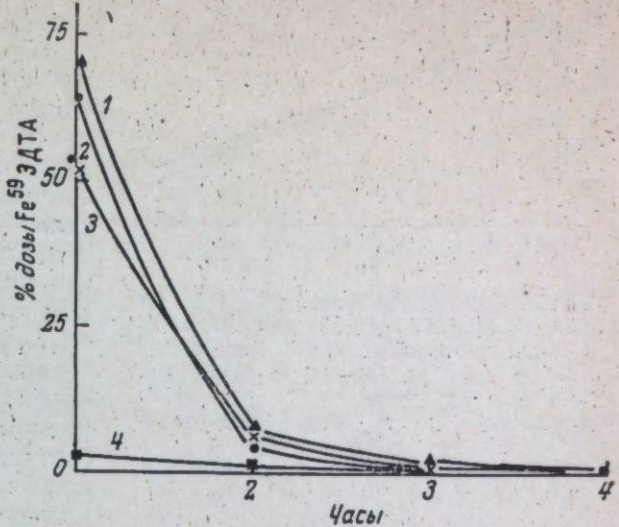


Рис. 2. Динамика выделения Fe^{59} -ЭДТА с мочой при возрастающих количествах железа во вводимом комплексе.
 Fe^{59} -ЭДТА: 1 — 10 : 20; 2 — 1,4 : 20; 3 — 0,55 : 20;
4 — Fe^{59} невесомый внутривенно, через 3 мин — 20 мкгмоля Ca -ЭДТА.

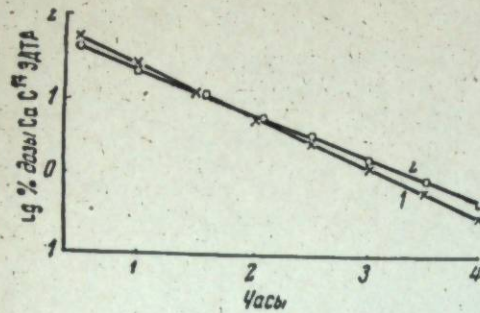


Рис. 3. Динамика выделения Са-С¹⁴ ЭДТА с мочой на фоне предварительного введения растворимых солей железа.

1 — за 2–3 мин до инъекции С¹⁴-ЭДТА внутривенно 0,034 мкмоля Fe⁺⁺ или Fe⁺⁺⁺.
 $A_t = 103,6e^{-1,427t}$, $T_{1/2} = 29,1$ мин; 2 — Са-С¹⁴ ЭДТА. $A_t = 88,81e^{-1,28t}$, $T_{1/2} = 32,3$ мин.

леза на выделительную функцию почек подтверждают высказанное предположение [10] о причинах функциональных нарушений в почках, но находятся в некотором противоречии с данными работы [4], показавшими, что комплексы ЭДТА и ДТПА с двух- и трехвалентным железом значительно токсичнее, чем цинковые и кальциевые формы хелатов. Это несоответствие может быть объяснено прежде всего существенными различиями в дозировках. При инъекциях высоких доз хелатов в Fe-форме освобождающееся в результате распада железо может являться причиной гибели животных, особенно если речь идет о дозах порядка 2,5 мкмоля на 1 кг веса тела.

Выводы

1. Уровень выделения с мочой комплексов ЭДТА с железом, цинком и марганцем, меченых по радиоактивному изотопу, зависит от соотношения металл — комплексон при постоянной дозе комплексона. С увеличением количества металла в комплексе выделение железа-59 с мочой заметно возрастает, для марганца-54 и цинка-65 эта зависимость выражена в меньшей степени.
2. Скорость выбывания Fe⁵⁹-ЭДТА заметно возрастает с увеличением дозы железа во вводимом комплексе. Предварительное введение малых доз двух- и трехвалентного железа снижает торможение выбывания комплексона через почки.
3. Обсуждается возможность использования полученных данных для снижения токсичности и повышения эффективности комплексонов.

ЛИТЕРАТУРА

1. H. Foreman, T. T. Trujillo, B. S. los Alamos N.M. J. Lab. Clin. Med., 1954, 43, 566.
2. H. Foreman, C. Finnegan, C. Lushbaugh. J. Amer. Med. ass., 1956, 160, 1042.
3. H. Foreman, V. Nigrovic. Diagnosis and Treatment of deposited Radionuclides. Washington, 1968, 419–423.
4. A. Catsch. Arch. exp. Path. und Pharm., 1964, 246, 316–329.
5. A. Catsch. Naturw., 1968, 10, 473–477.
6. P. D. Doolan et al. Toxic. appl. Pharm., 1967, 10, 481.
7. V. Nigrovic. Arch. exp. Pathol. und Pharm., 1964, 249, 206–214.
8. О. Г. Архипова, Е. Я. Голубович, В. И. Спиридонова. Фармакология и токсикология, 1965, 28, 92.
9. S. L. Schwartz, I. R. Hayes, R. S. Ide, C. B. Johnson, P. D. Doolan. Biochem. Pharm., 1968, 15, 377–389.
10. И. П. Трегубенко. Докл. АН СССР, 1956, 110, 5, 874–876.
11. H. M. Perry, E. F. Perry. J. Clin. Invest., 1959, 38, 1452.
12. H. M. Perry. Fed. Proc., 1961, 20, 3, 254–257.
13. J. M. Crisman. Amer. J. Physiol., 1951, 167, 776.
14. J. M. Crisman, R. L. Dryer. Amer. J. Phys., 1956, 185, 113.
15. Д. И. Семенов. Труды Ин-та биологии Урал. фил. АН СССР, 1957, вып. 9, 4–19.
16. С. С. Лекохмажер. Поведение хелатных комплексов цинка, кальция и марганца в организме животных. Статья в настоящем сборнике, стр. 67.
17. E. Havlicek, F. Bohne, H. Zorn. Strachlentherapie, 1968, 136, 601.

С. С. ЛЕКОХМАХЕР, Е. И. СУХАЧЕВА

**В КАКОЙ ФОРМЕ ВЫДЕЛЯЮТСЯ С МОЧОЙ
ИНКОРПОРИРОВАННЫЕ ХЕЛАТНЫЕ
КОМПЛЕКСЫ МЕТАЛЛОВ?**

Полиаминополикарбоновые кислоты (комплексоны) способны образовывать высокоустойчивые легкорастворимые комплексные соединения с большим спектром металлов. Способность взаимодействовать с катионами сохраняется и в условиях организма. Об этом свидетельствует повышенное выведение катионов из организма при введении комплексонов. Механизм ускоряющего действия комплексонов сводится к непосредственному физико-химическому взаимодействию комплексонов и катионов с образованием в организме хелатных комплексов, которые по мере образования удаляются почками [1, 2]. Однако нет прямых доказательств того, что выведенный металл находится в комплексе с соответствующим комплексоном. Поэтому необходимо экспериментальное определение формы, в которой выводится металл при комплексонном воздействии. Это позволит дать точный количественный анализ величины этого воздействия.

Методика

Определение формы, в которой выводится с мочой предварительно закомплексованный металл, проводили методом гель-фильтрации на сефадексе [3]. Гель-фильтрацию водных растворов готовых комплексов, меченых по комплексону или по центральному атому (металлу), после инкорпорации животным этих комплексов проводили на колонке размером 1×30 см с внутренним диаметром 0,9 см и высотой слоя геля 28 см при комнатной температуре. В качестве элюирующей жидкости использовали 0,1 M NaCl, скорость элюирования 16,2 мл/час.

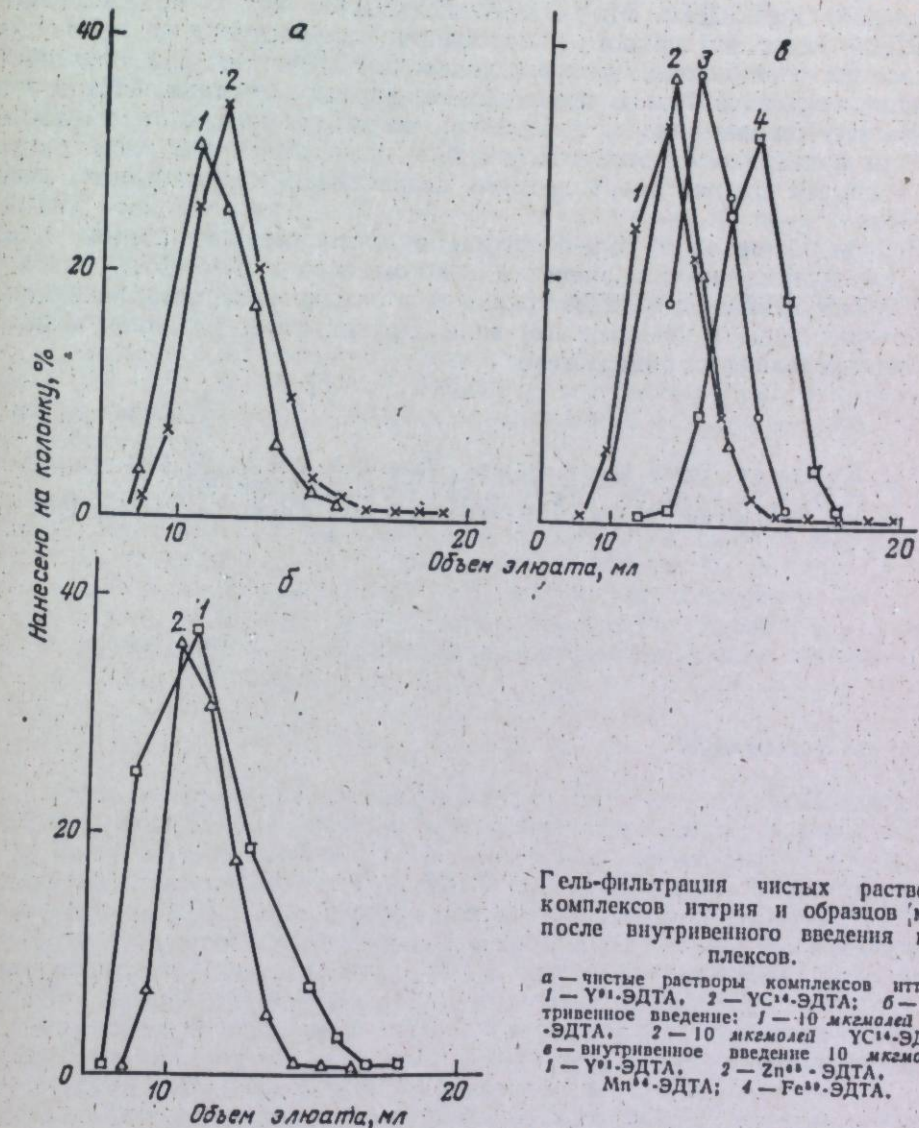
Исследуемые образцы растворов комплексов или мочи объемом 0,4 мл наносили на предварительно подготовленную колонку. Образцы такого же объема служили исходным раствором, относительно которого проводили расчет нанесенной на колонку радиоактивности. Пропущенный через колонку раствор элюата вместе с образцами собирали во фракции по 1 мл. Общий объем элюата равнялся 18 мл. Для определения содержания радиоактивности в элюате по 0,5 мл каждой фракции наносили на алюминиевые тарелочки и после высушивания просчитывали вместе с пробами исходного раствора на радиометре типа «Волна». Общая активность в собранном объеме элюата для всех исследуемых образцов составляла около 100% от нанесенной на колонку активности. После пропускания через колонку объема физиологического раствора, равного объему колонки, через гель для вымывания следов радиоактивности пропускали три-четыре объема колонки 0,025 M раствора $\text{Na}_2\text{-ЭДТА}$ с последующим промыванием колонки дистиллиро-

ванной водой. Непосредственно перед нанесением на колонку нового образца через гель пропускали 0,1 мл NaCl в объеме, равном двум объемам колонки.

Используемая для гель-фильтрации моча была собрана у животных за шестичасовую катетеризацию с предварительным внутривенным введением готовых комплексов иттрия, цинка, марганца и железа с этилендиаминтетрауксусной кислотой в дозе 10 мкгмолей с 10%-ным избытком комплексона.

Результаты опыта

Представленные на рисунке элюционные кривые растворов комплексов Y-ЭДТА , меченых иттрием-91 или углеродом-14 в ацетатной группировке комплексона, характеризуются одним пиком со 100%-ным со-



Гель-фильтрация чистых растворов комплексов иттрия и образцов мочи после внутривенного введения комплексов.

а — чистые растворы комплексов иттрия:
1 — $\text{Y}^{91}\text{-ЭДТА}$, 2 — $\text{Y}^{14}\text{-ЭДТА}$; б — внутривенное введение: 1 — 10 мкгмолей $\text{Y}^{91}\text{-ЭДТА}$, 2 — 10 мкгмолей $\text{Y}^{14}\text{-ЭДТА}$; в — внутривенное введение 10 мкгмолей:
1 — $\text{Y}^{91}\text{-ЭДТА}$, 2 — $\text{Zn}^{65}\text{-ЭДТА}$, 3 — $\text{Mn}^{64}\text{-ЭДТА}$, 4 — $\text{Fe}^{60}\text{-ЭДТА}$.

держанием активности в нем. Пики совпадают по расположению на кривой для обоих растворов комплекса.

Объем появления метки как по иттрию-91, так и по углероду-14 равен 9 мл; полное вымывание радиоактивных иттрия и углерода происходит в объеме, равном общему объему колонки (18 мл). Такой характер кривой свидетельствует прежде всего о том, что в исследуемом растворе имеется только одна форма металла — комплексная.

Гель-фильтрация образцов мочи после внутривенной инъекции комплексов Y-ЭДТА, также меченых по иттрию-91 и углероду-14, дает на элюционной кривой (см. рисунок, б), один пик со 100%-ным содержанием радиоактивности в нем. Полное совпадение кривых элюирования чистых растворов комплексов и образцов мочи после введения этих растворов животным свидетельствует о том, что после внутривенного введения комплекса выделение металла через почечный барьер происходит также в виде хелатного комплекса.

Элюирование образцов мочи после внутривенного введения крысам комплексов Zn⁶⁵-ЭДТА, Mn⁵⁴-ЭДТА, Fe⁵⁹-ЭДТА, как и при введении Y⁹¹-ЭДТА, дает на кривой элюирования (см. рисунок, в) один пик активности, совпадающий с пиком углерода-14. Это еще раз указывает на наличие в моче только комплексной формы металлов. Некоторое смещение вершины пиков у комплексов, по-видимому, связано с различиями в молекулярном весе этих соединений, поскольку порядок сдвига пиков вправо соответствует порядку возрастания молекулярного веса хелатов.

Изученное методом гель-фильтрации состояние металлов в моче после внутривенного введения комплексов Y⁹¹-ЭДТА, Mn⁵⁴-ЭДТА, Zn⁶⁵-ЭДТА, Fe⁵⁹-ЭДТА показало, что выделение металла в моче происходит лишь в комплексном виде. Других форм металлов в моче при этих условиях не обнаружено.

ЛИТЕРАТУРА

1. Д. И. Семенов. Труды Ин-та биологии Урал. фил. АН СССР, 1957, вып. 9, 4.
2. H. Foreman, M. Vierg, M. Magee. J. Biol. Chem., 1953, 203, 1045.
3. N. Yoza, T. Ogata; Y. Ueno, S. Ohashi. Bull. Chem. Soc. Japan, 1968, 41, 10, 2550.

С. С. ЛЕКОХМАХЕР

ПОВЕДЕНИЕ ХЕЛАТНЫХ КОМПЛЕКСОВ ЦИНКА, КАЛЬЦИЯ И МАРГАНЦА В ОРГАНИЗМЕ ЖИВОТНЫХ

Комплексоны, используемые при лечении отравлений радиоактивными изотопами и токсическими металлами и при нарушениях минерального обмена в организме, образуют с большинством катионов комплексные соединения [1], которые по-разному ведут себя в организме. Для расшифровки взаимоотношений между комплексирующими молекулами и металлами в условиях организма, а также для поисков новых, более эффективных препаратов, применяемых для выведения токсических металлов и радионуклидов, необходимо знание ряда физико-химических закономерностей. Перенос физико-химических закономерностей на организм требует проверки сохранения их в сложной внутренней среде. Критерием этого может быть степень (величина) расщепления в организме различных комплексных соединений с разными константами устойчивости.

В литературе имеются данные лишь о поведении комплексов Zn-ДТПА и Zn-ЭДТА [2—4]. Причем в основном рассматривается величина выведения комплексона, а соотношение металла и комплексона не указывается.

По устойчивости хелатных комплексов марганца и кальция мы не нашли точных количественных данных. На основании косвенных данных A. Kuhn [5] считает, что комплекс Mn-ЦГТА должен быть более устойчив в организме, чем другие использованные ею комплексы марганца для ускорения выведения из организма марганца-54.

В данной работе рассматривается величина выведения и распределение по органам и тканям исследуемых комплексных соединений цинка, марганца и кальция.

Материал и методика

Белым лабораторным крысам-самцам шести- или семимесячного возраста вводили внутривенно комплексы цинка, марганца и кальция (по 10 мкгмоля), меченные по центральному атому (металлу) их радиоактивными изотопами Zn⁶⁵, Mn⁵⁴, Ca⁴⁵ с 10%-ным избытком комплексонов: ЭДТА (этилендиаминтетрауксусная кислота), ДТПА (диэтилентриаминпентауксусная кислота), ЦГТА (1,2-диаминоциклогексанпентауксусная кислота), НТА (нитрилотриуксусная кислота), ДДТЭ (диаминодиэтиловый эфир тетрауксусной кислоты).

Животных содержали в течение одних суток в обменных клетках, позволяющих собирать раздельно мочу и кал, затем их забивали. Органы и ткани высушивали при температуре 150° С в течение 5—6 ч, бедренные кости и остаток туши озоляли в муфельной печи при темпера-

туре 600—700° С. Мочу вместе с раствором трилона Б, которым обмывали обменные клетки, упаривали до определенного объема. Навески порошков растертых органов и тканей, кала, а также кратные объемы мочи (по 1 мл в двух повторностях) помещали на стандартные алюминиевые мишени. Радиоактивность образцов, а также исходного раствора измеряли на радиометре типа «Волна» с торцевым счетчиком для β -счета и NaJ-кристаллом для γ -счета. Баланс радиоактивности по отдельным группам опыта составлял 95,2—106,32%. Данные (средние арифметические и стандартные отклонения) представлены в процентах баланса.

Результаты и обсуждение

Данные по выведению и распределению по органам и тканям комплексных соединений цинка, марганца и кальция представлены в табл. 1—3, где изучаемые комплексы расположены в порядке убывания констант устойчивости.

О степени распада комплексного соединения судили по величине его выделения с мочой. Подобное заключение возможно сделать на основании экспериментальных исследований [6], показавших, что после введения хелатного комплекса в моче находится только комплексная форма металла. Кроме того, 95,98% ДТПА и ЭДТА, по данным [7], в течение первых 24 ч после внутривенного введения выводится с мочой. По-видимому, и остальные используемые нами комплексы должны столь же быстро и в таком же объеме выводиться с мочой. Поэтому, если бы их комплексы с металлом не расщеплялись в организме, следовало ожидать такой же величины выделения самого излучателя. Частичное расщепление комплекса выражается в соответствующем снижении выделения излучателя с мочой. При полном расщеплении комплекса выделение излучателя не должно отличаться от выделения его простой, хорошо диссоциирующей соли.

Сравнение суточного выведения комплексов цинка, марганца и кальция с выведением комплексона, представленное на рис. 1, показывает, что все исследуемые комплексы распадаются в организме, но уровень этого распада для разных комплексов далеко не одинаков. Максимальная устойчивость получена у комплексонов Zn-ЦГТА и Mn-ЦГТА: 85,11 и 84,05%, соответственно. Комплексы цинка и марганца с нитрилотриуксусной кислотой, а также все исследуемые комплексы кальция имеют

очень низкую устойчивость в организме. Однако устойчивость комплексов цинка выше, чем комплексов марганца, которые в свою очередь устойчивее комплексов кальция. Следует отметить, что комплексы кальция одинаково устойчивы, о чем свидетельствует отсутствие различий в выведении их из организма.

Для комплексов рассматриваемых металлов, несмотря на большие различия в устойчивости, сохраняется одна и та же последователь-

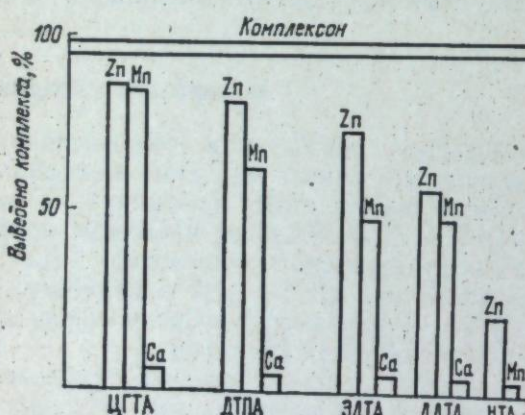


Рис. 1. Диаграмма устойчивости хелатных комплексов цинка, марганца и кальция.

ность в их расположении. Наибольшей устойчивостью обладают комплексы, образованные этими металлами с ЦГТА, далее в убывающем порядке располагаются комплексы ДТПА > ЭДТА > ДДТЭ > НТА.

Выделение кальция-45 и цинка-65 с калом одинаково для всех исследуемых комплексов ($p=0,06-0,9$). Выделение марганца-54 через желудочно-кишечный тракт постепенно растет от комплекса с высоким к комплексу с низким выведением с мочой; Mn-ЦГТА 7,2%, Mn-ДТПА 24,62%, Mn-ДДТЭ и Mn-ЭДТА 29,75 и 29,84%, соответственно. Комплекс Mn-НТА характеризуется высоким выведением радиоактивного марганца с калом по сравнению с мочой (66,55 и 4,86%, соответственно).

Сравнение величины распада рассматриваемых комплексов с их константами устойчивости, характеризующими силу связи между металлом и комплексоном, показывает (рис. 2), что комплексам с большим распадом в организме соответствуют константы устойчивости, которые находятся в пределах $10^{7.4}-10^{12.5}$. С ростом констант устойчивости увеличивается и устойчивость комплексов в организме. Поэтому комплексам Zn-ЦГТА, Mn-ЦГТА соответствуют самые высокие константы: $10^{18.3}$ и $10^{16.8}$, соответственно. Обработка полученной зависимости регрессионным анализом показала, что для комплексов марганца и цинка отношение между величиной распада и константами устойчивости хорошо описывается уравнением прямой: $y = 158,43 - 7,74x$; $y = 161,28 - 8,47x$.

Из данных табл. 1 и 2 видно, что константы устойчивости определяют отложение цинка и марганца в организме. Характер распределения их одинаков для всех рассматриваемых комплексов и выражается в предпочтительном отложении радиоактивных изотопов этих металлов в мягких тканях тушки. Отсутствие избирательности какого-либо из вводимых соединений к определенной ткани является свидетельством того, что поведение хелатных комплексов в организме не зависит от поведения самих комплексонов. Но, определяя силу сродства между металлом и комплексоном, структура комплексона тем самым обуславливает устойчивость комплексов в организме.

Характер распределения кальция-45 подобен распределению простой соли кальция и свидетельствует не только о полном, но и быстром распаде этих комплексов в организме (табл. 3).

Распределение цинка-65 только в том случае напоминает распределение простой соли, если его содержание в отдельных органах и тканях выразить в процентах от общего количества освобожденного из комплекса металла. Это является показателем постепенного характера распада комплексов в организме.

К сожалению, мы не можем провести такого сравнения для комплексов марганца из-за большого несоответствия полученных в нашей лаборатории и имеющихся в литературе данных по распределению и выведению из организма простой соли марганца. Но наблюдаемое подобие в поведении комплексов марганца и цинка позволяет принять,

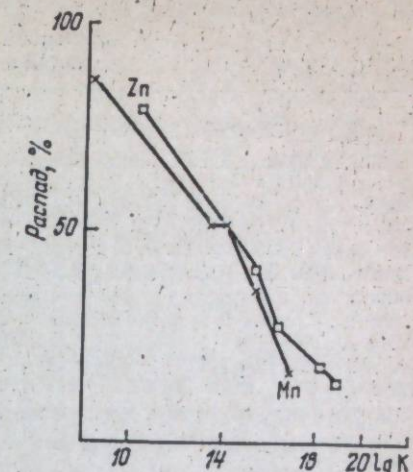


Рис. 2. Зависимость степени распада хелатных комплексов цинка и марганца от величины констант устойчивости.

Таблица 1
Содержание цинка-65 в органах, тканях и выделениях крыс
после внутривенного введения комплексных соединений

| Органы и выделения | Zn-ЦГТА | Zn-ДТПА | Zn-ЭДТА | Zn-ДДТЭ | Zn-HTA | ZnCl ₂ |
|--------------------------|--------------------|--------------------|--------------------|--------------------|--------------------|-------------------|
| Печень . | 1,04±0,09 | 2,66±0,21 | 3,09±0,1 | 5,45±0,3 | 9,12±0,3 | 14,51±1,92 |
| Почки . | 0,21±0,01 | 0,63±0,06 | 0,56±0,02 | 0,99±0,06 | 1,28±0,1 | 2,35±0,2 |
| Селезенка . | 0,06±0,003 | 0,14±0,01 | 0,15±0,02 | 0,26±0,02 | 0,41±0,04 | 0,87±0,02 |
| Скелет . | 0,38±0,06 | 1,63±0,23 | 72,26±1,8 | 4,78±0,11 | 14,82±0,7 | 20,48±2,56 |
| Мягкие ткани . | 6,03±0,1 | 9,78±2,5 | 2,45±0,76 | 28,08±1,1 | 45,75±1,6 | 54,73±1,31 |
| Моча . | 85,11±1,5 | 82,39±3,3 | 72,26±1,8 | 58,09±1,3 | 21,04±1,03 | 1,1±0,07 |
| Кал . | 7,19±2,7 | 2,76±1,26 | 2,45±0,76 | 2,35±0,06 | 5,95±0,41 | 4,84±1,51 |
| Константы устойчивости . | 10 ^{18,7} | 10 ^{18,4} | 10 ^{16,3} | 10 ^{15,3} | 10 ^{10,4} | — |

Таблица 2
Содержание марганца-54 в органах, тканях и выделениях крыс
после внутривенного введения комплексов

| Органы и выделения | Mn-ЦГТА | Mn-ДТПА | Mn-ДДТЭ | Mn-ЭДТА | Mn-HTA |
|----------------------------------|--------------------|--------------------|------------------|--------------------|-------------------|
| Печень | 1,23±0,08 | 1,99±0,28 | 2,64±0,42 | 2,19±0,01 | 2,8±0,53 |
| Почки | 0,41±0,05 | 0,38±0,02 | 0,29±0,08 | 0,48±0,02 | 0,63±0,03 |
| Селезенка | 0,01±0,02 | 0,02±0,01 | 0,03±0,001 | 0,03±0,007 | 0,03±0,003 |
| Скелет | 0,58±0,01 | 2,78±0,21 | 3,23±0,53 | 3,89±0,45 | 6,21±0,58 |
| Мягкие ткани | 6,52±1,46 | 10,0±0,79 | 14,4±0,4 | 14,82±1,49 | 18,9±1,69 |
| Моча | 84,05±1,64 | 64,19±0,82 | 49,58±2,52 | 48,69±2,04 | 4,86±0,48 |
| Кал | 7,21±1,02 | 20,62±0,44 | 29,75±1,9 | 29,89±2,62 | 66,55±1,24 |
| Константы устойчивости | 10 ^{16,8} | 10 ^{15,3} | 10 ¹⁴ | 10 ^{13,2} | 10 ^{7,4} |

Таблица 3
Содержание кальция-45 в органах, тканях и выделениях крыс
после введения хелатных комплексов

| Органы и выделения | Ca-ЦГТА | Ca-ДТПА | Ca-ЭДТА | Ca-ДДТЭ | CaCl ₂ |
|----------------------------------|--------------------|--------------------|--------------------|------------------|-------------------|
| Печень | 0,21±0,010 | 0,16±0,001 | 0,21±0,110 | 0,16±0,008 | 0,2±0,010 |
| Почки | 0,06±0,003 | 0,06±0,004 | 0,06±0,001 | 0,06±0,008 | 0,07±0,006 |
| Селезенка | 0,02±0,002 | 0,17±0,0004 | 0,01±0,002 | 0,01±0,0008 | 0,02±0,0001 |
| Скелет | 61,24±0,100 | 63,58±3,820 | 64,45±0,270 | 60,85±3,650 | 57,83±0,230 |
| Мягкие ткани | 28,98±1,610 | 29,33±3,350 | 28,05±2,490 | 30,21±3,200 | 36,74±2,580 |
| Моча | 5,25±0,810 | 3,45±0,120 | 3,46±0,240 | 3,94±0,003 | 1,13±0,490 |
| Кал | 4,26±0,560 | 3,76±0,460 | 3,62±0,710 | 4,75±0,870 | 4,18±0,230 |
| Константы устойчивости | 10 ^{12,5} | 10 ^{10,7} | 10 ^{10,7} | 10 ¹⁰ | — |

что для комплексов марганца характерен такой же постепенный распад.

Таким образом, поведение хелатных комплексов цинка, марганца и кальция в организме животных определяется константами устойчивости соответствующих комплексов. У комплексов с константами устойчивости 10^{7,4}—10^{12,5} наблюдается полный и быстрый распад. С увеличением констант устойчивости независимо от величины распада наблюдается постепенный характер распада. Зависимость величины распада и характера распределения хелатных комплексов от констант и характера устойчивости при ограниченном времени пребывания комплекса в организме позволяет предположить возможность воздействия организма на хелатный комплекс.

При этом быстрый и полный распад предполагает, что наряду с близкой к этим комплексам устойчивостью связи конкурирующий агент должен иметь концентрацию, во много раз превышающую концентрацию вводимого комплекса. Но и менее выраженный распад также не исключает достаточно высокую концентрацию конкурирующего агента.

ЛИТЕРАТУРА

1. Д. И. Семенов, И. П. Трегубенко. Влияние комплексов на поведение металлов и излучателей в организме. II. Этилендиаминтетраацетат. Труды Ин-та биол. Урал. фил. АН СССР, 1957, вып. 9, 20—56.
2. Н. Н. Фореман. Metal-Bildding in Medicine. Philadelphia — Montreal, 1960, 82.
3. A. Catsch, K. Le, D. Gumbolt. Int. J. Radiat. Biol., 1964, 8, 35.
4. F. Stand, B. Rosoff, G. Williams, H. Spenser. J. Pharm. exp. Ther., 1962, 138, 399.
5. A. Kuhn. Strahlentherapie, 1969, 137, 101—109.
6. С. С. Лекохмакер. Метаболизм радионизотопов в животном организме. Труды Ин-та экологии растений и животных Урал. фил. АН СССР, 1974, вып. 89, стр. 64.
7. H. Foreman, M. Vier, M. Magee. J. Biol. Chem., 1953, 203, 1045.

С. С. ЛЕКОХМАХЕР, Е. И. СУХАЧЕВА

ПОВЕДЕНИЕ ХЕЛАТНЫХ КОМПЛЕКСОВ ИТРИЯ, ЦЕРИЯ
И КАДМИЯ В ОРГАНИЗМЕ ЖИВОТНЫХ

Поведение хелатных комплексов цинка, марганца и кальция в организме животных определяется силой связи между металлом и комплексоном во внутрикомплексном соединении [1]. Интересно рассмотреть поведение хелатных комплексов таких металлов, которые по своему метаболическому поведению отличаются от указанных или являются небиогенными, а кроме того, имеют более широкий диапазон констант устойчивости образуемых этими металлами комплексов.

В настоящей работе рассматривается поведение хелатных комплексов иттрия, кадмия и церия. Выбор этих металлов связан с особенностями их поведения в организме [2]. По устойчивости некоторых хелатных комплексов этих металлов встречаются лишь единичные работы [3—5].

Обсуждение результатов

Опыты проводили на белых лабораторных крысах-самцах шести- или семимесячного возраста, которым внутривенно вводили хелатные комплексы иттрия, церия и кадмия, меченные их радиоактивными изотопами в дозе 10 мкгмолей с 10%-ным избытком комплексонов ЭДТА, ДТПА, ДДТЭ, ЦГТА, НТА. Последующую обработку экспериментального материала проводили по ранее описанной методике.

Если мы примем, как и в работе [1], суточное выведение излучателя с мочой после введения комплексных соединений в качестве характеристики устойчивости рассмотренных комплексов в организме, а часть металла, задержавшуюся за это время в организме, за величину распада, то наблюдаемое выведение комплексов Y-ДТПА, Y-ЦГТА, Ce-ДТПА, равное выделению самого комплексона, свидетельствует об отсутствии распада этих комплексов в организме. В противоположность этому полная задержка радионизотопа, наблюдавшаяся при введении комплекса Y-НТА и Ce-НТА,

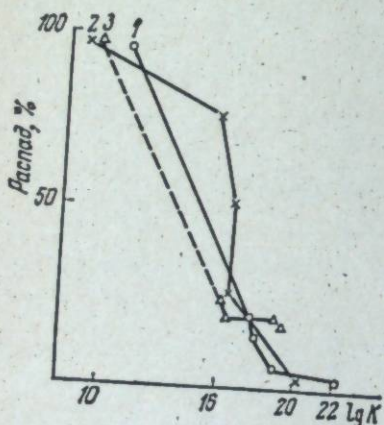


Рис. 1. Зависимость распада хелатных комплексов иттрия, церия и кадмия от величины констант устойчивости.

1 — иттрий, 2 — церий, 3 — кадмий (пунктирная линия — ожидаемый распад комплекса кадмий-НТА)

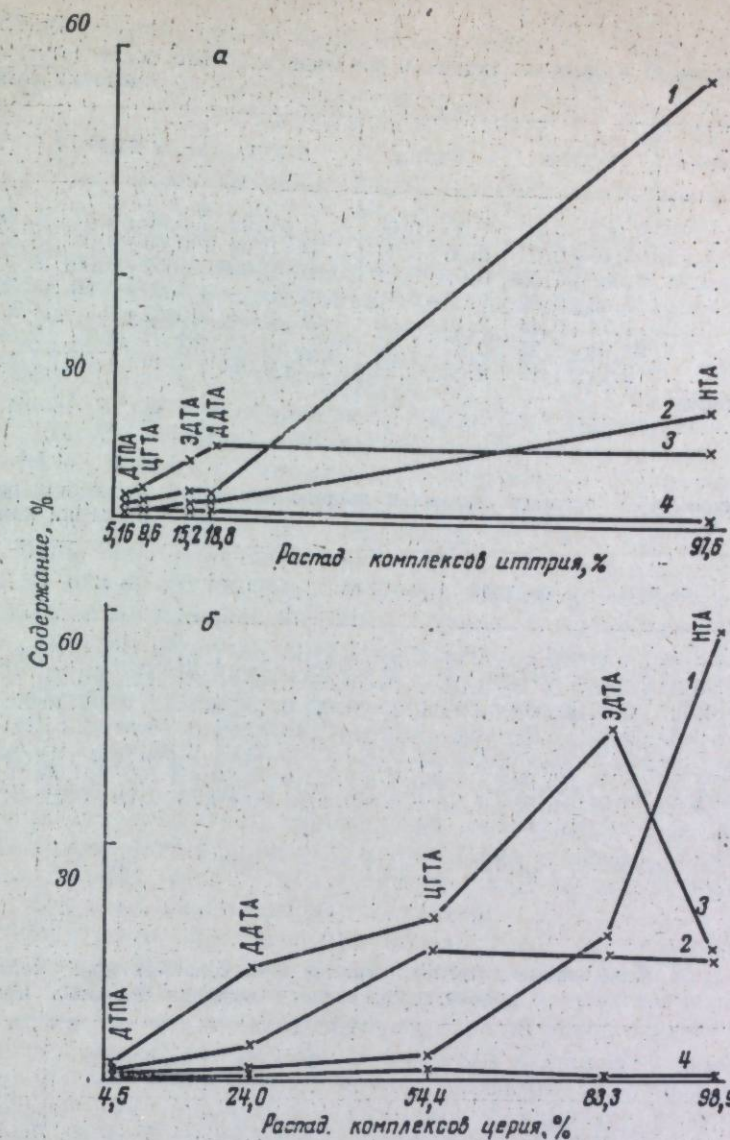


Рис. 2. Распределение иттрия (а) и церия (б) после введения хелатных комплексов этих металлов.

1 — печень, 2 — скелет, 3 — мягкие ткани, 4 — почки.

свидетельствует о полном их распаде. Гибель животных сразу после введения комплекса Cd-ЭДТА связана с освобождением из комплекса 10 мкгмоляр кадмия, токсичных для крыс.

Сравнение величины распада с константами устойчивости соответствующих комплексов иттрия показывает, что прочность его комплексов определяется устойчивостью связи между металлом и комплексоном (рис. 1). Из этой зависимости следует, что полному или частичному распаду в организме подвергаются комплексы с константами устойчивости $10^{11.4}$ — 10^{19} . У комплексов с константами 10^{19} и выше распад практически отсутствует.

Сохраняется подобная зависимость и для комплексов церия (см. рис. 1): так, не наблюдается распад у комплексов Ce-ДТПА при

Таблица 1
Содержание иттрия-91 в органах, тканях и выделениях крыс после внутривенного введения комплексов

| Органы и выделения | Y-DTPA | Y-ЦГТА | Y-ЭДТА | Y-ДДТЭ | Y-HTA |
|----------------------------------|--------------------|------------------|------------------|--------------------|--------------------|
| Печень | 0,052±0,01 | 1,37±0,06 | 0,41±0,02 | 0,86±0,07 | 52,98±3,91 |
| Почки | 0,46±0,03 | 0,56±0,17 | 1,44±0,08 | 0,46±0,03 | 0,51±0,01 |
| Селезенка | 0,007±0,001 | 0,07±0,01 | 0,02±0,0004 | 0,007±0,001 | 16,77±3,54 |
| Скелет | 0,43±0,02 | 1,63±0,46 | 3,03±0,18 | 3,59±0,66 | 14,33±1,47 |
| Мягкие ткани | 1,74±0,44 | 2,12±0,52 | 3,21±0,24 | 10,52±0,8 | 11,84±0,94 |
| Моча | 94,94±1,25 | 90,47±1,41 | 84,84±0,4 | 81,24±1,73 | 2,38±0,17 |
| Кал | 2,81±1,19 | 3,55±1,24 | 2,2±0,38 | 2,46±1,08 | 1,11±0,09 |
| Константы устойчивости | 10 ^{22,4} | 10 ¹⁹ | 10 ¹⁸ | 10 ^{17,7} | 10 ^{11,4} |

Таблица 2
Содержание церия-144 в органах, тканях и выделениях крыс после внутривенного введения комплексов

| Органы и выделения | Ce-DTPA | Ce-ДДТЭ | Ce-ЦГТА | Ce-ЭДТА | Ce-HTA | CeCl ₃ |
|----------------------------------|--------------------|--------------------|--------------------|------------------|-------------------|-------------------|
| Печень | 0,17±0,01 | 3,55±0,12 | 8,92±0,41 | 19,44±1,18 | 58,29±1,82 | 78,14±2,29 |
| Почки | 0,37±0,05 | 0,76±0,03 | 0,76±0,06 | 0,46±0,03 | 3,22±0,24 | 1,17±0,23 |
| Селезенка | 0,007±0,004 | 0,06±0,006 | 0,25±0,05 | 0,83±0,13 | 2,18±0,26 | 0,395±0,02 |
| Скелет | 0,33±0,02 | 5,7±0,51 | 18,72±0,52 | 16,72±1,0 | 15,88±2,31 | 14,39±1,80 |
| Мягкие ткани | 0,64±0,21 | 13,44±1,44 | 23,89±2,19 | 45,33±1,27 | 18,49±1,96 | 6,71±0,94 |
| Моча | 96,55±0,44 | 76,00±1,45 | 45,59±0,52 | 16,68±0,41 | 1,07±0,09 | 0,93±0,09 |
| Кал | 1,86±0,08 | 0,73±0,13 | 1,87±0,40 | 1,38±0,53 | 1,09±0,21 | 0,43±0,09 |
| Константы устойчивости | 10 ^{20,4} | 10 ^{16,7} | 10 ^{16,8} | 10 ¹⁶ | 10 ^{8,0} | — |

Таблица 3
Содержание в органах, тканях и выделениях крыс кадмия-115^m после внутривенного введения хелатных комплексов

| Органы и выделения | Cd-ЦГТА | Cd-DTPA | Cd-ЭДТА | Cd-ДДТЭ | CdCl ₂ |
|----------------------------------|--------------------|--------------------|--------------------|--------------------|-------------------|
| Печень | 10,37±0,36 | 12,05±0,48 | 10,11±0,039 | 14,45±0,49 | 76,19±1,92 |
| Почки | 1,04±0,02 | 1,19±0,04 | 1,29±0,04 | 1,40±0,48 | 2,29±0,20 |
| Селезенка | 0,04±0,0001 | 0,06±0,002 | 0,063±0,006 | 0,08±0,003 | 0,45±0,04 |
| Скелет | 0,55±0,009 | 0,97±1,13 | 0,87±0,06 | 0,88±0,04 | 2,44±0,20 |
| Мягкие ткани | 5,69±0,65 | 4,44±0,45 | 5,87±1,07 | 6,47±0,59 | 7,58±0,87 |
| Моча | 78,34±1,44 | 77,9±1,93 | 77,54±0,88 | 71,83±1,00 | 0,24±0,03 |
| Кал | 5,101±0,8 | 4,94±1,95 | 4,24±1,19 | 4,87±1,53 | 2,75±0,84 |
| Константы устойчивости | 10 ^{19,2} | 10 ^{19,3} | 10 ^{16,5} | 10 ^{16,3} | — |

$K_{уст} = 10^{20,4}$ и полностью распадается комплекс Ce-HTA при $K_{уст} = 10^{10}$. Обращают на себя внимание довольно большие различия в устойчивости комплексов Ce-ДДТЭ, Ce-ЦГТА, Ce-ЭДТА, константы устойчивости которых не очень сильно отличаются ($10^{16,7}$, $10^{16,8}$, 10^{16} , соответственно). У комплексов Cd-ЦГТА, Cd-DTPA, Cd-ЭДТА, Cd-ДДТЭ, константы устойчивости которых находятся в пределах $10^{16,3}$ — $10^{19,2}$, наблюдаемые различия оказались статистически недостоверными ($p=0,07$ — $0,87$).

Характер распределения иттрия-91 и церия-144 по органам и тканям у комплексов, образованных этими металлами с ДТПА, ЭДТА, ЦГТА

и ДДТЭ, отличается от комплексов, образованных с нитрилтиукусной кислотой: у первых предпочтительное отложение радионизотопов, независимо от величины распада, наблюдается в мягких тканях тушки; у вторых металл, освободившийся из комплекса, откладывается главным образом в печени (табл. 1).

Из рис. 2, где содержание иттрия и церия представлено в зависимости от величины распада соответствующих комплексов, видно, что отложение металла постепенно растет по мере увеличения распада комплексов и достигает величины отложения простой легко диссоциирующей соли в той же концентрации, что и вводимые комплексы. Это является свидетельством быстрого протекающего распада комплексов Y-HTA, Ce-HTA. О постепенном распаде комплексов, образованных этими металлами с ДТПА, ДДТЭ, ЭДТА, ЦГТА, свидетельствует независимый от величины распада характер распределения иттрия и церия (табл. 2), который выражается в отсутствии предпочтительного отложения их в печени у металлов с выраженным «печеночным» типом распределения [2]. Хотя характер распределения кадмия (табл. 3) существенно отличается от распределения иттрия и церия (преимущественно отлагается в печени), однако и для этого металла распределение только в том случае подобно распределению CdCl₃, если выразить содержание в отдельных органах и тканях в процентах от величины распада соответствующих комплексов, что также свидетельствует о постепенном характере распада этих комплексов в организме. Отмеченная выше гибель животных при введении комплекса Cd-HTA свидетельствует о быстром, практически мгновенном распаде этого комплекса.

Несмотря на небольшие различия в величине распада между комплексами Ce-HTA (98,9%) и Ce-ЭДТА (83,3%), по характеру распределения эти комплексы существенно отличаются: для первого характерно преимущественное отложение церия в печени, для второго — в мягких тканях тушки, что указывает как на различную скорость распада, так и на различный его характер.

Следует также отметить, что независимый от величины распада характер распределения церия-144 у комплексов Ce-DTPA, Ce-ДДТЭ, Ce-ЭДТА, Ce-ЦГТА свидетельствует скорее о возможности воздействия организма на разные комплексы церия, чем об устойчивости комплексов в организме, обусловленной их структурой.

Определенное соотношение между распадом хелатных комплексов и их константами устойчивости, одинаковый характер распределения и сопоставимые скорости распада позволяют предположить, что поведение этих комплексов в организме (цинка, марганца, кальция, иттрия, церия, кадмия) различается лишь по силе связи между металлом и комплексоном во внутримолекулярном соединении.

ЛИТЕРАТУРА

1. С. С. Лекохмажер. Метаболизм радионизотопов в животном организме. Труды Ин-та экологии растений и животных Урал. фил. АН СССР, 1974, вып. 89, стр. 64.
2. Д. И. Семенов, И. П. Трегубенко. Комплексы. Свердловск, 1958, 75—78.
3. Н. Spenser, B. Rosoff. Diagnosis and Treatment of Radioactive Poisoning. Vienna, 1963.
4. H. Kroll, S. Kortmann. Nature, 1957, 180, 919.
5. J. Lafuma, J. Népot. Rapp. CEA, 1968, 3519, 1—16.
6. И. П. Трегубенко, Е. И. Сухачева, М. Н. Белова, О. А. Нятина, Г. А. Мельникова, Д. И. Семенов. Теоретические вопросы минерального обмена. Труды Ин-та экологии растений и животных УНЦ АН СССР, 1970, вып. 68, 65—67.

В. С. БЕЗЕЛЬ

О ВОЗМОЖНОМ ВЛИЯНИИ ЭНДОГЕННЫХ МЕТАЛЛОВ НА ЭФФЕКТИВНОСТЬ КОМПЛЕКСОНОВ

В практической терапии отравлений тяжелыми и радиоактивными металлами в последнее время успешно применяются хелатирующие комплексы ЭДТА, ДТПА или их кальциевые комплексы. Однако эффективность применяемых соединений в ряде случаев недостаточна. Последнее обстоятельство связано с наличием внутри организма фонда эндогенных металлов, который вступает в конкурентные взаимоотношения с комплексоном за токсический металл, определяя в конечном счете эффективность применяемых соединений. С этим же связаны токсические изменения, которые наблюдаются в организме при введении больших доз комплексона. Так, некоторые исследователи [1, 2], отмечая повышенное выделение под действием комплексонов кальция, железа, меди и других катионов, связывают токсическое действие комплексона с нарушением нормальной деятельности металло-энзимных систем организма. Наиболее существенные сдвиги наблюдаются в содержании цинка.

В настоящей статье делается попытка на основании общих модельных представлений рассмотреть возможные механизмы обмена эндогенного цинка. Мы предполагаем наличие в организме фракции металла, доступной действию комплексона, и основного депо цинка. Инъекция комплексона приводит к резкому обеднению доступной фракции с последующими процессами компенсации возникшего дефицита металла. Процессы эти, очевидно, контролируются естественными механизмами обмена цинка в организме. Поэтому результаты, полученные на основании рассматриваемых моделей, носят общий характер, определяющий состояние эндогенного цинка в организме.

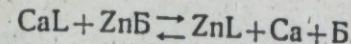
В первом варианте рассматриваемой модели мы принимаем, что количество эндогенного металла, доступное действию комплексона, остается неизменным и независимым от дозы и вида вводимого комплексона. Во втором варианте обсуждается возможность восполнения этой доступной фракции металла из основного депо организма.

I. Близкие молекулярные веса и химические свойства лигандов ЭДТА и ДТПА позволяют ожидать, что физиологические объемы разведения в организме для обоих комплексонов будут примерно одинаковыми, а следовательно, одинаковым будет и количество обменивающегося эндогенного металла. Тогда разная эффективность ЭДТА и ДТПА может быть связана к различию констант устойчивости их комплексов с цинком и степени кислотной диссоциации лиганда ($H_mL \rightarrow H_{m-n}L^n-$) при pH организма.

Допустим, что при внутривенной инъекции кальциевой формы комплексона $[CaL]$, единственным металлом, взаимодействующим с ним, будет эндогенный цинк $[Zn]$. Кроме того, предположим, что основная его масса

находится в связанном состоянии $[ZnB]$ с биолигандами $[B]$.

Тогда реакция обмена может быть записана так:



Уравнение баланса по лиганду

$$[CaL]_t = Q[L] + [CaL] + [ZnL], \quad (1)$$

где $[L]$ — концентрация свободной формы лиганда,

$[ZnL]$ — концентрация связанного с цинком лиганда,

Q — множитель, учитывающий степень кислотной диссоциации комплексона при физиологическом pH.

Из константы равновесия $K_{CaL} = \frac{[CaL]}{[Ca][L]}$ имеем $[CaL] = K_{CaL}[L][Ca]$. После подстановки этого выражения в уравнение (1) получим

$$[L] = \frac{[CaL]_t - [ZnL]}{Q + K_{CaL}[Ca]}. \quad (2)$$

Количество свободного цинка $[Zn]$ и цинка, связанного биокомплексоном

Таблица 2
Количество выведенного эндогенного цинка по данным работы [4]
и расчетные параметры

| Доза комплексона, мкмоль | Вес животных, г | Выведено цинка, мкв | Экспериментальные [4] | | Расчетные | |
|--------------------------|-----------------|---------------------|-----------------------|--------------------|--------------------------|--------------------------|
| | | | $[CaL]_t \cdot 10^6$ | $[ZnL] \cdot 10^6$ | $x_{EDTA} \cdot 10^{10}$ | $x_{DTPA} \cdot 10^{10}$ |
| Са-ЭДТА | | | | | | |
| 1,0 | 200 | $4,0 \pm 0,45$ | 20,0 | 1,22 | 2,14 | — |
| 1,0 | 170 | $4,0 \pm 0,19$ | 23,6 | 1,44 | 2,11 | — |
| 1,0 | 166 | $8,0 \pm 1,16$ | 24,2 | 2,28 | 3,48 | — |
| 10,0 | 189 | $25,4 \pm 2,25$ | 212,0 | 8,90 | 1,46 | — |
| 10,0 | 164 | $27,2 \pm 2,53$ | 244,0 | 10,20 | 1,45 | — |
| 10,0 | 158 | $26,3 \pm 3,53$ | 252,0 | 10,20 | 1,40 | — |
| 100,0 | 212 | $48,3 \pm 3,33$ | 1890,0 | 14,00 | 0,25 | — |
| 100,0 | 187 | $54,2 \pm 2,54$ | 2138,0 | 17,70 | 0,28 | — |
| 100,0 | 162 | $46,6 \pm 2,65$ | 2470,0 | 17,60 | 0,24 | — |
| Са-ДТПА | | | | | | |
| 1,0 | 191 | $19,1 \pm 0,75$ | 20,9 | 6,17 | — | 8,55 |
| 1,0 | 196 | $27,3 \pm 2,26$ | 20,4 | 8,53 | — | 14,62 |
| 1,0 | 162 | $24,2 \pm 2,60$ | 24,8 | 9,15 | — | 11,93 |
| 1,0 | 179 | $32,1 \pm 1,70$ | 22,3 | 11,0 | — | 19,86 |
| 10,0 | 185 | $64,8 \pm 1,94$ | 216,0 | 21,40 | — | 2,24 |
| 10,0 | 189 | $60,8 \pm 1,54$ | 211,0 | 19,70 | — | 2,10 |
| 10,0 | 169 | $58,3 \pm 3,14$ | 236,0 | 21,10 | — | 2,00 |
| 10,0 | 176 | $60,0 \pm 2,56$ | 228,0 | 20,90 | — | 2,06 |
| 10,0 | 222 | $79,3 \pm 2,27$ | 180,0 | 21,80 | — | 2,81 |
| 100,0 | 206 | $91,2 \pm 3,00$ | 1940,0 | 27,10 | — | 0,29 |
| 100,0 | 194 | $71,0 \pm 3,00$ | 2060,0 | 22,40 | — | 0,22 |
| 100,0 | 174 | $80,2 \pm 5,18$ | 2300,0 | 28,20 | — | 0,25 |
| 100,0 | 161 | $90,4 \pm 3,12$ | 2480,0 | 34,30 | — | 0,29 |

Таблица 1
Константы устойчивости и степень кислотной диссоциации комплексонов

| Показатели | ЭДТА | ДТПА |
|--------------|---------------------|---------------------|
| Q (pH 7,3) | $0,76 \cdot 10^3$ | $22,4 \cdot 10^3$ |
| K_{CaL} | $5,0 \cdot 10^{10}$ | $5,0 \cdot 10^{10}$ |
| K_{ZnL} | $2,0 \cdot 10^{16}$ | $3,2 \cdot 10^{16}$ |

сонами $[ZnB]$, остающееся в организме после воздействия комплексона, равно:

$$[Zn] = \frac{[ZnL]}{K_{ZnL}[L]},$$

$$[ZnB] = \frac{[B]_t [Zn] \cdot K_{ZnB}}{K_{ZnB}[Zn] + 1},$$

где $[B]_t$ — общее количество биолигандов, а K_{ZnB} — константа устойчивости комплекса Zn — биолиганд.

Вероятно, $K_{ZnB}[Zn] \ll 1$, так как количество цинка, оставшееся свободным в организме после введения комплексона, ничтожно. Тогда

$$[ZnB] = [B]_t [Zn] K_{ZnB}.$$

Уравнение баланса по цинку

$$[Zn]_t = [Zn] + [ZnL] + [ZnB].$$

Из уравнений (2) и (3) находим

$$[Zn]_t - [ZnL] + [Zn] (1 + K_{ZnB}[B]_t) = [ZnL] + \frac{[ZnL]}{K_{ZnL}} \times \\ \times \frac{Q + K_{CaL}[Ca]}{[CaL]_t - [ZnL]} (1 + K_{ZnB}[B]_t) = [ZnL] + \frac{[ZnL]}{[CaL]_t - [ZnL]} \times \\ \times \frac{Q + K_{CaL}[Ca]}{K_{ZnL}} (1 + K_{ZnB}[B]_t). \quad (4)$$

Поскольку общее количество выводимого эндогенного цинка даже при максимальных применяемых дозах кальциевой формы комплексонов не превышает 100 мкг (см. табл. 2), то вытесненное им количество кальция из $[CaL]_t$ будет составлять примерно 1/40 часть общего содержания свободного кальция в крови крыс. Это позволяет нам считать $[Ca]$ величиной постоянной и равной $1,33 \cdot 10^{-9}$ г.моль/л [3]. Тогда, согласно данным табл. 1, уравнение (4) для ЭДТА запишется

$$[Zn]_t - [ZnL] + 3,33 \cdot 10^{-9} (1 + K_{ZnB}[B]_t) \frac{[ZnL]}{[CaL]_t - [ZnL]} \text{ г.моль/л}, \quad (5)$$

а для ДТПА

$$[Zn]_t - [ZnL] + 2,08 \cdot 10^{-11} (1 + K_{ZnB}[B]_t) \frac{[ZnL]}{[CaL]_t - [ZnL]} \text{ г.моль/л}. \quad (6)$$

Преобразование этих выражений приводит к линейной зависимости

$$y = a + bx, \quad (7)$$

где $y = [ZnL]$ — количество выводимого комплексоном эндогенного цинка, выраженное через концентрацию; $x = 3,33 \cdot 10^{-9} \frac{[ZnL]}{[CaL]_t - [ZnL]}$ и $x = 2,08 \times 10^{-11} \frac{[ZnL]}{[CaL]_t - [ZnL]}$ — функции вводимой дозы комплексона $[CaL]_t$ для ЭДТА и ДТПА, соответственно.

Выражения (5) и (6) могут быть исследованы для определения параметров $a = [Zn]_t$ и $b = (1 - K_{ZnB}[B]_t)$.

В качестве экспериментальных данных мы использовали результаты работы [4] о количестве эндогенного цинка, выводимого с мочой в течение 4 ч после инъекции крысам различных доз кальциевой формы ЭДТА или ДТПА. Эти данные, а также наши расчеты приведены в табл. 2. За этот срок из организма выводится практически весь комплексон [5—6]. При расчете концентрации комплексона принимали объем разведения равным 25% общего веса животного.

Регрессионный анализ данных табл. 2 позволил определить наклон прямых, характеризующий связь цинка с биолигандами организма $(1 + K_{ZnB}[B]_t)$, и общее количество эндогенного цинка $[Zn]_t$, взаимодействующее с обоими комплексонами:

| | $b = K_{ZnB}[B]_t$ | $[Zn]_t, \text{ г.моль/л}$ | $\delta = \frac{\sum \Delta^2}{n}$ |
|------|------------------------------|----------------------------------|------------------------------------|
| ЭДТА | $(5,45 \pm 0,99) \cdot 10^4$ | $(17,02 \pm 1,73) \cdot 10^{-6}$ | $5,24 \cdot 10^{-12}$ |
| ДТПА | $(1,06 \pm 0,23) \cdot 10^4$ | $(24,84 \pm 1,85) \cdot 10^{-6}$ | $22,28 \cdot 10^{-12}$ |

Полученные различия в величине $[Zn]_t$, а также $K_{ZnB}[B]_t$ неожиданы, так как общее количество биолигандов $[B]_t$ и взаимодействующего с ЭДТА и ДТПА цинка должно быть одинаковым при принятых равными физиологических объемах разведения комплексонов. Аналогичные различия отмечают и другие исследователи [7, 8]. Большинство из них считает, что физиологические объемы разведения ЭДТА и ДТПА, а значит, и количество контактирующего с введенным комплексоном эндогенного цинка различаются.

Таким образом, попытка свести различие в эффективности рассмотренных комплексонов лишь к различию констант устойчивости и степени кислотной диссоциации при неизменном количестве эндогенного цинка $[Zn]_t$ оказалась неудовлетворительной.

II. Будем считать, что возможно частичное восполнение доступной фракции цинка при связывании в организме металла комплексоном. При общем содержании цинка 0,16 мкгмоля в плазме крысы весом 200 г около 34% этого количества прочио связано с биолигандами [9]. Если даже считать, что комплексы ЭДТА и ДТПА проникают в межклеточное пространство, то и в этом случае доступного цинка в жидкостях организма (а значит, и $[Zn]_t$) меньше, чем выводимое комплексоном количество металла (см. табл. 2). Необходимо допустить поэтому, что инъекция комплексона затрагивает не только экстракеллюлярный эндогенный цинк, но и выводит определенное количество внутриклеточного цинка. Вопрос заключается в том, каким образом эта мобилизация происходит: имеет ли место проникновение комплексона через клеточные мембранны¹, или же часть подвижного внутриклеточного цинкового пула диффундирует из клетки, восполняя образовавшийся после инъекции комплексона дефицит металла в сыворотке и межклеточной жидкости.

Подобная картина отмечена при выведении иттрия-91 комплексоном ДТПА [10]. Авторы вводят понятия физико-химической и гистологической доступности металла. При этом отмечается возможность восполнения доступной части при последующих инъекциях комплексона.

При инъекции комплексона происходит связывание не только легко-доступного эндогенного цинка, но и поступающего из клеток. Количество же последнего определяется вызванным комплексоном дефицитом металла в экстракеллюлярном объеме. Степень дефицита будет зависеть от дозы комплексона и константы устойчивости образуемых комплексов. Рассмотрим это подробнее.

Предположим, что эндогенный металл (цинк) обладает настолько высокой подвижностью, что упомянутые процессы компенсации дефицита металла происходят уже в течение пребывания комплексона в организме. Будем считать далее, что при одинаковых объемах разведения комплексонов

¹ Повышенное содержание радиоактивного углерода (в опытах применяли меченные по C^{14} комплексы ЭДТА и ДТПА) в клетках печени, почек и желчи по сравнению с содержанием его в крови дало основание ряду авторов допустить возможность внутриклеточной локализации комплексона (например, [7]).

сона общее количество взаимодействующего с ними цинка также зависит от константы устойчивости комплекса и величины вводимой дозы $[CaL]_t$:

$$[Zn]_t = f(K_{уст}, [CaL]_t). \quad (6)$$

Учитывая высокую константу устойчивости комплексов ЭДТА и ДТПА с цинком, можно пренебречь свободной формой $[Zn]$, которая после взаимодействия с комплексоном остается в организме. Тогда

$$[Zn]_t = [ZnL].$$

Рассмотрим отдельно зависимость от дозы комплексона. С увеличением вводимой дозы все большее количество эндогенного цинка становится доступным действию комплексона. Однако количество металла в организме ограничено (при этом часть цинкаочно связана биолигандами), и возрастающие дозы комплексона все с большим трудом мобилизуют металл. Будем считать поэтому, что восполнение доступной доли цинка

$$\frac{d[Zn]_t}{d[CaL]_t}$$

обратно пропорционально вводимой дозе комплексона:

$$\frac{d[Zn]_t}{d[CaL]_t} = \frac{a}{[CaL]_t}. \quad (7)$$

Интегрирование этого выражения приводит к зависимости

$$[Zn]_t = a \lg [CaL] + B.$$

Параметры a и B определялись методом регрессионного анализа:

$$a \quad B, \text{ моль/л} \quad \delta = \frac{\sum \Delta^2}{n}$$

| | | | |
|----------------|---------------------------------|----------------------------------|-----------------------|
| ЭДТА | $(7,5 \pm 0,37) \cdot 10^{-6}$ | $(36,47 \pm 1,37) \cdot 10^{-6}$ | $0,89 \cdot 10^{-12}$ |
| ДТПА | $(9,66 \pm 1,10) \cdot 10^{-6}$ | $(54,72 \pm 4,10) \cdot 10^{-6}$ | $8,99 \cdot 10^{-12}$ |

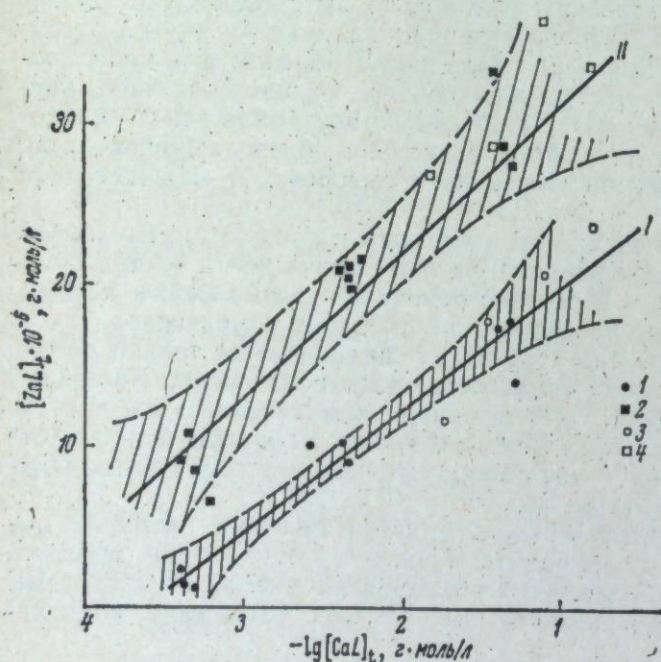
К сожалению, значительный разброс экспериментальных данных не позволяет сделать окончательные выводы по предполагаемому механизму.

Однако меньшее среднее квадратичное отклонение расчетных прямых от экспериментальных точек ($\delta_{\text{ЭДТА}} = 0,89 \cdot 10^{-12}$, $\delta_{\text{ДТПА}} = 8,99 \cdot 10^{-12}$) по сравнению с ранее рассмотренным вариантом ($\delta_{\text{ЭДТА}} = 5,24 \times 10^{-12}$, $\delta_{\text{ДТПА}} = 22,28 \times 10^{-12}$) дает основание считать, что принятые нами предположения о механизме восполнения доступного металла [уравнение (7)] в большей мере соответствуют процессам, происходящим в организме.

Статистически недостоверное отличие коэффициентов a предполагает, что зависимость $[Zn]_t$ от дозы комплексона

Концентрация эндогенного цинка $[ZnL]_t$, взаимодействующего с различными дозами комплексонов Са-ЭДТА (I) и Са-ДТПА (II). $P=0,95$.

I—2 — данные работы [4]; 3—4 — данные работы [11].



для Са-ЭДТА и Са-ДТПА, выраженная наклоном прямых (см. рисунок), примерно одинакова. Параллельность полученных прямых, казалось бы, должна свидетельствовать о неисчерпаемости в организме цинка, доступного действию комплексона². Однако количество цинка ограничено, и, несмотря на постоянное восполнение его из ЖКТ и большую подвижность, значительное увеличение дозы комплексона неизбежно должно привести к ограничению величины $[Zn]_t$. Имеющиеся экспериментальные и расчетные данные не обнаруживают подобного ограничения $[Zn]_t$. Это говорит, видимо, о том, что в рассматриваемом диапазоне доз комплексона мы еще далеки от общего и значительного обеднения организма цинком. Поэтому те токсические явления, которые наблюдаются при этих дозах, возможно, связаны не с общим понижением уровня цинка, а с поражением отдельных, наиболее чувствительных систем организма.

Необходимо отметить также, что отличие прямой I (ДТПА) от прямой II (ЭДТА) сводится к статистически значимому ($p < 0,05$) различию коэффициентов B , которые, вероятно, учитывают зависимость $[Zn]_t$ от величины константы устойчивости (см. рисунок). Делать по этому поводу более конкретные выводы не представляется возможным, так как в нашем распоряжении имеются лишь данные по двум комплексонам.

В заключение необходимо отметить, что определяемую нами величину $[Zn]_t$, вероятно, не следует отождествлять с содержанием этого элемента в каких-либо тканях, клеточных органеллах, компонентах межклеточной жидкости или иных системах организма. Скорее всего, величина эта является в значительной мере формальным показателем подвижности общеорганизменного цинкового пула, характеризующей ответную реакцию внутренней среды на сдвиги в минеральном фоне организма, вызываемые инъекцией комплексона.

ЛИТЕРАТУРА

1. Tagui Seuchiigō. Med. J. Osaka Univ., 1960, 10, 499.
2. В. С. Безель, С. А. Шерстобитов, Г. И. Флорова. Метаболизм радионизотопов в животном организме. Труды Ин-та экологии растений и животных, 1974, вып. 89, стр. 82.
3. У. Ньюман, М. Ньюман. Минеральный обмен кости. М., ИЛ, 1961.
4. F. Havlicek. Strahlentherapie, 1967, 134, 296.
5. H. Foreman. The Pharmacology of Some Useful Chelating Agents. Philadelphia, 1960.
6. F. Havlicek, F. Bohne, H. Zorn. Strahlentherapie, 1968, 136, 601.
7. F. Bohne, A.—E. Hartmut-Hoene, K. Kürzinger, F. Havlicek. Strahlentherapie, 1968, 136, 609.
8. W. Jammers, A. Catsch. Zs. Naturwiss., 1967, 22, 588.
9. G. F. Gilbert, D. M. Taylor. Biochem. Biophys. Acta, 1956, 21, 545.
10. Д. И. Семенов, И. П. Трегубенко, Г. А. Меньшикова, М. Н. Белова. Теоретические вопросы минерального обмена. Труды Ин-та экологии растений и животных УФАН СССР, 1970, вып. 68, стр. 95.
11. P. Dvorak. Strahlentherapie, 1970, 139, 5, 611.

² На рисунке приведены также данные работы [11], в которой содержание эндогенного цинка в моче крыс определялось после инъекции животным комплексонов в больших дозах (от 1,0 до 8,0 моль/кг).

В. С. БЕЗЕЛЬ, С. А. ШЕРСТОБИТОВ, Г. И. ФЛОРОВА

ВЛИЯНИЕ КОМПЛЕКСОНОВ НА СОДЕРЖАНИЕ ЦИНКА В ОРГАНИЗМЕ ЖИВОТНЫХ

Токсичность применяемых в клинике комплексообразующих соединений в значительной мере определяется обеднением организма необходимыми ему эндогенными металлами. Однако исследование повышенной экскреции металлов из организма человека показало лишь возрастание в 1,5–2,0 раза выделение таких катионов, как железо, медь, марганец [1–7]. Наиболее интенсивно выводится из организма под действием комплексонов эндогенный цинк (наблюдалось увеличение экскреции в 10–20 раз) [2, 5–7]. Это кажется неожиданным, если принять во внимание достаточно высокие терапевтические дозы применяемых комплексонов ЭДТА и ДТПА, а также значительные константы устойчивости их с большинством эндогенных металлов. Подобная устойчивость внутреннего гомеостаза металлов при инъекции комплексонов может быть обусловлена, с одной стороны, сильной связью металлов с биолигандами (например, связь железа в трансферрине или меди в циркулоплазмине), с другой стороны, можно предположить наличие в организме легко мобилизуемой подвижной фракции металла, быстро восполняющей дефицит катионов в жидкостях организма [6–8].

Мы обратили внимание на высокую специфичность комплексонов к эндогенному цинку и рассчитывали, что экстремально высокие дозы хелатов при отсутствии восполнения металла из желудочно-кишечного тракта заметно снизят содержание цинка в отдельных органах и тканях животных. Подобные данные позволили бы говорить о различии в доступности эндогенного цинка разных систем организма.

Опыт ставили на шестимесячных крысах (самцах) линии «Вистар». Животные голодали в течение суток (дистиллированная вода ad libitum). После этого проводилась трехкратная, через 2 ч, внутрибрюшинная инъекция Са-ЭДТА в дозах по 200 мкгмоль на животное (общая доза 600 мкгмоль). Мочу и кал собирали раздельно в течение 6 ч, после чего животных забивали. Контрольная группа животных после суточного голодания в те же сроки получала внутрибрюшинно равные объемы изотонического раствора NaCl. В золе органов и тканей после лиофильной сушки (температура не выше 105°C) определяли содержание цинка методом нейтронно-активационного анализа. Навески облучались в канале реактора в течение 20 ч. После 20-дневного охлаждения образцов измеряли гамма-активность проб полупроводниковым детектором типа ДГДК с чувствительным объемом в 22 см³.

Основные данные по опытным животным и результаты эксперимента приведены в табл. 1. Общее количество мягких тканей (мышцы) в животном считали равным 45% веса [9]. Вес скелета определяли по весу бедренной кости крысы увеличением в 20 раз.

Таблица I
Концентрация цинка в органах и тканях крыс в контроле и после инъекции комплексона (общая доза 600 мкгмоль, средний вес животных 322,10±32,27 г в скобках указано количество животных)

| Органы и выделения | Средний вес, г | | Концентрация цинка, 10 ⁸ г на 1 г сухой ткани | |
|---------------------------------|----------------|-------------|--|----------------|
| | сырой | сухой | после инъекции | контроль |
| Скелет | 18,50±2,08 | 12,5±1,32 | 17,81±1,88(9) | 20,09±3,38(9) |
| Мышцы | 146,88±11,83 | 30,05±2,90 | 4,10±1,10(9) | 3,90±0,76(7) |
| Печень | 7,88±0,48 | 2,14±0,14 | 10,07±1,03(9) | 11,11±2,43(9) |
| Почки | 1,85±0,15 | 0,403±0,024 | 6,56±1,39(9) | 8,27±1,06(9) |
| Селезенка | 0,581±0,038 | 0,125±0,067 | 4,42±2,25(8) | 5,03±2,05(7) |
| Предстательная железа | 0,591±0,150 | 0,130±0,040 | 8,15±1,44(9) | 10,64±0,87(9) |
| Кровь, мл | 1,0 | 0,191±0,033 | 0,295±0,15** (7) | 0,472±0,098(5) |
| Моча за 6 ч, мл | 2,26±0,49* | — | 16,48±2,66*** (8) | 1,13±0,275(9) |
| Кал за 6 ч | 0,445±0,285 | 0,324±0,18 | 57,33±49,49*** (8) | 43,17±39,31(5) |

* В контроле 3,24±1,29 мкг.

** Концентрация цинка в цельной крови выражена в г/мл.

*** Приведено среднее количество цинка, выведенное из организма крысы в течение эксперимента, в изживотное.

Концентрация цинка в органах и тканях контрольных животных удовлетворительно совпадает с имеющимися в литературе данными [10–13]. Концентрация цинка в моче контрольных животных, по нашим данным, составляет 3,5 мкг/мл, что несколько выше аналогичных литературных данных [5, 14].

После инъекции комплексона содержание цинка в большинстве органов (скелет, печень, почки, предстательная железа, селезенка) уменьшается (см. табл. 1). Однако разброс экспериментальных данных позволяет нам говорить в дальнейшем о статистически значимых сдвигах содержания цинка лишь в крови и почках опытных животных ($p < 0,05$). Так, в цельной крови количество цинка уменьшилось в 1,6 раза, в почках — в 1,26 раза. Наибольшие сдвиги при инъекции комплексонов отмечены в моче, где содержание цинка увеличилось в 14,6 раза.

В табл. 2 приведена оценка общего содержания цинка в органах и выделениях контрольных крыс, а также изменения, вызванные инъекцией комплексона. Наибольшее количество цинка цельной крови находится в эритроцитах (по Валли [15] — до 85%). Внутриклеточная локализация цинка делает его слабо доступным непосредственному связыванию комплексоном. Однако концентрация цинка в сыворотке крови отличается постоянством и, благодаря высокой интенсивности обмена, даже при внутривенном введении металла наблюдается быстрое равновешивание цинка между плазмой и форменными элементами крови [8, 16, 17]. Поэтому общее снижение уровня цинка в цельной крови, наблюдавшееся в нашем эксперименте после инъекции комплексона, отражает, вероятно, уменьшение концентрации этого металла как в эритроцитах, так и в плазме и межклеточной жидкости. При оценке общего содержания цинка мы приняли объем жидкостей организма равным 25% веса тела животных. Удовлетворительное совпадение количества цинка, выведенного из организма в результате инъекции комплексона, с возросшей экскрецией этого металла с мочой (см. табл. 2) говорит в пользу правомерности проведенных оценок.

Таблица 2
Содержание цинка в тканях и выделениях крыс, мкгмоль

| Органы и выделения | Контрольные животные | Изменение содержания после инъекции |
|---------------------------------|----------------------|-------------------------------------|
| Скелет | 38,90 | — |
| Мышцы | 18,00 | — |
| Печень | 3,65 | — |
| Селезенка | 0,10 | — |
| Предстательная железа | 0,21 | — |
| Почки | 0,51 | -0,11 |
| Кровь и межтканевая жидкость | 5,82 | -2,18 |
| Итого | 67,19 | -2,29 |
| Выделено за 6 ч | | |
| Моча | 0,17 | +2,35 |
| Кал | 6,62 | — |
| Итого | 6,79 | +2,35 |

плексона (известно, что Са-ЭДТА полностью выводится через почки с периодом полувыведения около часа [18]).

Необходимо отметить в заключение, что в нашей работе животным вводили дозы, значительно превышающие по молярности общее содержание цинка в организме (600 мкгмоль на животное). При этом количество закомплексованного и выводимого эндогенного металла не превышало 1/200 часть суммарной дозы комплексона. Если учесть, что константа устойчивости Zn-ЭДТА превышает константу устойчивости Са-ЭДТА почти на 6 порядков, то необходимо допустить, что доступной комплексону является лишь незначительная часть общего цинка организма. Основная часть металла либо гистологически недоступна вводимому комплексону, либо защищена от него высокими константами устойчивости с биолигандами.

ЛИТЕРАТУРА

1. J. Teisinger, V. Fiserova-Bergerova. Arch. Gewerb. Generb., 1958, 66, 478-489.
2. H. M. Perry, E. F. Perry. J. Clin. Invest., 1959, 38, 1452.
3. Tariu Senchiro. Med. J. Osaka Univ., 1960, 10, 499.
4. J. Tripod. Iron metabolism. Berlin, Springer — Verlag, 1960, 502.
5. M. J. Millar, M. J. Fischer и др. Nature, 1954, 174, 4436.
6. F. Havlicek. Strahlentherapie, 1967, 134, 2, 296.
7. A. Catsch. Dekorporierung radioaktiver und stabilier Metallionen. München, 1968.
8. В. А. Леонов, Т. Л. Дубина. Цинк в организме человека и животных. Минск, «Наука и техника», 1971.
9. Д. И. Закутинский, Ю. Д. Парфенов, Л. Н. Селиванова. Справочник по токсикологии радиоактивных изотопов. М., Атомиздат, 1962.
10. I. L. Everett, C. L. Day, F. Bergel. J. Phagm., 1964, 16, 85.
11. A. S. Prasad. Fed. Proc., 1967, 26, 172.
12. A. S. Prasad, P. Oberleas, P. Wolf, J. P. Horwitz. J. Clin. Invest., 1967, 46, 549.
13. Т. Л. Дубина. Докл. БССР, 1964, 8, 541.
14. A. E. Hartmut-Hoene. Strahlentherapie, 1967, 134, 1.
15. B. L. Vallee. Phys. Rev., 1959, 39, 443.
16. G. E. Sheline, I. L. Chaikoff, H. B. Jones, M. J. Montgomery. J. Biol. Chem., 1943, 149, 139.
17. E. Dennes, R. Tupper, A. Wormall. Biochem. J., 1962, 82, 466.
18. H. Foreman. Metal-Binding in Medicine. Philadelphia — Montreal, 1960.

Несмотря на то, что максимальное содержание цинка наблюдается в скелете (до 39 мкгмоль) и мышцах (до 18 мкгмоль), наиболее существенные сдвиги имеют место лишь в почках и крови животных. Этого следовало ожидать, если предположить, что степень воздействия комплексона определяется не столько общим содержанием металла в органе, а в первую очередь теми локальными концентрациями комплексона, которые создаются в организме животных при инъекции. Комплексон распределяется в жидкостях организма, а поэтому именно в крови и межтканевой жидкости должны наблюдаться его максимальные концентрации. В аналогичных условиях оказываются и почки, которые фильтруют через себя всю дозу вводимого комплексона (известно, что Са-ЭДТА полностью выводится через почки с периодом полувыведения около часа [18]).

1974

АКАДЕМИЯ НАУК СССР · УРАЛЬСКИЙ НАУЧНЫЙ ЦЕНТР
МЕТАБОЛИЗМ РАДИОИЗОТОПОВ В ЖИВОТНОМ ОРГАНИЗМЕ

З. В. ДУБРОВИНА

ОБ ОБМЕНЕ СТРОНЦИЯ И КАЛЬЦИЯ В СКЕЛЕТЕ КРЫС ПРИ НЕПОЛНОЦЕННОМ КАЛЬЦИЕВОМ ПИТАНИИ

Известно, что уровень вводимого в организм кальция заметно влияет на величину отложения в скелете радиоактивного стронция [1-4], но необходимы более детальные исследования состояния отдельных процессов обмена стронция в костной ткани в этих условиях.

При изучении обмена радиостронция, так же как и некоторых других элементов (Ca, Mg, Ba), в последние годы широко используется кинетический анализ [5, 6] с рядом модификаций [7, 8]. В основу его положено предположение о том, что за относительно короткий срок (у крыс не более 24 ч после парентерального введения) отложение кальция-45 или стронция-90 в скелете может быть описано двумя процессами: обменом с легкообменным фондом кальция в скелете и акрецией, т. е. скоростью включения кальция во вновь образуемые и «старые» кристаллы за счет внутрикристаллического обмена. При этом резорбция радиоактивного изотопа из кости за этот промежуток времени невелика и ее можно пренебречь.

В соответствии с данной предпосылкой задержка кальция-45 (Sr^{90} , Ba^{140}) в кости за счет обмена пропорциональна специфической активности сыворотки в данное время, а за счет акреции — средней специфической активности сыворотки и времени. Таким образом, общая задержка кальция-45 (Sr^{90}) в кости описывается суммой двух уравнений:

$$Ca_t^{45} = ES_t + AS_m T,$$

где Ca_t^{45} — задержка в скелете Ca^{45} за время t , % от введенного;

S_t — специфическая активность сыворотки за время t :

$$\frac{Ca^{45}, \% \text{ от введенного}}{Ca, \text{ мг}},$$

S_m — средняя специфическая активность сыворотки за период, равный T ;

T — интервал времени между введением радиоизотопа и наблюдением;

E — обменный фонд Са в скелете, мг;

A — скорость акреции Са, мг/час.

Вторую часть уравнения можно представить в виде интеграла

$$A \int_0^t S dt.$$

Решая систему из двух уравнений за два промежутка времени, можно найти A и E . В соответствии с литературными данными [5, 6, 8], кото-

Таблица 1
Вес крыс, г

| Группа | Время от начала опыта, сутки | | |
|--------|------------------------------|-------|-------|
| | 9 | 32 | 95 |
| I | 120±2 | 136±3 | 271±6 |
| II | 128±2 | 143±2 | 284±1 |
| III | 115±2 | 110±2 | 217±6 |
| IV | 121±3 | 130±4 | 263±8 |

рые подтвердились и в наших экспериментах, для крыс такие определения необходимо проводить в интервале между 8 и 16 часами с момента введения, так как к этому периоду устанавливается и поддерживается относительное равновесие между специфической активностью сыворотки и легкообменным фондом Са в организме, в том числе и в кости.

Установлено [5, 6], что с помощью данного метода можно получить характеристику состояния кальциевого обмена в кости, используя любой из трех остеотропных изотопов: кальций, стронций или барий. Нами

этот метод использован для получения сведений о состоянии обмена Sr и Ca в скелете крыс, получающих различный по уровню Ca рацион.

С этой целью четыре группы белых крыс весом 80—90 г, всего 256 животных (половина самцов и половина самок), через 5—7 дней после окончания молочного вскармливания были переведены на смешанный рацион с низким содержанием Ca. С первых дней опыта все группы получали добавки кальция к корму: первые три — в виде CaCl, четвертая — в виде мела; I группа получала дефицитный по Ca рацион, II — нормальный, III и IV — повышенный. За нормальный уровень Ca в диете животных различного возраста принимались величины, приведенные в работе [9]. При таком составе рациона кальций составлял 0,25; 0,5—0,55 и 1—1,1% от сухого веса по группам, соответственно, а фосфор 0,4—0,45%.

Включение в опыт IV группы было необходимо для последующей оценки значения формы добавленного Ca в процессе появления токсических свойств вводимого дополнительного кальция.

Дважды в течение опыта — через 32 и 95 суток — на отдельных группах животных определялось состояние кальциевого обмена в скелете по методу Bauer и др. После суточного голодания животным вводили внутрибрюшинно Sr⁹⁰Cl₂ и Ca⁴⁵Cl₂ по 1 и 3 мкюори, соответственно. Животных забивали группами по 3—5 крыс через 10, 30 мин, 1, 2, 4, 6, 8, 12 и 24 ч после введения активности. Анализировали две бедренные кости и сыворотку крови. Определяли содержание в них стронция-90 и кальция-45, а также стабильного кальция.

Как показали наблюдения (табл. 1), вес крыс в группах был неодинаков. Быстрее росли животные с нормальным кальциевым питанием (II группа), медленнее — крысы III группы. В IV группе, получавшей Ca в виде мела, животные росли несколько лучше, чем в III, но заметно отставали от нормы. Различия между всеми группами статистически достоверны ($p < 0,05$) на 95-е сутки, а между II и III — в течение всего опыта.

В табл. 2 приведен вес двух бедренных костей и содержание в них кальция через 9; 32 и 95 суток от начала опыта. Видно, что первые девять суток вес бедренных костей и содержание в них кальция были максимальными в III группе (высококальциевой), к концу опыта и вес кости, и содержание в ней кальция заметно ниже, чем у животных других групп. Различия в содержании кальция между I и II группами статистически достоверны во все три срока исследований ($p < 0,001$), между II и III — только на 95-е сутки ($p < 0,001$). Крысы, получавшие мел, также отставали от нормы и по весу бедренных костей, и по содержанию в них кальция ($p < 0,05$). Однако степень минерализации кости по группам заметно не различалась, как и содержание кальция в сыворотке крови.

Таблица 2
Вес двух бедренных костей и содержание в них кальция ($M \pm m$)

| Группа | Время от начала опыта, сутки | | | | | | | | | | | |
|----------------------|------------------------------|--------|-------------------------|----------------------|---------|--------|-------------------------|----------------------|---------|---------|-------------------------|------|
| | 9 | | 32 | | 95 | | | | | | | |
| Количе- ство крыс | Вес кос- тей, мг | Са, мг | Са, % общему весу | Количе- ство крыс | Вес, мг | Са, мг | Са, % общему весу | Количе- ство крыс | Вес, мг | Са, мг | Са, % общему весу | |
| I | 17 | 372 | 52±1 | 14 | 18 | 532 | 85±3 | 15,2 | 48 | 972±1,6 | 194±7 | 20,0 |
| II | 15 | 413 | 66±3 | 15,9 | 15 | 620 | 101±4 | 16,5 | 42 | 1091±2 | 223±5 | 20,3 |
| III | 13 | 455 | 68±2 | 15,0 | 14 | 550 | 91±5 | 16,2 | 37 | 894±46 | 180±6 | 20,2 |
| IV | — | — | — | — | 19 | 580 | 100±4 | 17,3 | 18 | 1003±26 | 266±7 | 20,5 |

Результаты по специфической активности сыворотки (S_t) были подвергнуты корреляционному анализу. Как оказалось, изменение S_t с течением времени удовлетворительно описывается степенной функцией $S_t = S_{10} t^{-b}$, где S_{10} — специфическая активность при $t=10$ мин. Как показало предварительное специальное исследование, максимальное содержание изучаемых радиоизотопов в крови при их внутрибрюшинном введении наблюдается к 10 мин.

Из табл. 3 видно, что показатель степени b увеличивается с ростом содержания Ca в диете. Это свидетельствует о том, что очищение сыворотки от кальция-45 и стронция-90 происходит тем быстрее, чем богаче кальцием пища. Такой вывод справедлив как для раннего срока наблюдения, так и для позднего. Обращает на себя внимание сходство полученных величин b для кальция-45 и стронция-90; S_{10} для стронция-90 во всех случаях несколько выше, чем для кальция-45.

Используя полученные выше константы уравнений,

были рассчитаны S_t и $\int_0^t S_{bt}$ для 6, 8, 12, 16 и 24 часов.

На рисунке представлено изменение активности скелета по группам на 95-е сутки. Как видно, в первые несколько часов после введения различия в содержании радиоизотопов в кости между группами статистически недостоверны. Позже, после 12—16 ч, выведение активности значительно выше в группах с высоким содержанием кальция. Различие между II и III, II и IV группами в этот поздний период статистически достоверно ($p < 0,01$ и $0,05$, соответственно). Аналогичная ситуация наблюдалась и на 32-е сутки опыта.

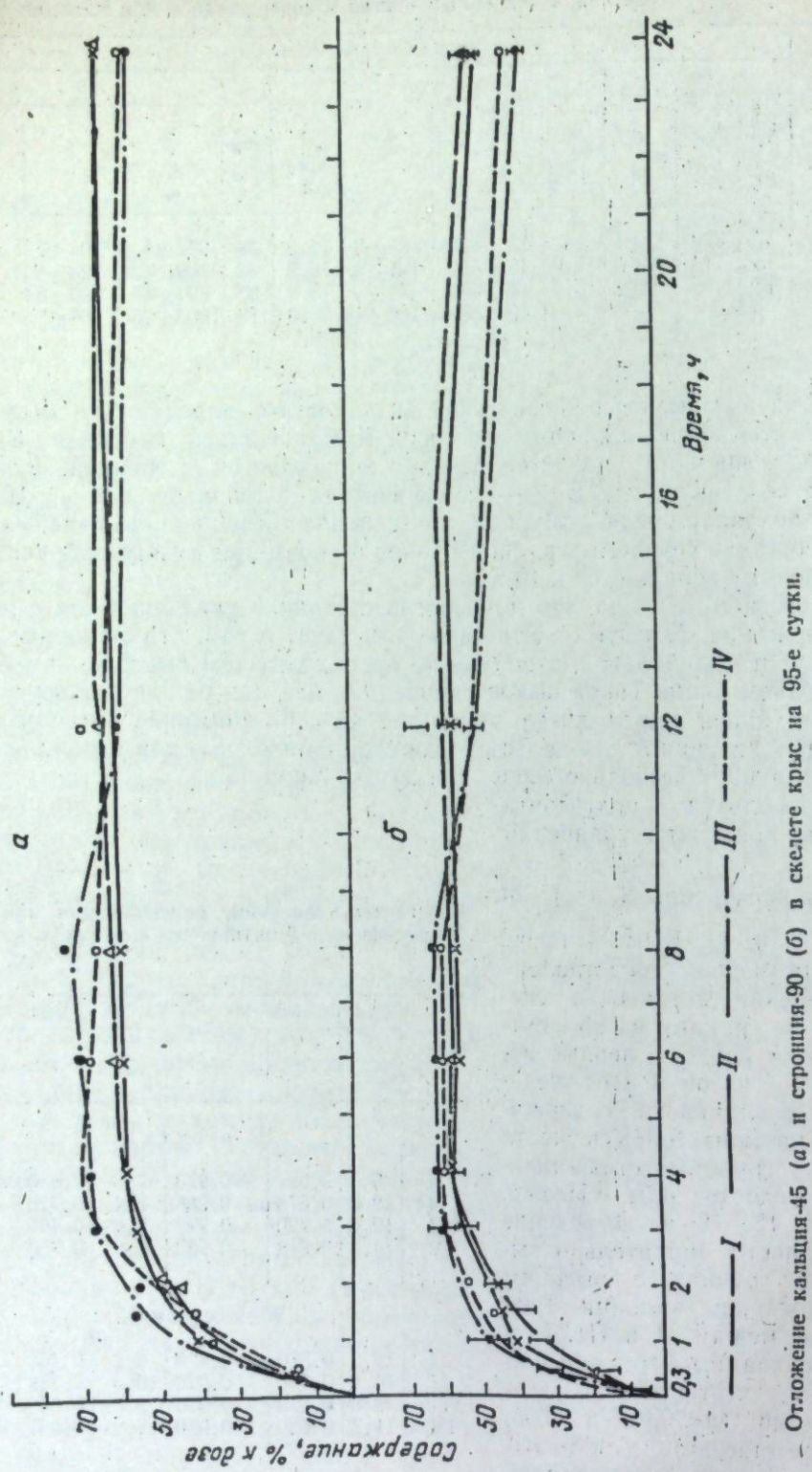
Таблица 3
Константы уравнений, описывающих изменение специфической активности сыворотки за сутки ($S_t = S_{10} t^{-b}$)

| Группа | Стронций-90 | | | Кальций-45 | | |
|------------|-------------|-------|--------|------------|-------|--------|
| | S_{10} | b | p | S_{10} | b | p |
| 32-е сутки | | | | | | |
| I | 9,3 | 0,584 | —0,973 | 7,3 | 0,630 | —0,970 |
| II | 12,0 | 0,678 | —0,988 | 9,4 | 0,710 | —0,990 |
| III | 12,6 | 9,720 | —0,972 | 9,0 | 0,700 | —0,970 |
| IV | 14,4 | 0,818 | —0,982 | 9,0 | 0,750 | —0,980 |
| 95-е сутки | | | | | | |
| I | 12,0 | 0,570 | —0,870 | 6,9 | 0,468 | —0,903 |
| II | 14,8 | 0,600 | —0,920 | 10,5 | 0,588 | —0,948 |
| III | 18,0 | 0,820 | —0,950 | 9,5 | 0,662 | —0,912 |
| IV | 11,7 | 0,630 | —0,970 | 7,9 | 0,607 | —0,979 |

Примечание. Для всех коэффициентов корреляции $p < 0,01$.

Таблица 4
Скорость аккреции (A)
и обменный фонд кальция
(E) в скелете

| Группа | A, мг/час на скелет | E, мг |
|------------|------------------------|-------|
| 32-е сутки | | |
| I | 6,7 | 35 |
| II | 9,1 | 24 |
| III | 6,9 | 29 |
| IV | 8,5 | 24 |
| 95-е сутки | | |
| I | 4,6 | 28 |
| II | 5,5 | 21 |
| III | 5,3 | 57 |
| IV | 6,0 | 43 |



В табл. 4 приведены данные о скорости аккреции и легкообменном фонде кальция у опытных животных. Видно, что к 32-м суткам скорость аккреции кальция в группе с нормальным кальциевым питанием несколько выше, чем в других. К 95-м суткам скорость аккреции у животных первых двух групп несколько замедляется, особенно заметно во II. При высоком поступлении кальция (III и IV группы) за этот период скорость аккреции изменилась мало. Это привело к тому, что к 95-м суткам скорость аккреции кальция во всех группах оказалась примерно одинаковой.

Обменный фонд кальция в ранний период исследований во всех группах был примерно одинаков, а к 95-м суткам появились заметные различия: в II и IV группах он оказался в 2—2,5 раза выше, чем у животных на нормальном кальциевом рационе. Нетрудно рассчитать, что на 95-е сутки за 8 ч, т. е. за период установления равновесия между специфической активностью сыворотки и обменным фондом скелета, в кость включалось кальция за счет обмена и аккреции по 65 мг в I и II группах и 90—95 мг — в III и IV, т. е. в высококальциевых группах почти в 1,5 раза больше. Этому соответствовало и большее содержание радионизотопов в скелете в III и IV группах к 6—8 ч. Увеличение обменного фонда кальция в кости крыс в этих группах объясняет и ускоренное выведение активности из кости этих животных после 12—16 ч. Так, через 6—8 ч после введения задержка стронция-90 в скелете животных I и II групп составила 53 и 56%, а в III и IV — 63 и 67%, соответственно; через 24 ч — 52±3, 50±6, 37±4 и 41±4%, соответственно.

Следует отметить, что в более ранний срок опыта (на 32-е сутки) все нарушения обмена кальция в скелете животных III и IV групп были менее заметны. Это, видимо, означает, что явления нарушения обмена кальция в кости при повышенном поступлении его с пищей нарастают постепенно, с увеличением длительности опыта.

Таким образом, приведенные выше данные свидетельствуют о том, что длительное поступление повышенного уровня кальция с пищей приводит к нарушению кальциевого обмена в скелете: увеличивается количество легкообменного кальция в кости, а следовательно, и скорость обмена кальцием между кровью и костью; изменяется нормальная возрастная динамика скорости аккреции. Это сопровождается усиленной резорбцией кальция из кости. К последнему выводу можно прийти, если сопоставить данные об аккреции кальция в кость и о приросте его в скелете (см. табл. 2). Так, к 95-м суткам в группах с нормальным и повышенным кальциевым питанием скорость аккреции была одинаковой, а прирост — различным.

Однако эти явления нельзя полностью объяснить только видом вводимого кальция, поскольку в III и IV группах характер нарушений был аналогичен, хотя при поступлении кальция в виде мела эти нарушения были несколько менее выражены.

Можно предположить, что токсический эффект повышенного уровня кальция в пище обусловлен возможной примесью стабильного стронция к соли кальция. Однако анализ, выполненный В. М. Лебедевым методом

пламенной фотометрии, показал, что содержание стабильного стронция в золе кости животных III группы было даже несколько понижено.

Нарушение кальциевого обмена трудно объяснить изменением соотношения Ca:P в диете III и IV групп по сравнению с нормой, так как это отношение имеет значение только в случае, если в пище мало кальция или фосфора, и не имеет такого значения, если оба элемента присутствуют в требующихся для нормального обмена количествах [10]. Однако определение содержания фосфора и кальция в моче у животных опытных групп показало, что в высококальциевых группах выведение фосфора было понижено в несколько раз по сравнению с контролем, а кальция — увеличено. Это позволяет предположить, что в нарушении обмена все-таки определенная роль принадлежит диспропорции между всосавшимися кальцием и фосфором во внутренней среде организма.

Необходимо остановиться на различиях в поведении кальция и стронция между I и II группами. Крысы на дефицитной по кальцию диете в течение всего опыта отставали в весе от животных на нормальном рационе. Кальцинация кости у них была также несколько замедлена, что совпадает с данными работы [4]. У этих крыс в первую половину опыта была понижена скорость акреции и несколько увеличено количество легкообменного кальция в скелете. Однако эти различия с течением времени уменьшаются в противоположность явлениям, наблюдающимся при обогащении кальцием рациона. В этой связи можно сделать вывод, что недостаток кальция в диете (примерно в 2 раза по сравнению с уровнем нормальной физиологической потребности) приводит к неблагоприятным явлениям, но менее выраженным, чем при поступлении кальция до 1% от веса рациона (в хорошо усвоемой форме).

Сопоставляя данные разных экспериментов, можно прийти к выводу, что тяжесть возникающих нарушений зависит не только от длительности ненормального кальциевого питания, но и от возраста животных, в котором они начинают получать высокий по кальцию рацион: чем моложе были крысы в начале опыта, тем тяжелее наблюдающиеся нарушения их роста и развития. Принципиальных различий в поведении радиоактивных стронция и кальция при неполнценном кальциевом питании не было получено. Радиоактивный стронций вел себя только как метка движения кальция.

ЛИТЕРАТУРА

1. R. Thompson. Symposium on Radioisotopes in the Biosphere. Minneapolis, 1960, 514.
2. R. Palmer, R. Thompson. Amer. J. Physiol., 1964, 267, 3, 567.
3. П. М. Малкин. Вопросы радиобиологии и гематологии. Изд. Томского ун-та, 1966.
4. З. В. Дубровина, И. А. Сарапульцев. Радиобиология, 1968, 8, 1, 40.
5. G. Bauer, A. Carlsson, B. Lindquist. Acta physiol. scand., 1955, 35, 1, 56.
6. G. Bauer, A. Carlsson, B. Lindquist. Biochem. J., 1956, 63, 4, 536.
7. S. Coop, S. Lippincott, R. Gusmano, I. Robertson. Rad. Res., 1963, 19, 104.
8. D. Copp, A. Saiken. Use Radioisotopes Anim. Biol. a. Med. Sciences, 1962, 2, 63.
9. S. Hansard, H. Crouder. J. Nutr., 1957, 62, 3, 325.
10. R. Harris. Rad. Proc., 1959, 18, 4, 1100.

1974

АКАДЕМИЯ НАУК СССР · УРАЛЬСКИЙ НАУЧНЫЙ ЦЕНТР
МЕТАБОЛИЗМ РАДИОИЗОТОПОВ В ЖИВОТНОМ ОРГАНИЗМЕ

Р. М. МАЛКИНА, П. М. МАЛКИН

ДИНАМИКА ВСАСЫВАНИЯ ЦЕЗИЯ-137 ИЗ ЖЕЛУДОЧНО-КИШЕЧНОГО ТРАКТА КРЫС В ЗАВИСИМОСТИ ОТ КОНЦЕНТРАЦИИ КАЛИЯ

По литературным данным [1—4], цезий-137, поступивший в желудочно-кишечный тракт, всасывается с высокой скоростью: за 0,5—1,0 ч из пищеварительного тракта всасывается до 100% от введенного количества. Известно также, что увеличение поступления калия с рационом приводит в ряде случаев к снижению задержки цезия-137 в организме при его парентеральном поступлении [5—9].

Учитывая, что основным источником поступления в организм цезия-137 является пища, необходимо изучить пути снижения его поступления при пероральном введении цезия-137 с различными количествами калия. Имеющиеся в литературе данные не дают удовлетворительного ответа на этот вопрос. Можно предположить, что, являясь элементами одной группы, калий и цезий, подобно калию и рубидию, либо таким элементам-аналогам, как кальций и стронций, кальций и магний, транспортируются общими или взаимозависимыми механизмами и могут вступать в конкурентные отношения при всасывании, если у них есть общие переносчики [5, 6]. Не исключено, что снижение всасывания цезия при повышении концентрации калия в пищеварительном тракте является следствием простого разведения радиоизотопа стабильным элементом.

Но и в этом случае, увеличивая концентрацию калия в желудочно-кишечном тракте до каких-то пределов, вероятно, можно снизить скорость и величину всасывания радиоактивного цезия. Целью настоящей работы и была попытка снизить скорость всасывания цезия-137 с помощью калия.

Проведено три серии опытов, в которых исследовали динамику всасывания цезия-137 из пищеварительного тракта крыс в течение 24 ч после его поступления через рот без носителя, а также при совместном введении цезия-137 с 25 и 55 мг калия в виде хлористой соли (количество вводимого одновременно с цезием калия было ниже суточной нормы потребления этого элемента).

Материал и методика

Опыты проведены на беспородных белых крысах весом 170—190 г, содержащихся на обычном виварийном рационе, полноценном по минеральному составу. Cs^{137} и K^+ в виде растворов хлористых солей вводили по 1 мл через рот желудочным зондом. В различные сроки после введения (через 2, 5, 15, 30 мин, а также через 1, 1,5; 2, 3, 4, 5, 6, 7, 12 и 24 ч) крыс умерщвляли. Количество животных, использованных для отбора проб на каждый срок, было не менее пяти. О величине всасывания це-

Всасывание Cs^{137} из желудочно-кишечного тракта при разных уровнях калия в пищеварительном тракте

| K^+ , мг | t, ч | | | | | | | | | |
|------------|---------|---------|------|------|------|------|------|------|------|-------|
| | 0,033 | 0,083 | 0,25 | 0,5 | 1 | 1,5 | 2 | 2,5 | 3 | 4 |
| 0 | 28±1 | — | 55±2 | 41±3 | 70±5 | — | 70±4 | — | — | 80±4 |
| 25 | 29±2 | 32±2 | 52±2 | 50±3 | 69±4 | 73±5 | 69±4 | — | 78±6 | 80±5 |
| 55 | 7,0±0,3 | 6,0±0,6 | 24±4 | 44±3 | — | 55±3 | 60±4 | 70±3 | 72±4 | 71±10 |

зия-137 судили по разнице между введенным и оставшимся в пищеварительном тракте количеством радиоизотопа [9].

Для определения доли цезия-137 эндогенного происхождения во всей массе радиоизотопа, обнаруженного в пищеварительном тракте, были проведены два эксперимента: 1) цезий-137 вводили внутривенно без носителя, 2) параллельно с внутренним введением через рот зондом вводили 1 мл раствора KCl , содержащего 55 мг K^+ . Секрецию цезия-137 в желудочно-кишечном тракте определяли в динамике (через 0,5; 1; 4; и 24 ч) по количеству радиоизотопа, найденному во всем пищеварительном тракте (стенка+содержимое); содержание его в пищеварительном тракте — относительным методом при сопоставлении β -излучения проб, приготовленных из золы желудочно-кишечного тракта, и препаратов сравнения, приготовленных из вводимых растворов.

Концентрацию калия во вводимом растворе определяли методом пламенной фотометрии (определения производил старший инженер В. М. Лебедев).

Результаты опыта

Результаты радиометрии пищеварительного тракта у крыс трех экспериментальных групп показывают, что количество всосавшегося радиоизотопа в первые сроки после его поступления различается по группам (табл. 1). При введении 55 мг калия количество всосавшегося цезия в период от двух минут (0,033 ч) до полутора-двух часов ниже, чем у животных, которым цезий вводили без носителя либо с 25 мг калия. Через 3–5 ч это различие исчезает: количество всосавшегося радиоизотопа во всех группах становится практически одинаковым.

Как показала математическая обработка этих данных, содержание цезия-137 в кишечнике крыс в различное время (от 2 мин до 24 ч) может быть определено по сумме экспоненциальных функций вида

$$q_t = q_1 \left(Q_1 e^{-\frac{0,693t}{T_1}} + Q_2 e^{-\frac{0,693t}{T_2}} + Q_3 e^{-\frac{0,693t}{T_3}} \right),$$

где q_t — количество оставшегося в желудочно-кишечном тракте Cs^{137} на время t ;

q_1 — количество введенного Cs^{137} ;

T — время, за которое из пищеварительного тракта исчезает половина введенного Cs^{137} ;

Q — доля Cs^{137} , покидающего пищеварительный тракт за период T .

Параметры функций зависят от количества калия, введенного в желудочно-кишечный тракт: с увеличением поступления калия скорость исчезновения цезия-137 из кишечника снижается (табл. 2).

Таблица 1
пищеварительном тракте, % от введенного

| | 5 | 6 | 7 | 12 | 24 |
|------|------|------|------|------|----|
| — | — | 80±3 | — | 91±5 | |
| 81±4 | 82±3 | 83±3 | 84±4 | 86±6 | |
| 79±2 | 81±6 | 84±5 | 85±5 | 87±8 | |

Таблица 2
Значение коэффициентов Q и T при различном поступлении калия

| K^+ , мг | Q_1 | Q_2 | Q_3 | T_1 | T_2 | T_3 |
|------------|-------|-------|-------|-------|-------|-------|
| 0 | 0,39 | 0,36 | 0,35 | 3 | 30 | 17,0 |
| 25 | 0,59 | 0,21 | 0,20 | 6 | 60 | 43,5 |
| 55 | 0,36 | 0,46 | 0,18 | 21 | 90 | 42,5 |

Примечание: T_1 и T_2 — минуты; T_3 — часы.

Как видно, увеличение количества вводимого в кишечник калия не изменяет существенно соотношения фракций всасывающегося цезия, в то время как значения T_1 , T_2 и T_3 возрастают. Полученные уравнения с параметрами, приведенными в табл. 2, описывают экспериментальные результаты с высокими коэффициентами корреляции, которые рассчитывались, исходя из существования линейной связи между расчетными и экспериментальными величинами всасывания цезия-137:

| K^+ , мг/животное | p | p_0^* |
|---------------------|-------|---------|
| 0 | 0,936 | 0,834 |
| 25 | 0,965 | 0,834 |
| 55 | 0,969 | 0,798 |

* p_0 — p критическое для данного количества случаев ($p < 0,01$).

Следует отметить, что другие исследователи [9], изучавшие всасывание цезия-137 в течение четырех часов, при математической обработке данных обнаружили не менее двух фракций по скорости всасывания. Сравнение этих данных с нашими показывает, что величины фракций Q_1 и Q_2 и продолжительность их всасывания при введении цезия-137 без носителя довольно близки.

Из сопоставления величин T_1 и T_2 во всех экспериментальных группах (см. табл. 2) видно, что наиболее значительная скорость всасывания Cs^{137} наблюдается при его введении без носителя. При введении изотопа с 25 мг калия в ранние сроки скорость его всасывания снижается. Наименьшие значения скорости всасывания цезия-137 были получены при введении его с 55 мг калия. Следует отметить, что и в последующие сроки скорость всасывания изотопа в этой группе значительно ниже, чем в остальных.

Таким образом, приведенные данные показывают, что изменения количества калия, вводимого в пищеварительный тракт вместе с цезием-137, можно существенно изменить динамику его всасывания. Значительное уменьшение скорости всасывания его при введении калия может быть использовано для связывания основной массы изотопа высокоеффективными сорбентами.

ЛИТЕРАТУРА

1. Ю. И. Москалев. Распределение, биологическое действие и миграция радиоактивных изотопов. М., Медгиз, 1961, 5.
2. W. Moore. Intern. J. Rad. Biol., 1962, 5, 247.
3. J. Rundo. Brit. J. Radiol., 1964, 37, 108.

4. Л. А. Булдаков, Ю. И. Москалев. Проблемы распределения и экспериментальной оценки допустимых уровней C^{137} , Sr^{90} , Ru^{106} . М., Атомиздат, 1968.
5. S. Hood, C. Comar. Arch. biochem. a. biophys., 1953, 45, 423.
6. J. Charnock, J. Casely-Smith. Biochem. biophys. acta, 1966, 126, 350—360.
7. F. R. Mrag, M. Johnson. Endocrinology, 1958, 63, 2.
8. R. Wasserman, C. Comar. Rad Res., 1961, 15, 1.
9. W. Moore, C. Comar, R. Wasserman. Use Radioisotopes Anim. Biol. a. Med. Sci., 1962, 4, 117—122.

1974

АКАДЕМИЯ НАУК СССР · УРАЛЬСКИЙ НАУЧНЫЙ ЦЕНТР
МЕТАБОЛИЗМ РАДИОИЗОТОПОВ В ЖИВОТНОМ ОРГАНИЗМЕ

Н. В. МИКШЕВИЧ, В. Г. БЕРЕЗЮК

**ПРИМЕНЕНИЕ МЕТОДА ПЕНООБРАЗОВАНИЯ К ИЗУЧЕНИЮ
ФИЗИКО-ХИМИЧЕСКОГО СОСТОЯНИЯ ИТТРИЯ-91
В СЫВОРОТКЕ КРОВИ**

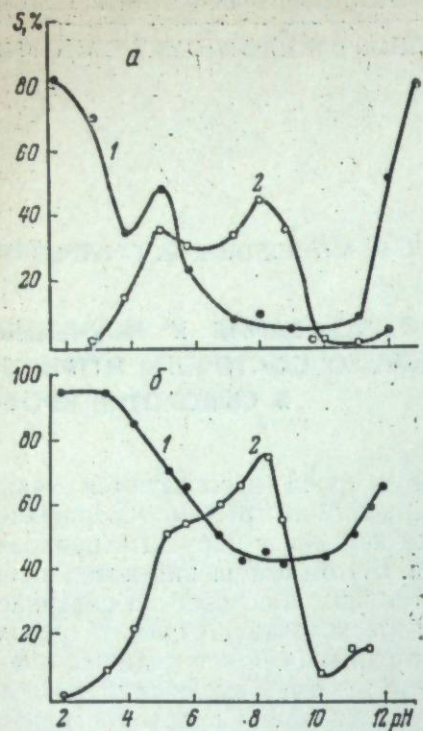
При изучении состояния радионуклидов в крови используются такие методы, как диализ, электромиграция, гель-хроматография, ультрафильтрация и др. [1—5], которые в ряде случаев могут нарушить равновесие между различными формами металла. В этом отношении метод пенообразования имеет свои преимущества, так как он основан на поверхностно-активных свойствах сыворотки [6], что позволяет судить о состоянии излучателя по распределению сывороточных белков и радиоизотопов между раствором и пеной фракцией. В литературе имеются данные по использованию процесса флотации для исследования поведения радиоактивных микрокомпонентов в растворах [7—9]. Известно также использование метода пенообразования в биологии и медицине в диагностических и аналитических целях [10]. В настоящей статье обсуждаются результаты эксперимента по применению этого метода для изучения состояния иттрия-91 в сыворотке крови.

Материал и методика

Белым крысам медленно (в течение 30 сек) инъектировали в хвостовую вену 0,5 мл кислого раствора (рН 1) исследуемого изотопа иттрия-91 в виде хлористой соли без носителя в количестве ~20 мкюри. Через 1—2 мин животное декапитировали, кровь центрифугировали и 1 мл полученной сыворотки разбавляли до 200 мл при определенном рН и заливали в пенопродувочный аппарат с парафинированными стенками (для предотвращения сорбции радиоизотопа), аналогичный описанному в [11]. Предварительные опыты показали, что такое количество сыворотки и расход воздуха 150—200 мл/мин обеспечивают оптимальное проведение процесса. Продувку раствора вели до прекращения пенообразования, после чего оставшийся раствор анализировали на белок спектрофотометрически при $\lambda=280$ мкм и на содержание радиоизлучателя. Балансовые опыты показали, что потери иттрия-91 за счет сорбции стенками пенопродувочного устройства отсутствуют.

Результаты и обсуждение

Изучено извлечение в пену сывороточных белков и иттрия-91 в зависимости от рН в дистиллированной воде и физиологическом растворе. Полученные данные показывают, что переход белка и радиоизотопа на границу раздела фаз "раствор — воздух" зависит от величины



Влияние pH на извлечение (S) в пену сывороточных белков (1) и радиоиттрия (2):
а — из дистиллированной воды, б — из физиологического раствора.

pH раствора и связан с изменением состояния как самого белка, так и радионуклида.

В кислой среде извлечение белка значительное (см. рисунок, а), однако по мере увеличения pH оно резко снижается. Эта тенденция нарушается при pH 5. Нейтральная и слабощелочная область характеризуются стабильно низким извлечением сывороточных белков, которое повышается при дальнейшем увеличении pH. В физиологическом растворе (см. рисунок, б) картина несколько меняется. Исчезает пик при pH 5, а извлечение в нейтральной и слабощелочной среде хотя и минимально, но значительно превышает таковое в дистиллированной воде.

Высокое извлечение белков в кислой и щелочной средах может быть обусловлено сжатием диффузной части двойного электрического слоя на границе раздела фаз „раствор — воздух“ из-за высокой концентрации ионов водорода или, соответственно, гидроксила и возрастианием сорбции поверхностно-активных составляющих на пузырьках воздуха. Максимум на кривой при pH 5 (см. рисунок, а) соответствует

изоэлектрической точке основной массы белков сыворотки крови [12]. В этой области pH наблюдалась помутнение растворов, из которых при стоянии осаждался белый преципитат. В физиологическом растворе таких проявлений обнаружено не было, что, по-видимому, объясняется стабилизирующим действием электролита, который способствует также более полному извлечению в нейтральной и слабощелочной средах.

Извлечение иттрия-91 в кислой среде ($\text{pH} < 3$) равно нулю, затем, по мере роста pH, оно увеличивается и, проходя через два максимума (pH 5 и 8), резко снижается (см. рисунок, а). Вынос в пену радионуклида из физиологического раствора носит сходный характер (см. рисунок, б).

Состояние иттрия можно описать следующим образом. При $\text{pH} < 3$ излучатель, находящийся в растворе в виде катиона [13], не взаимодействует с белками, у которых в этих условиях подавлена диссоциация кислотных групп. Поэтому извлечения изотопа в пену не происходит. По мере снижения кислотности иттрий все в большей степени взаимодействует с диссоциированными кислотными группами протеинов, чему способствует также уменьшение общего положительного заряда белковых молекул. Максимум при pH 5 (изоэлектрическая точка) соответствует таковому на кривой S — pH для белков. Это указывает на возможность образования комплексов металл — белок. Дальнейшее увеличение выноса радионизотопа в пену происходит, по-видимому, вследствие флотации образовавшихся в этих условиях радиоколлоидов иттрия-91 [13], извлечение которых снижается в щелочной среде из-за их переза-

рядки, создающей электростатическое препятствие взаимодействию одноименно заряженных коллоидов и белковых молекул.

В физиологическом растворе процесс стабилизируется присутствием электролита. Так, отсутствие пика извлечения белков при pH 5 обуславливает наличие в этих условиях только перегиба на кривой извлечения иттрия-91 в пену. Однако характер взаимодействия излучателя с белками при этом остается такой же.

Таким образом, при извлечении в пену белков сыворотки крови и иттрия-91 в зависимости от pH происходит флотация как комплексов иттрия-91 с белками, так и радиоколлоидов иттрия. Показано, что метод пенообразования может быть применен к исследованию состояния металлов в сыворотке крови.

ЛИТЕРАТУРА

1. L. Ekman, E. Valmet, B. Aberg. Int. J. App. Radiation a. Isotopes, 1961, 12, 32.
2. F. Gensike. Strahlentherapie, 1962, 118, 3, 369.
3. Л. М. Разбитая, В. С. Балабуха. Химическая защита организма от ионизирующих излучений. М., Атомиздат, 1960.
4. С. М. Пучкова. Радиоактивные изотопы и организм. М., «Медицина», 1969.
5. Н. М. Любашевский. Радиобиология, 1968, 8, 5, 754.
6. P. Blanquet, F. Taueau. Bull. Soc. chim. biol., 1947, 29, 7—9, 683.
7. Ф. Себба. Ионная флотация. М., «Металлургия», 1965.
8. В. В. Пушкирев, В. Г. Березюк. Радиохимия, 1968, 10, 4, 497.
9. В. В. Пушкирев и др. Осветление и дезактивация сточных вод пенной флотацией. М., Атомиздат, 1969.
10. A. Dognol. Chim. Anal., 1957, 39, 2.
11. В. В. Пушкирев и др. ЖПХ, 1960, 33, 1.
12. В. Паули, Э. Валько. Коллоидная химия белковых веществ. М., 1936.
13. И. Е. Старик. Основы радиохимии. Л., «Наука», 1969.

В. В. ПОПОВ, Н. Н. СУББОТИНА, В. С. БЕЗЕЛЬ

ПРИМЕНЕНИЕ МЕТОДОВ СЛУЧАЙНОГО ПОИСКА ДЛЯ ОПРЕДЕЛЕНИЯ КОНСТАНТ КАМЕРНОЙ МОДЕЛИ

В последние годы при описании процессов метаболизма инкорпорированных радиоактивных металлов все шире применяются многокамерные математические модели [1]. Использование этого метода позволяет не только анализировать результаты эксперимента в свете тех представлений, которые имелись у экспериментатора, но и предсказывать и количественно оценивать результаты гипотез о механизмах распределения и выведения радиоизотопов в отдельных органах и в целостном организме. Становится возможным восстановить расчетным методом отсутствующие звенья в цепи исследований и осуществить прогнозирование за пределы интервалов времени, использованных в эксперименте.

Многокамерные модели описываются системой обыкновенных дифференциальных уравнений с постоянными коэффициентами:

$$\begin{aligned} \frac{d}{dt} X_1 &= \sum_i K_{1i} X_i - \sum_j K_{j1} X_1, \\ \frac{d}{dt} X_2 &= \sum_i K_{i2} X_i - \sum_j K_{j2} X_2, \\ \frac{d}{dt} X_n &= \sum_i K_{in} X_i - \sum_j K_{jn} X_n, \end{aligned} \quad (1)$$

где X_i — содержание исследуемого вещества в i -й камере; K_{ij} — коммуникационные константы, т. е. константы скорости перехода вещества из i -й камеры в j -ю.

Для определения коммуникационных констант представим, как показано в теории камерных моделей, решение системы дифференциальных уравнений суммой экспонент:

$$X_i(t) = \sum_{k=1}^n A_k \exp(a_k t), \quad (2)$$

где A_k и a_k — определенные комбинации коммуникационных констант. Однако, несмотря на существование большого числа методов разложения кривых на экспоненты, получить значения A и a с необходимой точностью невозможно из-за неортогональности экспоненциальных функций, т. е. чрезвычайно большой чувствительности их к малым флюктуациям в экспериментальных данных [2].

Численное дифференцирование экспериментальных кривых при том небольшом количестве экспериментальных точек, которое обычно имеется в радиобиологических опытах, дает неустойчивые решения [3].

Более надежные результаты позволяет получить метод, при котором, задавая различные комбинации констант K_{ij} и решая на ЭВМ числен-

ными методами систему (1), находят комбинацию, дающую наилучшее приближение расчетных кривых к экспериментальным данным. В качестве критерия степени приближения удобно выбрать сумму квадратов отклонений расчетных кривых от данных опыта с учетом статистического веса экспериментальных точек:

$$S = \sum_i \sum_t p_i(t) [X_i^{\text{расч}}(t) - X_i^{\text{эксп}}(t)]^2. \quad (3)$$

Здесь суммирование производится по всем камера姆 и всем моментам времени, на которые имеются экспериментальные значения $X_i(t)$, $p_i(t)$ — статистический вес точки.

Определение оптимальной комбинации констант K_{ij} можно осуществить, если, меняя значения каждой из них с некоторым постоянным шагом, перебрать все возможные сочетания констант и найти комбинацию, соответствующую минимальному значению S_{\min} . Сложность заключается в выборе шага такой величины, который бы позволял получить требуемую точность без затраты слишком большого машинного времени. Кроме того, при таком методе приходится вычислять значения величины S для большого числа комбинаций, далеких от оптимальной.

Избежать затруднений такого рода можно с помощью программ, использующих алгоритмы случайного поиска. Нами применялась программа нахождения глобального экстремума функции многих переменных, позволяющая находить точки n -мерного пространства, «подозрительные» на экстремум функции n переменных $F(z_1, z_2, \dots, z_n)$ [4]. Минимизируемой функцией служила сумма квадратов отклонений S как функция от констант модели K_{ij} .

Чтобы проиллюстрировать возможности методики, применим ее к многокамерной модели метаболизма радиоактивного церия-144. Исходными данными служили экспериментальные результаты по распределению данного изотопа в организме животных [5—17].

Принципы группирования камер [1] позволяют в случае внутривенного способа введения церия выделить в организме пять камер, соответствующих печени (X_1), скелету (X_2), крови и мягким тканям (X_3), выделениям с мочой (X_4) и калом (X_5) (рис. 1). В отличие от камерной модели, рассмотренной в работе [3], мы не выделяем в отдельную камеру легкие, поскольку при внутривенном поступлении данного излучателя особенности накопления — выведения его в этом органе и в других мягких тканях мало отличаются.

Описываемая модель системы дифференциальных уравнений, с учетом уравнения баланса вещества, имеет следующий вид:

$$\begin{aligned} \frac{d}{dt} X_1 &= K_{31} X_3 - (K_{13} + K_{15}) X_1, \\ \frac{d}{dt} X_2 &= K_{32} X_3 - K_{23} X_2, \\ \frac{d}{dt} X_3 &= K_{13} X_1 + K_{23} X_2 - (K_{31} + K_{32} + K_{34}) X_3, \\ \frac{d}{dt} X_4 &= K_{34} X_3, \\ X_5 &= 1 - (X_1 + X_2 + X_3 + X_4). \end{aligned} \quad (4)$$

Коммуникационные константы модели метаболизма церия-144, 1/сутки

| Данные | K_{13} | K_{12} | K_{21} | K_{34} | K_{43} | K_{32} | Интервал времени, сутки |
|---------------------|------------------------------------|----------|----------|----------|----------|----------|-------------------------|
| Лабораторные | 0,039 | 0,214 | 0,913 | 0,065 | 0,017 | 0,189 | 395 |
| Литературные [5-17] | 0,046 | 0,259 | 1,047 | 0,046 | 0,083 | 0,415 | 64 |
| Наши | $\bar{K}_{ij} \pm \sigma_{K_{ij}}$ | 0,057 | 0,156 | 0,868 | 0,016 | 0,494 | 0,836 |
| | | 0,007 | 0,057 | 0,175 | 0,003 | 0,115 | 0,135 |
| | | | | | | | 11 |

Однократное внутривенное введение излучателя задается начальными условиями:

$$X_3(0) = 1; X_1(0) = X_2(0) = X_4(0) = X_5(0) = 0.$$

В результате идентификации системы уравнений (4) с литературными данными получены значения коммуникационных констант (см. табл.), позволяющие рассчитать кривые изменения содержания радиоактивного металла во всех названных камерах (рис. 2). Время, затраченное ЭЦВМ М-220 на отыскание оптимальной комбинации констант модели, составило 25–30 мин.

Экспериментальные данные, взятые нами для идентификации, имеют определенный разброс, характеризуемый средним квадратичным отклонением σ_K . Такой разброс обусловлен, главным образом, индивидуальными различиями процессов метаболизма излучателя у отдельных животных. Поэтому можно оценить его влияние на коммуникационные константы, если определить оптимальные комбинации констант K_{ij} отдельно для каждого животного, усреднить их и вычислить среднее квадратичное отклонение σ_K , которое и будет характеризовать разброс в значениях коммуникационных констант, вызванный разбросом в экспериментальных данных.

В теории многокамерных моделей [1] показано, что модель может быть полностью определена, если известно изменение концентрации вещества хотя бы в одной из камер модели. Это позволяет для определения величин σ_K использовать данные, полученные нами совместно с Г. А. Меньшиковой по содержанию церия-144 в моче и кале каждой из 10 крыс в течение 10 суток, а также по содержанию этого излучателя в печени, скелете, мягких тканях и крови на 11-е сутки. Средние значения констант K_{ij} и их средние квадратичные отклонения σ_K приведены в таблице.

Из таблицы видно, что константы, определенные по литературным

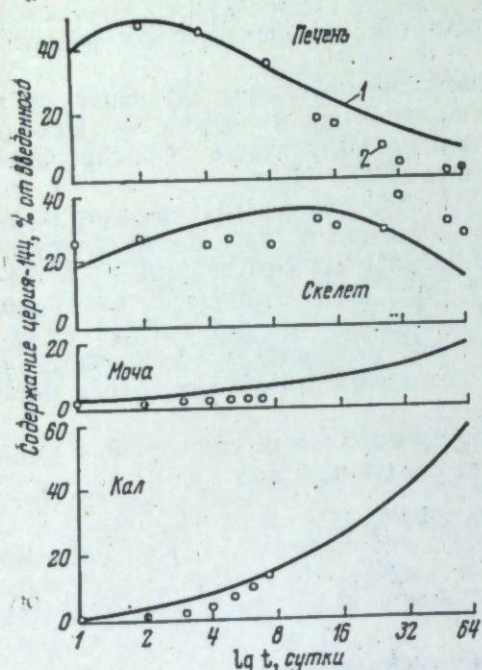


Рис. 2. Изменение содержания церия в камерах модели во времени.

1 — расчетные кривые, 2 — экспериментальные данные [5-17].

данным и собственным данным авторов, несколько отличаются. По-видимому, это связано с тем, что первая группа данных охватывает период времени продолжительностью 64 суток, а вторая — лишь 11 суток. Зная σ_K , можно оценить достоверность различия между константами, полученными для разных интервалов времени. Сравнение по критерию Стьюдента при уровне достоверности 95% показало, что только для первых трех пар констант различия незначимы. Для остальных пар констант, характеризующих процессы обмена излучателя в скелете, различия оказались значимыми. Следовательно, процессы метаболизма церия в скелете протекают более сложным образом, чем предполагалось в модели, и она нуждается в уточнении.

К такому же выводу приводит сопоставление рассмотренных выше оптимальных комбинаций констант модели с константами, соответствующими периоду наблюдений продолжительностью 512 суток и определенными по лабораторным данным. Достоверно отличаются те же пары констант, что и в предыдущем случае, причем с увеличением интервала времени эти различия возрастают.

Выводы

1. Рассмотрен эффективный метод определения констант камерной модели, использующий программу нахождения экстремума функции многих переменных с алгоритмом случайного поиска.
2. Определены константы и рассчитаны кривые содержания радиоактивности в камерах модели метаболизма церия-144 при внутривенном способе введения излучателя.
3. Произведена оценка разброса констант модели, вызванного разбросом экспериментальных данных.
4. Фрагмент модели, описывающий процессы обмена излучателя в скелете, требует уточнения.

ЛИТЕРАТУРА

1. Д. П. Осанов, И. А. Лихтарев, Г. Б. Радзиевский. Дозиметрия инкорпорированных радиоактивных веществ. М., Атомиздат, 1970.
2. К. Ланцош. Практические методы прикладного анализа. М., Физматгиз, 1961.
3. В. С. Гринев, Э. В. Калинина, Г. К. Королев, Ю. И. Москалев, Ю. Д. Парфенов. Радиобиология, 1966, 6, 1, 122.
4. Л. Н. Коротаева, А. В. Панишев. Алгоритмы и программы случайного поиска. Под ред. Л. А. Растрогина. Рига, «Зинатне», 1969, 179.
5. Ю. И. Москалев. Мед. радиология, 1959, 4, 1, 65.
6. Ю. И. Москалев. Там же, 1959, 4, 5, 52.
7. Ю. И. Москалев. Там же, 1958, 3, 5, 50.
8. Ю. И. Москалев. Там же, 1958, 3, 6, 35.
9. Ю. И. Москалев. Распределение, биологическое действие и миграция радиоактивных изотопов. М., Медгиз, 1961, 135.
10. Д. И. Семенов, И. П. Трегубенко. Биохимия, 1968, 23, 1, 60.
11. Д. И. Семенов, И. П. Трегубенко. Там же, 1962, 27, 2, 318.
12. Д. И. Семенов, И. П. Трегубенко. Сборник работ лаборатории биофизики. Труды Ин-та биологии УФАН СССР, 1957, вып. 9, стр. 20.
13. Д. И. Семенов, Ю. И. Москалев, Л. А. Булдаков. Обмен радиоизотопов в животном организме. Труды Ин-та биологии УФАН СССР, 1966, вып. 46, стр. 61.
14. Д. И. Семенов, И. П. Трегубенко. Там же, стр. 147.
15. И. П. Трегубенко, И. В. Подгорная, И. Я. Постовский, Д. П. Семенов. Радиобиология, 1962, 2, 2, 202.
16. A. Catsch, D. K. Le. Strahlentherapie, 1957, 107, 4, 494.
17. A. Catsch, H. Immel-Teller, D. Schindenoff-Jordan. Zs. Naturf., 1961, 16, 3, 181.

А. В. БАЖЕНОВ

К МЕТОДИКЕ ОПРЕДЕЛЕНИЯ ФУНКЦИОНАЛЬНОГО СОСТОЯНИЯ ПЕЧЕНИ БРОМСУЛЬФАЛЕИНОМ

Для изучения степени задержки и выделения радиоизотопов печенью в условиях перфузационной системы необходим объективный критерий для оценки функционального состояния печени.

Из многочисленных методов определения функционального состояния печени наибольшее признание получил бромсульфалеиновый тест. Впервые предложенный в 1925 г. Розенталем и Уайтом¹, этот метод нашел широкое распространение в настоящее время в экспериментальных и клинических исследованиях как самая чувствительная функциональная проба, выявляющая ранние и легкие повреждения в печени, а также остаточные функциональные изменения после перенесенных заболеваний.

Сущность теста заключается в учете динамики очищения крови от краски бромсульфалеина (BSP) печенью после внутривенного введения ее в организм. Если к 45-й минуте остается 5—10% краски, функциональное состояние печени оценивается как нормальное.

Известно, что бромсульфалеин и гемоглобин имеют спектры поглощения на длине волн в 580 мкм. При перфузии изолированной печени в перфузационной системе концентрация гемоглобина возрастает во времени вследствие гемолиза. Мы предположили, что гемоглобин может вносить свою долю в бромсульфалеиновый пик. Поэтому предлагается методика по определению бромсульфалеина с учетом вклада гемоглобина.

Спектры поглощения, приведенные на рис. 1, показывают, что краску нужно проявлять в среде с определенной величиной pH. При проявлении слепой пробы в

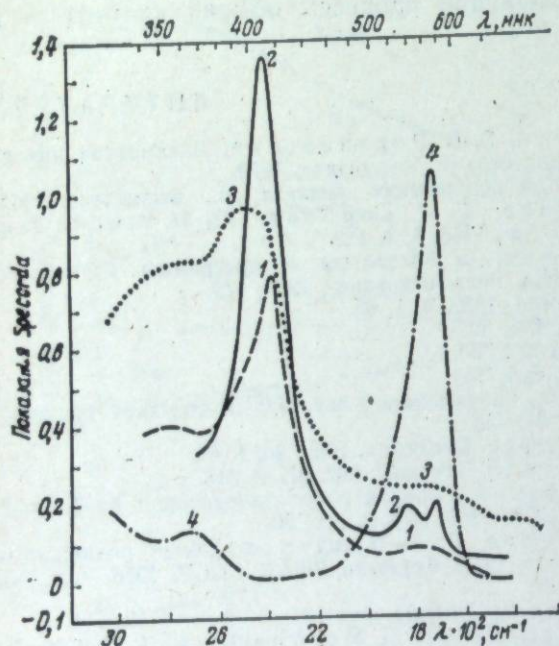


Рис. 1. Спектры поглощения гемоглобина при различных pH.
1 — Нb+10%NaOH, 2 — Нb+H₂O, 3 — Нb+5%HCl,
4 — чистый BSP.

¹ S. M. Rosenthal, E. C. White. J. Amer. med. Ass., 1925, 84, 1112.

кислой (5% HCl) или нейтральной средах образуются разные спектры поглощения гемоглобина. Контрольную пробу проявляют в щелочной среде, при этом также сравниваются разные соединения гемоглобина: в щелочной среде — карбоксигемоглобин, в кислой — оксигемоглобин, что вносит ошибку в измерения. Чтобы учесть количество гемоглобина, построили калибровочные кривые для хорошо выраженных двух пиков гемоглобина (рис. 2). Зная величину пика на длине волны в 410 мкм и соотношение пиков, по калибровочной кривой можно определить количество гемоглобина для данной концентрации на длине волны бромсульфалеина. Таким образом, при определении BSP необходимо из суммарного пика вычесть долю гемоглобинового пика. На рис. 3 приведен пример одной и той же концентрации BSP с разными концентрациями гемоглобина. Кривые 1—5 хорошо свидетельствуют о вкладе гемоглобина в бромсульфалеиновый пик: на кривой 5 BSP пик (B) дополняет гемоглобиновый Н. Для кривой 4 (табл. 1) амплитуда суммарного пика увеличивается по сравнению с контрольной BSP пробой в 3,4 раза.

По данной методике была отработана доза BSP на крысах линии «Вистар» стадного разведения. Животным вводили 5%-ный раствор BSP, кровь в объеме 0,8 мл брали из наружных яремных вен и при вскрытии животного в конце опыта. Подщелачивали 0,4 мл плазмы 10%-ной NaOH и измеряли краску на спектрофотометре «Specord». Из исследованных доз 50, 70, 75, 80, 90 и 100 мг на 1 кг веса животного наиболее оптимальной оказалась доза 70—75 мг/кг. Остаток краски к 45-й минуте при данной дозе равен 3,12%.

Из табл. 2 видно, что гемоглобин вносит существенную ошибку в определение краски в плазме, особенно в поздние сроки выведения BSP.

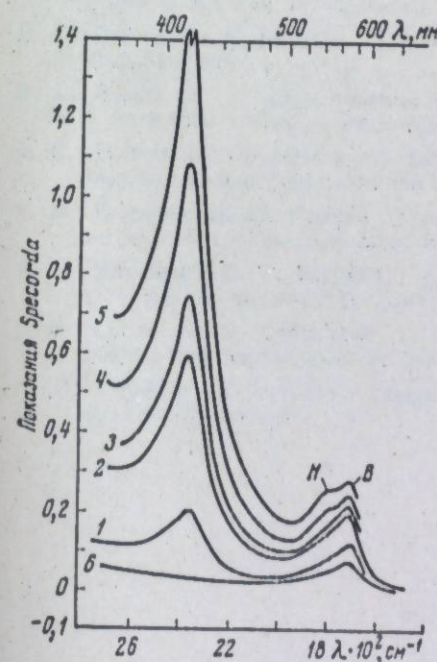


Рис. 3. Спектры поглощения чистого BSP (6) в плазме крови с различными концентрациями гемоглобина (1—5).

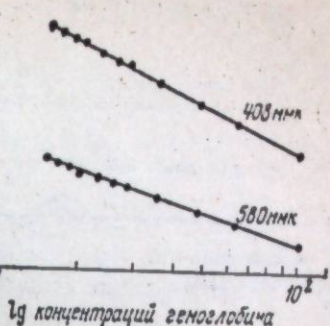


Рис. 2. Соотношение пиков гемоглобина для разных концентраций его.

Для кривой 4 (табл. 1) амплитуда суммарного пика увеличивается по сравнению с контрольной BSP пробой в 3,4 раза.

Из табл. 2 видно, что гемоглобин вносит существенную ошибку в определение краски в плазме, особенно в поздние сроки выведения BSP.

Таблица 1

Зависимость поглощения BSP от концентрации гемоглобина

| № кривой на рис. 3 | BSP+Нb, 580 мкм | Нb, 410 мкм | Нb / BSP | |
|-----------------------|--------------------|----------------|----------|----------|
| | | | 580 мкм | Контроль |
| 1 | 0,120 | 0,201 | 0,051 | 0,069 |
| 2 | 0,190 | 0,597 | 0,115 | 0,075 |
| 3 | 0,214 | 0,748 | 0,132 | 0,072 |
| 4 | 0,210 | 1,080 | 0,170 | 0,070 |
| 5 | 0,280 | — | — | — |
| 6 | BSP | — | — | 0,070 |

Таблица 2

Динамика выведения краски после 2 ч перфузии печени крыс в перфузционном аппарате

| % оставшейся краски | Время определения BSP, мин | | | | | |
|------------------------|----------------------------|------------|------------|------------|------------|------------|
| | 0 | 5 | 10 | 30 | 45 | 60 |
| С учетом Нв | 100 | 65,9 ± 1,9 | 47,5 ± 1,3 | 30,1 ± 1,9 | 16,6 ± 0,5 | 10,1 ± 1,1 |
| Без учета Нв | 100 | 75,4 ± 1,8 | 62,7 ± 1,1 | 52,9 ± 2,1 | 42,1 ± 0,9 | 36,1 ± 3,3 |

Выводы

- Показано, что при наличии гемолиза в определяемой пробе гемоглобин вносит ошибку в измерение бромсульфалеина. Необходимо вычитать величину содержания гемоглобина из общего пика поглощения от гемоглобина и бромсульфалеина на длине волны в 580 мк.
- Спектры поглощения гемоглобина при разных рН измеряемой пробы различны. Следует измерение всех проб (включая и слепые) производить при одном строго фиксированном рН, а именно рН 10, при котором пик поглощения гемоглобина на длине волны в 580 мк наименьший.

СОДЕРЖАНИЕ

| | |
|---|-----|
| Н. М. Любашевский, Г. А. Меньшикова, В. Ф. Уткина. Соотношение составных частей скелета крыс и распределение в них стронция-85 и иттрия-91 | 3 |
| Н. М. Любашевский, Л. М. Шарыгин, В. И. Степина. Нативные поверхности и сорбционная способность зрелой и формирующейся костной ткани | 12 |
| Н. М. Любашевский. Изучение трансмембранных потоков ионов кальция-45, фосфора-32, цезия-137, иттрия-91 в опытах на переживающих тканях | 19 |
| Н. В. Микшевич. О физико-химическом состоянии иттрия-91 в сыворотке крови | 25 |
| Л. А. Соков. О процессах, обуславливающих преимущественное выведение стронция по сравнению с кальцием через почки | 29 |
| 3. В. Дубровина, В. А. Отлыгин, П. М. Малкин, Л. А. Соков. О динамике распределения цезия-137 по отношению к калию в различных органах и системах | 33 |
| А. В. Баженов, Г. А. Меньшикова. Зависимость величины выведения иттрия-91 из организма от дозы и срока применения Са-ЭДТА | 37 |
| Е. И. Сухачева, С. С. Лекохмакер, Т. П. Архипова. Уровень распада комплекса У-ЭДТА в организме в зависимости от вводимой дозы | 43 |
| Б. В. Попов, В. С. Безель. Математическая модель действия комплексона | 48 |
| Т. П. Архипова, Е. И. Сухачева. Попытка ускорения выведения иттрия-91 из организма путем комбинированного применения ЭДТА и диуретиков | 53 |
| Е. И. Сухачева. Влияние катионов цинка, марганца и железа на выделение ЭДТА через почки | 57 |
| С. С. Лекохмакер, Е. И. Сухачева. В какой форме выделяются с мочой инкорпорированные хелатные комплексы металлов? | 64 |
| С. С. Лекохмакер. Поведение хелатных комплексов цинка, кальция и марганца в организме животных | 67 |
| С. С. Лекохмакер, Е. И. Сухачева. Поведение хелатных комплексов иттрия, церия и кадмия в организме животных | 72 |
| В. С. Безель. О возможном влиянии эндогенных металлов на эффективность комплексонов | 76 |
| В. С. Безель, С. А. Шерстобитов, Г. И. Флорова. Влияние комплексонов на содержание цинка в организме животных | 82 |
| 3. В. Дубровина. Об обмене стронция и кальция в скелете крыс при неполном кальциевом питании | 85 |
| Р. М. Малкина, П. М. Малкин. Динамика всасывания цезия-137 из желудочно-кишечного тракта крыс в зависимости от концентрации калия | 91 |
| Н. В. Микшевич, В. Г. Березюк. Применение метода пенообразования к изучению физико-химического состояния иттрия-91 в сыворотке крови | 95 |
| Б. В. Попов, Н. И. Субботина, В. С. Безель. Применение методов случайного поиска для определения констант камерной модели | 98 |
| А. В. Баженов. К методике определения функционального состояния печени бромсульфаленом | 102 |

УДК 612.015.3:621.039.85:591.471.3

Соотношение составных частей скелета крыс и распределение в них стронция-85 и иттрия-91. Любашевский Н. М., Меньшикова Г. А., Уткина В. Ф. «Метаболизм радионизотопов в животном организме». Свердловск, 1974.

Произведена комплексная оценка содержания костной, костно-мозговой и хрящевой тканей в скелете крыс, очищенном от мягких тканей. Количество кости и мягких тканей определяли из разницы их озоляния; костный мозг — по способности кумулировать гемоглобин, меченный по радиожелезу и по $\text{Fe}^{59}\text{Cl}_3$, вес хряща находили по разнице в весе скелета и суммы костной и костно-мозговой ткани. Для крыс 4-месячного возраста их значения равны $66,5 \pm 1,1$, $23,1 \pm 0,6$ и $10,5 \pm 0,9\%$ соответственно от веса всего скелета.

Представлены данные по распределению кальция-45, стронция-85, иттрия-91 не-весомого и в присутствии изотопного носителя, фосфора-32 и цезия-137 в тканях скелета, а также стронция-85 и иттрия-91 (невесомого) в костях скелета крыс через 30 мин и 48 ч после внутривенной инъекции излучателей. Подтверждено, что пересчетный коэффициент для бедра крысы «х 20» удовлетворительно аппроксимирует вес скелета и накопление в нем радионизотопов в различные сроки после их введения. Приводятся данные о близком соответствии тканевого состава скелета и бедра, что, по-видимому, обуславливает одинаковое накопление и перераспределение веществ, тропных к различным тканям скелета.

Таблица 5. Библиогр. 16 назв.

УДК 612.015.3:621.039.85:591.471.3

О процессах, обусловливающих преимущественное выведение стронция по сравнению с кальцием через почки. Соков Л. А. «Метаболизм радионизотопов в животном организме». Свердловск, 1974.

Причины преимущественного выделения стронция перед кальцием могут быть обусловлены следующими факторами: различной величиной фильтрационного заряда и интенсивностью реабсорбции стронция и кальция в почках, неодинаковым вкладом секреторно-диффузионных процессов при переносе стронция и кальция из перитубулярной жидкости в просвет канальцев почек. Однако различия в величине фильтрационного заряда не имеют решающего значения в предпочтительном выделении стронция перед кальцием через почки. Ведущими факторами являются канальцевые процессы.

Таблица 1. Иллюстраций 2. Библиогр. 7 назв.

УДК 612.015.3:621.039.85:591.471.3

О динамике распределения цезия-137 по отношению к калию в различных органах и системах. Дубровина З. В., Отлыгин В. А., Малкин П. М., Соков Л. А. «Метаболизм радионизотопов в животном организме». Свердловск, 1974.

Изучена динамика накопления радиоактивного цезия в тканях крысы от 1-х до 40-х суток и сопоставлена с концентрацией калия. Сделан вывод о полной аналогии в распределении цезия и калия по отдельным органам и системам с постоянным большим коэффициентом фиксации первого элемента по сравнению со вторым.

Таблица 3. Иллюстраций 2. Библиогр. 8 назв.

УДК 612.015.3:621.039.85:591.471.3

Зависимость величины выведения иттрия-91 из организма от дозы и срока применения Са-ЭДТА. Баженов А. В., Меньшикова Г. А. «Метаболизм радионизотопов в животном организме». Свердловск, 1974.

Представлены данные по зависимости величины выведения радиоиттрия из организма животных под влиянием разных доз комплексона Са-ЭДТА (10, 50, 100 и 200 мкгмоль), применяемых однократно при внутрибрюшинном введении на 3, 8, 32, 64 и 128-е сутки.

Показано, что доступная для Са-ЭДТА доля иттрия, находящегося в организме, уменьшается медленнее, чем для естественных механизмов мобилизации. Это наблюдается для всех испытанных доз и на протяжении всех сроков эксперимента.

Подтверждена установленная зависимость изменения доступности иттрия-91 для разных доз комплексона с учетом времени применения, которая позволяет определить содержание излучателя в организме по количеству выведенной Са-ЭДТА радиоактивности в моче.

Таблица 3. Иллюстраций 3. Библиогр. 9 назв.

УДК 612.015.3:621.039.85:591.471.3

Уровень распада комплекса $\text{Y}^{91}\text{-ЭДТА}$ в организме в зависимости от вводимой дозы. Сухачева Е. И., Лекохмакер С. С., Архипова Т. П. «Метаболизм радионизотопов в животном организме». Свердловск, 1974.

В опытах на катетеризованных самках белых крыс изучали уровень распада комплексного соединения $\text{Y}^{91}\text{-ЭДТА}$ в пределах доз от 0,00001 до 250 мкгмоль на крысу при внутривенном введении. Степень распада комплекса, скорость выбывания иттрия-91 из крови и выделение его через почки изменяется в зависимости от введенной дозы комплекса, что особенно заметно проявляется в пределах доз до 0,1 мкгмоль. Выделение с мочой $\text{Y}^{91}\text{-ЭДТА}$ после инъекции 0,00001—0,1 мкгмоль возрастает с 8,5 до 81,7%, а после введения 1—250 мкгмоль изменяется незначительно (82,6—87,7%). Распределение оставшейся в организме доли излучателя также подчиняется дозовой зависимости, но резко отличается от характера распределения весомых количеств иттрия. Снижение содержания иттрия-91 в органах ретикуло-эндотелиальной системы и скелете с увеличением инъецируемой дозы комплекса $\text{Y}^{91}\text{-ЭДТА}$ и повышение накопления в мягких тканях тушки указывают на постепенность процесса распада хелатного соединения иттрия в организме крыс.

Таблица 1. Иллюстраций 3. Библиогр. 6 назв.

УДК 612.015.3:621.039.85:591.471.3

Математическая модель действия комплексона. Попов Б. В., Бузель В. С. «Метаболизм радионизотопов в животном организме». Свердловск, 1974.

Предпринята попытка построить математическую модель действия комплексона на широкораспространенный токсический металл. Учитывается изменение концентраций комплексированного токсического металла. Учитывается изменение концентраций комп-

УДК 612.015.3:621.039.85:591.471.3

Нативные поверхности и сорбционная способность зрелой и формирующейся костной ткани. Любашевский Н. М., Шарыгин Л. М., Степина В. И. «Метаболизм радионизотопов в животном организме». Свердловск, 1974.

Приведены гистометрические данные о величине нативных поверхностей кости, прилежащих к кровотоку, и системе транспорта внутри минерализованной костной ткани, состоящей из каналикул и костных телец. Сравниваются сорбционные показатели поверхностей кортикальной, зрелой и формирующейся трабекулярной кости по отношению к радиокальцию. Различия в сорбции на единицу поверхности невелики и не могут объяснить интенсивного приживленного кумулирования излучателей в трабекулах зоны роста, если не привлекать данных о повышенном кровоснабжении участков остеогенеза.

Таблица 2. Иллюстраций 2. Библиогр. 12 назв.

УДК 612.015.3:621.039.85:591.471.3

Изучение трансмембранных потоков ионов кальция-45, фосфора-32, цезия-137, иттрия-91 в опытах на переживающих тканях. Любашевский Н. М. «Метаболизм радионизотопов в животном организме». Свердловск, 1974.

Сопоставлены показатели потоков ионов радионизотопов и меченых ими стабильных элементов через капиллярную мембрану, через клеточные мембранны мышечных волокон поперечнополосатых мышц перфузируемой конечности, через мембрану эритроцитов, а также через костные поверхности. Показано, что для всех изучаемых ионов проницаемость клеточных мембран на 1—3 порядка ниже, чем капиллярных. В эритроцитах иттрий, а также кальций связаны главным образом оболочкой и стромой. Такую же локализацию можно предположить для них и в мышцах.

Таблица 1. Иллюстраций 3. Библиогр. 14 назв.

УДК 612.015.3:621.039.85:591.471.3

О физико-химическом состоянии иттрия-91 в сыворотке крови. Микшевич Н. В. «Метаболизм радионизотопов в животном организме». Свердловск, 1974.

В работе представлены результаты исследования методом колоночной гель-хроматографии на сефадаксе G-200 состояния иттрия-91 в сыворотке крови при внутривенном введении радионуклида. Показано, что существует равновесие между различными формами металла (белковосвязанный, низкомолекулярный и свободный), которое частично нарушается вследствие конкуренции за металл стекла и сефадекса. Доза и скорость инъекции излучателя в кровяное русло определяют его долю, связанную с белками, что объясняется большой склонностью иттрия к гидролизу, препятствующей комплексообразованию.

Таблица 1. Иллюстраций 1. Библиогр. 12 назв.

лексона и токсического металла в организме за счет экскреции и перераспределения в тканях. Показано, что суточное выведение токсического металла под влиянием инъекции комплексона может превышать величину доступной доли металла из-за пополнения ее из депонированной части; увеличение периода полуыведения комплексона из организма эквивалентно увеличению дозы препарата. Модель позволяет рассчитать кривую максимальной эффективности для любого типа комплексона. Наблюдаемое в экспериментах изменение эффективности комплексонов удовлетворительно согласуется с ходом расчетных кривых, причем эффективность комплексона Са-ДТПА оказалась близкой к максимальной.

Иллюстраций 5. Библиогр. 7 назв.

УДК 612.015.3:621.039.85:591.471.3

Попытка ускорения выведения иттрия-91 из организма путем комбинированного применения ЭДТА и диуретиков. Архипова Т. П., Сухачева Е. И. «Метаболизм радионизотопов в животном организме». Свердловск, 1974.

Самкам крыс за два часа до внутривенной инъекции иттрия-91 или Са-С⁴⁵ЭДТА вводили новурит (1,75 мг в 0,5 мл 0,9% NaCl внутримышечно) или дегидратин (0,4 мг в 0,5 мл 0,9% NaCl перорально). Введение диуретиков несколько увеличивало суточное выделение иттрия-91 и значительно ускоряло выведение комплексона в течение первого часа после инъекции. Суммарное же выделение ЭДТА за 4 часа было 93–95% во всех группах крыс. Применение диуретиков в сочетании с ЭДТА не ускоряло, а задерживало выделение иттрия-91 с мочой в первые часы после инъекции. Кумулятивное выделение излучателя за сутки во всех вариантах опыта составляло 80%.

Таблица 3. Иллюстраций 2. Библиогр. 2 назв.

УДК 612.015.3:621.039.85:591.471.3

Влияние катионов цинка, марганца и железа на выделение ЭДТА через почки. Сухачева Е. И. «Метаболизм радионизотопов в животном организме». Свердловск, 1974.

Самкам крыс внутривенно вводили комплексные соединения ЭДТА с цинком, марганцем и железом, меченные по их радиоактивному изотопу. Доза ЭДТА была постоянной (20 мкгмоль на крысу), а доза металла варьировалась. При соотношении металлокомплексон 1:20 (Zn⁶⁵-ЭДТА) и 5:20 (Mn⁵⁴-ЭДТА) достоверно увеличивалось выделение комплекса с мочой. При повышении дозы железа во вводимом комплексе выделение Fe⁵⁹-ЭДТА через почки ускорилось в первые два часа после инъекции. Предварительное внутривенное введение 0,034 мкгмоль двух- и трехвалентного железа значительно ускоряет выделение Са-С⁴⁵ЭДТА по сравнению с контролем.

Таблица 3. Иллюстраций 3. Библиогр. 17 назв.

УДК 612.015.3:621.039.85:591.471.3

В какой форме выделяются с мочой инкорпорированные хелатные комплексы? Лекохмакер С. С., Сухачева Е. И. «Метаболизм радионизотопов в животном организме». Свердловск, 1974.

Методом гельфильтрации на сепадексе G-10 изучали форму, в которой выводятся с мочой инкорпорированные внутривенно хелатные комплексы иттрия, цинка, марганца и железа с этилендиаминететракусусной кислотой. Показано, что выделение излучателя через почки происходит лишь в комплексной форме, никаких других форм в моче при этих условиях не обнаружено. Об этом же свидетельствует характер элюционных кривых, одинаковый как для растворов комплексов, так и для образцов мочи после введения животным этих растворов.

Иллюстраций 1. Библиогр. 3 назв.

УДК 612.015.3:621.039.85:591.471.3

Поведение хелатных комплексов цинка, кальция и марганца в организме животных. Лекохмакер С. С. «Метаболизм радионизотопов в животном организме». Свердловск, 1974.

Рассматривается поведение хелатных комплексов цинка, марганца и кальция с комплексонами ДТПА, ДДТЭ, ЭДТА, ЦГТА, НТА, инкорпорированных внутривенно в дозе 10 мкгмоль с 10%-ным избыtkом каждого комплексона. Показано, что поведение комплексов определяется силой связи между металлом и комплексоном. Величина распада и константы устойчивости связаны пропорциональной зависимостью. По устойчивости комплексов рассматриваемые металлы располагаются в следующем порядке: Zn>Mn>Ca с сохранением одной и той же последовательности в расположении комплексонов: ЦГТА>ДТПА>ЭДТА>ДДТЭ>НТА. У комплексов с константами устойчивости 10^{7.4}–10^{12.5} наблюдается полный и быстрый распад. С увеличением констант

устойчивости независимо от величины распада наблюдается постепенный характер распада.

Таблица 3. Иллюстраций 2. Библиогр. 7 назв.

УДК 612.015.3:621.039.85:591.471.3

Поведение хелатных комплексов иттрия, церия и кадмия в организме животных. Лекохмакер С. С., Сухачева Е. И. «Метаболизм радионизотопов в животном организме». Свердловск, 1974.

Внутривенное введение хелатных комплексов, образованных иттрием, церием и кадмием с ДТПА, ЦГТА, ЭДТА, ДДТЭ и НТА и меченых их радиоактивными изотопами иттрием-91, церием-144 и кадмием-115^m в дозе 10 мкгмоль с 10%-ным избыtkом каждого комплексона показало, что максимально возможную устойчивость в организме имеют комплексы Y-ЦГТА, Y-ДТПА, Ce-ДТПА, константы устойчивости которых находятся в пределах величин 10¹⁹–10^{22.4}. Максимальный распад наблюдается у комплексов с константами устойчивости 10^{7.4}–10^{11.4}.

Характер распределения металла, освободившегося из комплекса, определяется величиной распада лишь у комплексов с практически полным распадом в организме. У более устойчивых комплексов независимо от величины распада наблюдается предпочтительное отложение радионизотопов в мягких тканях тушки.

Таблица 3. Иллюстраций 2. Библиогр. 6 назв.

УДК 612.015.3:621.039.85:591.471.3

О возможном влиянии эндогенных металлов на эффективность комплексонов. Бензель В. С. «Метаболизм радионизотопов в животном организме». Свердловск, 1974.

В статье обсуждается возможная роль эндогенных металлов в снижении эффективности комплексонов. На примере эндогенного цинка показано, что количество выведенного из организма металла превышает содержание его в жидкостях организма. Методами математического анализа показано, что компенсация образовавшегося в жидкостях организма дефицита металла может быть объяснена клеточными процессами мобилизации интрацеллюлярного цинка. Количество мобилизованного таким образом металла зависит от дозы комплексона и его константы устойчивости с цинком, т. е. от степени обеднения межклеточной компоненты организма.

Таблица 2. Иллюстраций 1. Библиогр. 11 назв.

УДК 612.015.3:621.039.85:591.471.3

Влияние комплексонов на содержание цинка в организме животных. Шерстобитов С. А., Флорова Г. И. «Метаболизм радионизотопов в животном организме». Свердловск, 1974.

В эксперименте лабораторным крысам после суточного голодания вводили трехкратно по 200 мкгмоль кальциевой формы ЭДТА. В течение 6 ч собирали раздельно мочу и кал. Методом нейтронно-активационного анализа определялось содержание эндогенного цинка в органах и тканях животных. Показано, что после суммарной дозы Са-ЭДТА в 600 мкгмоль наблюдается достоверное уменьшение содержания цинка в крови (в 1,6 раза) и в почках (в 1,26 раза) по отношению к контролю. Наибольшие изменения наблюдались в количестве цинка, выводимого с мочой (увеличение в 14,6 раза). Приводится оценка общего содержания цинка в организме лабораторных крыс.

Таблица 2. Библиогр. 18 назв.

УДК 612.015.3:621.039.85:591.471.3

Об обмене стронция и кальция в скелете крыс при неполноценном кальциевом питании. Дубровина З. В. «Метаболизм радионизотопов в животном организме». Свердловск, 1974.

Методом Bauerg и др. проведен кинематический анализ поведения кальция-45 и стронция-90 в организме крыс, получавших различное количество кальция в диете. Показано, что у крыс на дефицитной по кальцию диете была понижена скорость аккреции. При длительном поступлении повышенного уровня кальция с пищей увеличивалось количество легкообменного кальция скелета, уменьшалась скорость аккреции, повышалась резорбция.

Таблица 4. Иллюстраций 1. Библиогр. 10 назв.

УДК 612.015.3:621.039.85:591.471.3

Динамика всасывания цезия-137 из желудочно-кишечного тракта крыс в зависимости от концентрации кальция. Малкина Р. М., Малкин П. М. «Метаболизм радионизотопов в животном организме». Свердловск, 1974.

Рассматривается возможность снижения всасывания цезия-137 из ЖКТ крыс при одновременном введении стабильного калия. Показано, что, изменяя количество калия, вводимого в пищеварительный тракт крыс совместно с цезием-137, можно существенно изменить динамику всасывания последнего. Это явление может быть использовано для связывания основной массы изотопа высокоеффективными сорбентами.

Таблица 2. Библиогр. 9 назв.

УДК 541.546.641:611.018.5

Применение метода пенообразования к изучению физико-химического состояния иттрия-91 в сыворотке крови. Михеевич Н. В., Березюк В. Г. «Метаболизм радиоизотопов в животном организме». Свердловск, 1974.

Изучено извлечение в пену сывороточных белков и иттрия-91 в зависимости от pH в дистиллированной воде и в физиологическом растворе. В области нейтральных pH иттрий может находиться по крайней мере в двух формах — белковосвязанной и коллоидной. Показана применимость метода пенообразования к изучению состояния радионуклидов в сыворотке крови.

Иллюстраций 1. Библиогр. 13 назв.

УДК 612.015.3:621.039.85:591.471.3

Применение методов случайного поиска для определения констант камерной модели. Пепов Б. В., Субботина И. И., Безель В. С. «Метаболизм радиоизотопов в животном организме». Свердловск, 1974.

Рассмотрен эффективный метод определения констант камерной модели, использующий программу случайного поиска для нахождения экстремума функции многих переменных. Этим методом определены константы и рассчитаны кривые содержания церия-144 в камерах модели метаболизма при внутривенном способе введения. В работе произведена оценка разброса значений констант модели, обусловленного разбросом экспериментальных результатов. Это позволило сравнить между собой оптимальные комбинации констант модели, полученные по данным экспериментов различной продолжительности: 11, 64 и 395 суток. Статистически значимыми оказались различия лишь для констант, характеризующих обмен церия-144 в скелете, что указывает на более сложный характер протекания этих процессов, чем принятый в модели.

Таблица 1. Иллюстраций 2. Библиогр. 17 назв.

УДК 612.015.3:621.039.85:591.471.3

К методике определения функционального состояния печени бромсульфаленом. Баженов А. В. «Метаболизм радиоизотопов в животном организме». Свердловск, 1974.

Предложена методика по определению бромсульфаленна с учетом гемоглобина для более точной оценки функционального состояния печени в перфузационной системе.

Таблица 2. Иллюстраций 3. Библиогр. 1 назв.

МЕТАБОЛИЗМ РАДИОИЗОТОПОВ В ЖИВОТНОМ ОРГАНИЗМЕ

Труды Института экологии
растений и животных
УНЦ АН СССР, вып. 89

Печатается по постановлению
Редакционно-издательского совета
Уральского научного центра АН СССР

Редактор К. Н. Ушакова
Техн. редактор Н. Р. Рабинович
Корректор М. И. Зубринская

РИСО УНЦ № 601-23(74). ИС 15129
Сдано в набор 3/VIII 1973 г. Подписано к
печати 23/VI 1974 г. Формат 70×108/16.
Печ. л. 7. Уч.-изд. л. 81. Бумага «Типо-
графская № 3». Тираж 700. Заказ 337.
Цена 81 к.

РИСО УНЦ АН СССР Свердловск, К-40,
Первомайская, 91
Типография изд-ва «Уральский рабочий»,
г. Свердловск, пр. Ленина, 49.

81 к.

АКАДЕМИЯ НАУК СССР
УРАЛЬСКИЙ НАУЧНЫЙ ЦЕНТР